

# 炉心動特性解析コード

「EUREKA-FBR」マニュアル



1989年2月

動力炉・核燃料開発事業団  
大洗工学センター

本資料の全部または一部を複写・複製・転載する場合は、下記にお問い合わせください。

〒319-1184 茨城県那珂郡東海村大字村松4番地49  
核燃料サイクル開発機構  
技術展開部 技術協力課

Inquiries about copyright and reproduction should be addressed to:

Technical Cooperation Section,  
Technology Management Division,  
Japan Nuclear Cycle Development Institute  
4-49 Muramatsu, Tokai-mura, Naka-gun, Ibaraki, 319-1184  
Japan

© 核燃料サイクル開発機構 (Japan Nuclear Cycle Development Institute)



配 布 限 定  
PNC-T8N9520 89-003  
1989年 2月

## 炉心動特性解析コード 『EUREKA-FBR』マニュアル

原 昭浩\*，鈴木 憲十\*\*，池上 哲雄\*\*，  
小坂 一郎\*，中西 征二\*，谷山 洋\*，

### 要 旨

FBR 大型炉では、制御棒誤引き抜きのような局所的な反応度投入に対して出力分布及び中性子束分布の歪みが大きくなる傾向にある。従って、制御棒誤引き抜き事象の動特性解析を行う場合、出力の歪みに対応した動特性解析を実施しなくてはならない。そこで、同様な目的で軽水炉用に開発された多チャンネル一点炉動特性解析コードEUREKA（公開コード、原研作成）に対し、高速炉用の改良を施し、EUREKA - FBRコードを作成した。

\* 大洗工学センター、技術開発部、プラント工学室

\*\* (現) 日本原子力発電、高速炉開発部

## 目 次

1. EUREKA - FBRコードの概要 .....	1
2. 計算モデル .....	3
2.1 炉心モデル .....	3
2.2 燃料セルモデル .....	4
3. 物理モデル .....	7
3.1 動特性方程式 .....	7
3.2 反応度フィードバック計算 .....	8
3.3 燃料要素内温度分布計算 .....	9
3.4 冷却材温度計算 .....	10
3.5 主要物性値計算 .....	11
4. プログラム構成 .....	15
5. 入力マニュアル .....	17
6. 検証計算 .....	34
文 献 .....	91
謝 辞 .....	92
付録1. 入力データサンプル .....	93
付録2. 出力結果サンプル .....	101
付録3. EUREKAマニュアルよりの抜粋 .....	113
付録4. EUREKA - FBRプログラムツリー .....	123
付録5. EUREKA - FBRコードのサブルーチンの機能説明 .....	125

## 1. EUREKA - FBR コードの概要

EUREKA - FBRコードは、高速増殖炉の急激な反応度投入に伴う運転時の異常な過渡変化を解析するために開発された3次元空間動特性解析コードである。

本コードは日本原子力研究所で軽水炉用に開発された一点炉動特性解析コードEUREKA<sup>(1)</sup>に対し、高速増殖炉用の改良を施し、また出力分布の時間による変化の扱いを可能にしたものである。また、空間分布の扱いについては同じく日本原子力研究所で開発された空間炉動特性解析コードEUREKA - SPACE<sup>(2)</sup>を参考にした。空間的な扱いとしては、任意の時間で熱水力計算に対し出力分布の変更を指示することができる点にある。炉心の反応度に対するフィードバック効果としては、EUREKAコードではドップラー効果の他に、冷却材温度効果、ボイド効果、燃料膨張効果によるものが考慮されているが、本コードでは高速増殖炉用に扱う反応度の種類やその算出式に変更を加えた。

本コードのEUREKAに対する主な改良点は、下記のとおりである。

- 1) 扱うフィードバック反応度の変更
  - ドップラー反応度
  - 燃料の膨張による反応度
  - 被覆管の膨張による反応度
  - 冷却材温度反応度
  - ラッパー管の膨張による反応度
- 2) フィードバック反応度算出式の変更
- 3) 炉心内出力分布の炉心拡散計算結果よりのファイル入力
- 4) 热水力計算における炉心内径方向領域（チャンネル）の拡大（最大20）
- 5) スクラム信号の判定追加
- 6) 物性値の入力形式の変更・計算式の追加
- 7) 燃料タイプ指定の追加
- 8) 燃料密度計算式の追加
- 9) 燃料ペレットの中心空孔の考慮
- 10) 出力形式の変更
- 11) 時系列データのプロットファイルへの書き出し
- 12) 軸方向異種燃料の扱いを考慮

なお本コードでは、炉心内ナトリウムの圧損は考慮せず冷却材圧力は一定、ナトリウムのボイド発生は考えない、チャンネル間の流量配分は時間で変化しない、などの仮定をしている。

これらの改良により、EUREKA-FBRコードでは高速増殖炉を対象とし、炉心内径方向20種類の領域（チャンネル）、軸方向20領域（ノード）に任意に分割し、また燃料要素内は半径方向に25領域に分割して、燃料温度計算、冷却材温度計算などが可能になった。また、時間的空間的な出力分布の変化も、予め必要計算点で炉心計算を実施することにより、直線内挿により任意の時間での出力分布を熱水力計算に与えることができる。また、熱水力計算で求められた温度条件より高速増殖炉特有のフィードバック反応度計算を行い、動特性計算へ反映させる。これらの各計算相互の関係の概要を図1.1に示す。

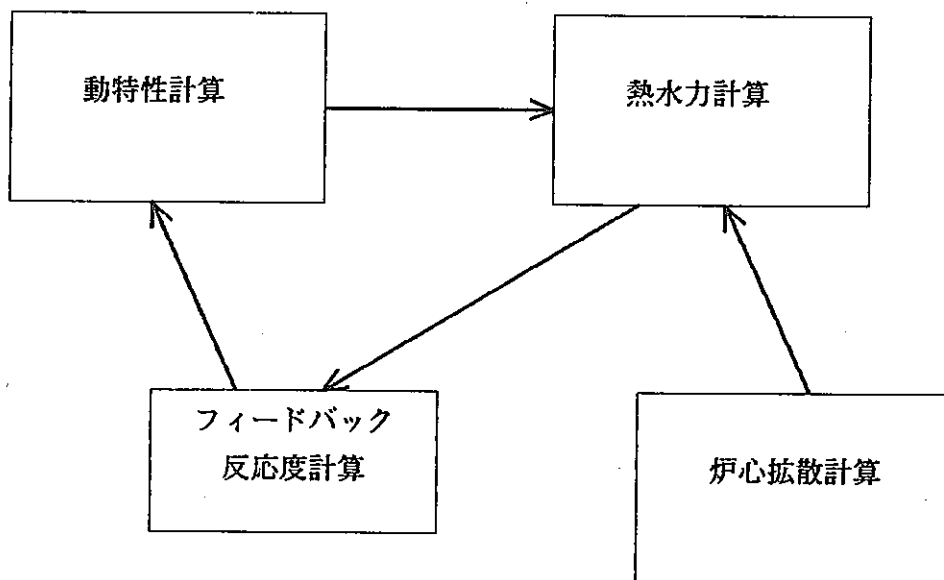


図1.1 EUREKA-FBRの構成

## 2. 計算モデル

EUREKA-FBRコードで扱っている径方向分割（チャンネルと呼ぶ）、軸方向分割（ノードと呼ぶ）及び燃料セル内の径方向分割モデルについて以下に示す。また、拡散計算より出力分布を入力することもできるが、拡散計算メッシュとチャンネル分割・ノード分割との対応関係についても述べる。

### 2.1 炉心内分割モデル

炉心内は径方向に内側炉心・外側炉心・径方向ブランケット・着目集合体グループ（誤引き抜き制御棒周りの集合体）などのチャンネルに分割できる。プログラムでは、最大21チャンネルまで可能となっている。また、軸方向には炉心部を数分割・上下ブランケット部を数分割し最大20ノードまで設定できる。

炉心拡散計算より出力分布を入力する場合、径方向には拡散計算体系（計算で扱う全メッシュ数）に対応したチャンネル指定をする必要がある。軸方向についても、拡散計算メッシュに対応してノード指定を行う。軸方向ノード境界は拡散計算のメッシュの整数個の境界と一致しなければならない。径方向・軸方向とも熱発生する領域のみを対象とし、原則として遮蔽体・制御棒集合体・Naフォロワーなどの非発熱領域（ $\gamma$ 発熱・中性子の減速による発熱を考えない場合）はチャンネル指定は行わない。つまり、チャンネル番号・ノード番号を“0”とする必要がある。拡散計算での計算体系は、六角-Zモデルに限定している。なお、ノードの高さ・集合体のピッチは拡散計算結果のファイルより入力するため、新たな入力は不要である。

また、出力分布をカード入力する場合、径方向チャンネル指定は拡散計算より入力する場合とほぼ同様に炉心マップを与える。軸方向には下部より順番号を与え、ノードの大きさはノード境界の高さにより設定する。

この、チャンネル分割・ノード分割の様子を図2.1に示す。

## 2. 2 燃料セル内分割モデル

燃料セルの形状は図2. 2に示すように円筒形状であり、これを半径方向に最大25分割することができる。その構成は中心より空孔・燃料ペレット・被覆管・冷却材の4種類より成る。空孔の大きさは燃料と被覆管の間のギャップが潰れ、中心に集まるという仮定のもとに、体積を保存するように算出した。つまり、燃料ペレットの外径を $r_t$ 、被覆管の内径を $r_c$ とすると空孔の半径 $r_v$ は下式で求まる。

$$r_v = \sqrt{(r_c^2 - r_t^2)}$$

また、燃料物質の温度による結晶質変化に対応するため、同一燃料の物性値をペレット内で最大5種類まで変更可能となっている。

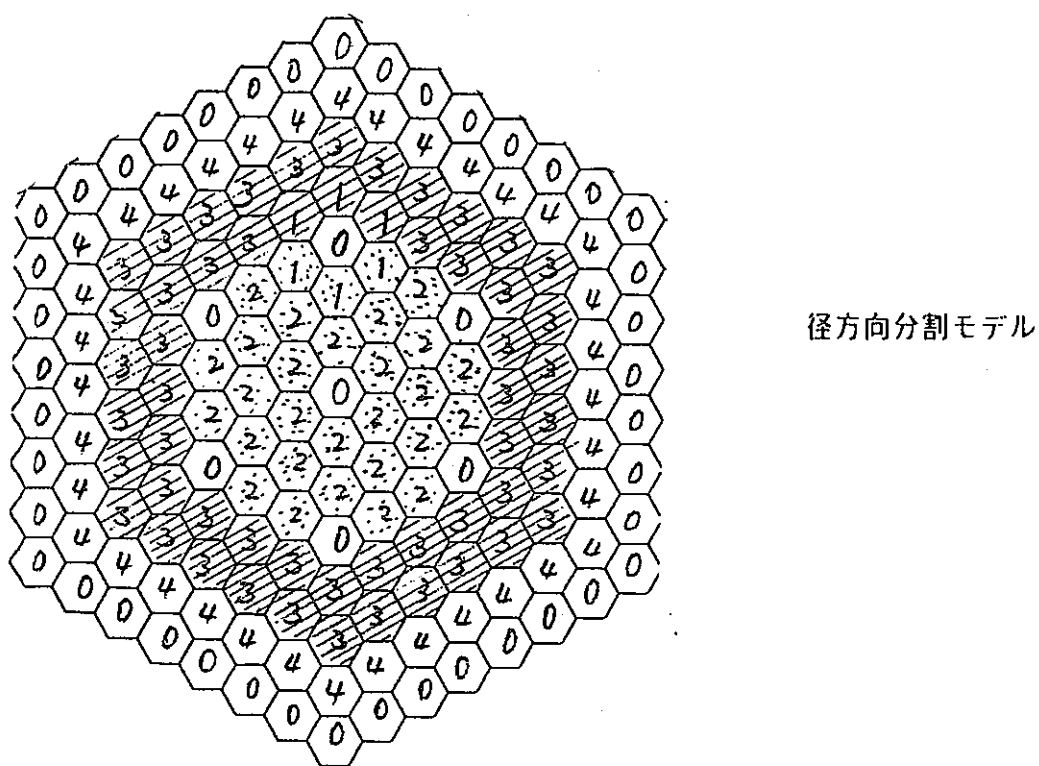
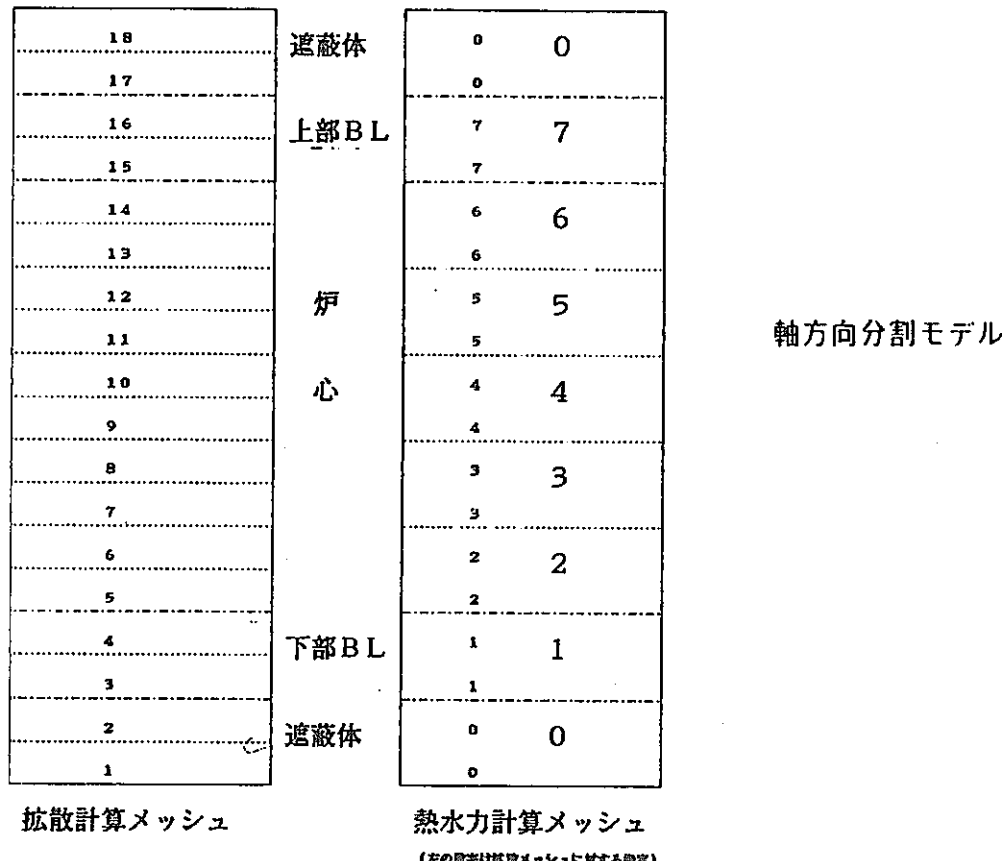


図2.1 炉心分割モデル

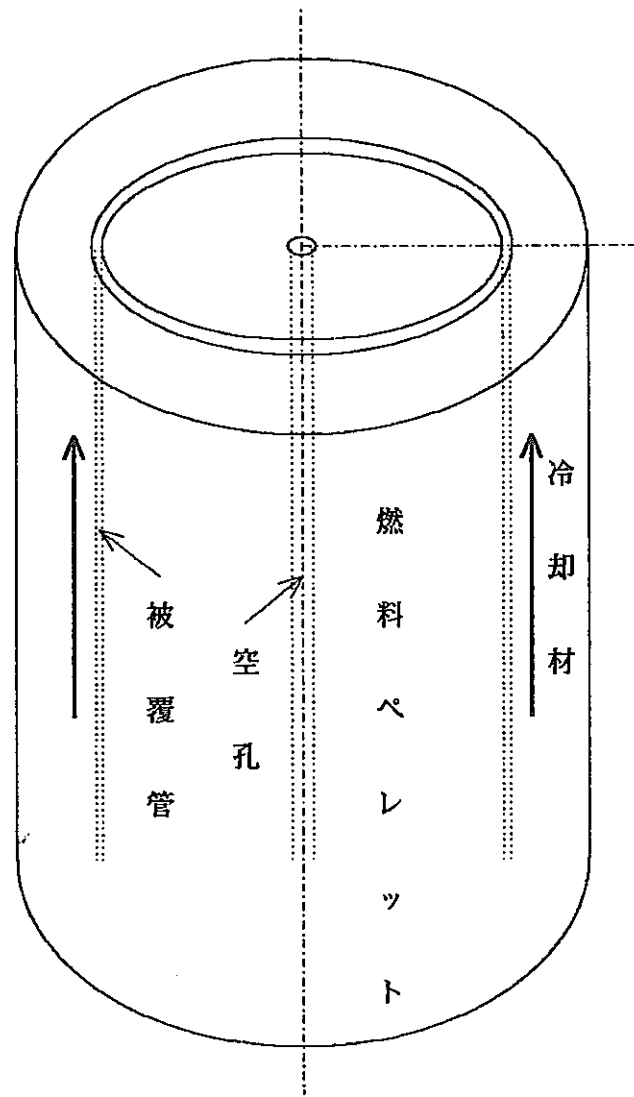


図2.2 燃料セルモデル

### 3. 物理モデル

EUREKA-FBRコード内で使用している基礎式について、下記5項目について説明する。

- ・動特性方程式
- ・反応度フィードバック計算
- ・燃料温度分布計算
- ・冷却材温度計算
- ・物性値計算式
- ・ギャップコンダクタンス

ただし、EUREKAコードと異なる点を中心にし、EUREKAコードと同様の式に關しては、その詳細や解法については文献(1)(2)に譲るとして、ここでは概略を記述する。なお、動特性方程式・燃料温度計算については付録に文献(1)の抜粋を添付している。

#### 3.1 動特性方程式

核的な動特性は次式に示す一点動特性方程式を、Cohenの数値計算法に基づいて解いている。

$$\frac{dN(t)}{dt} = \frac{\rho(t) - \beta}{\tau} N(t) + \sum \lambda_i C_i(t) + S_0$$

$$\frac{dC_i(t)}{dt} = -\frac{\beta_i}{\tau} N(t) - \lambda_i C_i(t) \quad , i=1, \dots, 6$$

$$\frac{dE(t)}{dt} = N(t)$$

$t$  : 時刻(sec)

$N(t)$  : 中性子密度( $n/cm^3$ )

$C_i(t)$  : 第*i*組の遅発中性子先行核密度( $n/cm^3$ )

$\rho(t)$  : 反応度( $\Delta k/k$ )

$\beta$  : 遅発中性子割合(-)

$\beta_i$  : 第*i*組の遅発中性子割合(-)

$\tau$  : 中性子寿命(sec)

$\lambda_i$  : 第*i*組の遅発中性子先行核の崩壊定数( $sec^{-1}$ )

$S_0$  : 中性子源密度( $n/sec.cm^3$ )

$E(t)$  :  $\int N(t) dt$

### 3. 2 反応度フィードバック計算

EUREKA-FBRコードでは炉心の熱水力特性に基づくフィードバック反応度としては、

- ・ドップラー反応度
- ・燃料の膨脹による反応度
- ・被覆管の膨脹による反応度
- ・冷却材温度反応度
- ・ラッパー管の膨脹による反応度

の5種類を考慮している。これらの反応度は、対象物質の温度変化と反応度係数の積を炉心全体で積分することにより得られる。

この反応度係数は炉心内各領域（内側炉心、外側炉心、径方向ブランケット、炉心部軸方向ブランケット、径方向ブランケット部軸方向ブランケット）毎の、炉心全体に及ぼす反応度として与えられている。この領域をフィードバック反応度領域とする（表6.3参照）。

このため、各計算メッシュ毎に算出された各フィードバック反応度とフィードバック反応度領域ごと1.0に規格化された体積比（表6.6参照）との積を炉心全体に合計して、炉心へ及ぼす反応度とする。つまり、各計算メッシュでのドップラー反応度を $\rho_{D,j,k}$ 、その他の反応度を $\rho_{X,j,k}$ とすると、 $\rho_{D,j,k} + \rho_{X,j,k}$ は

$$\rho_{D,j,k} = K_{D,n} \cdot \ln(T_{F,j,k} / T_{Fo,j,k})$$

$$\rho_{X,j,k} = K_{X,n} \cdot (T_{X,j,k} - T_{Xo,j,k})$$

$K_{D,n}$  : フィードバック反応度領域nでのドップラー反応度係数( $\Delta k/k$ )

$K_{X,n}$  : フィードバック反応度領域nでのその他の反応度係数( $\Delta k/k/\tau$ )

$T_{F,j,k}$  : 計算メッシュj, kでの燃料温度(°K)

$T_{X,j,k}$  : 計算メッシュj, kでのその他材質の温度(°C)

$T_{Fo,j,k}$  : 計算メッシュj, kでの初期燃料温度(°K)

$T_{Xo,j,k}$  : 計算メッシュj, kでのその他材質の初期温度(°C)

で求められる。

炉心全体のドップラー反応度を  $\rho_D$  、その他の反応度を  $\rho_X$  とすると、 $\rho_D + \rho_X$  は以下の式で算出される。

$$\rho_D = \sum \rho_{D,j,k} \cdot VR_{n,j,k}$$

$$\rho_X = \sum \rho_{X,j,k} \cdot VR_{n,j,k}$$

$VR_{n,j,k}$  : フィードバック反応度領域  $n$  での体積比 (-)

(領域  $n$  の体積 1.0 に規格化)

この結果より、炉心全体の反応度  $\rho$  は次式で得られる。

$$\rho = \rho_D + \sum \rho_X$$

### 3. 3 燃料要素内温度分布計算

燃料体において、半径方向の長さに比較して、軸方向の長さが非常に長いものであると仮定した場合、軸方向の熱伝導は無視してよい。さらに、熱伝導が半径方向にのみ生じ、熱源が角度に依存しないと仮定し、次の熱伝導方程式を用いて燃料要素内温度分布の計算を行う。

$$\rho C_p \frac{\partial T}{\partial t} = \frac{1}{r} \frac{\partial}{\partial r} (K r \frac{\partial T}{\partial r}) + q(r, z, t)$$

T : 温度(℃)

q : 発熱密度( W/cm³ )

K : 热伝導係数( W/cm°C )

r : 半径方向位置(cm)

$\rho C_p$  : 体積熱容量( cal/cm³ °C )

## 3. 4 冷却材温度計算

冷却材温度計算は、

$$A C_p \rho \left( -\frac{\partial T}{\partial t} + u \frac{\partial T}{\partial z} \right) = Q$$

- $\rho$  : 冷却材密度 (g/cm<sup>3</sup>)
- T : 冷却材温度 (°C)
- A : チャンネル流路断面積 (cm<sup>2</sup>)
- u : 冷却材流速 (cm/sec)
- z : チャンネル軸方向高さ (cm)
- Q : 発熱量 (W)
- t : 時刻 (sec)
- C<sub>p</sub> : 冷却材比熱 (cal/g°C)

の微分方程式で冷却材温度を算出する。 実際には、プログラム内で下式に示す差分式で解いている。

$$\begin{aligned} T_{j+1} \left( \underbrace{t_0}_{+\Delta t} \right) &= T_{j+1} (t_0) + \frac{\rho_{j+1} u_{j+1} \Delta t (T_j (t_0) - T_{j+1} (t_0))}{\rho_{j+1} \Delta z \cdot C_p} \\ &+ \frac{Q \cdot \Delta t}{\rho_{j+1} \Delta z \cdot A \cdot C_p} \end{aligned}$$

### 3. 5 物性値計算式

EUREKA-FBRコードでは物性値は入力データやプログラム内蔵データよりプログラム内で自動的に計算される。計算される物性値は、理論密度、比熱、熱伝導度、被覆管-冷却材熱伝達係数である。以下で、これらの物性値の計算式と内蔵データについて説明する。

#### 3. 5. 1 理論密度

##### ・燃料

$$\rho = aY + b - c(d - X)$$

X : O/M比

Y : PuO<sub>2</sub> 富化度 PuO<sub>2</sub> / (Pu, U)O<sub>2</sub>

a = 0.48 for (Pu, U)O<sub>2</sub>, 0.0 for UO<sub>2</sub>

b = 10.96, 10.96

c = 2.5, 0.0

d = 2.00, 0.0

##### ・被覆管

$$\rho = a + bT$$

T : 温度 (°C)

a = 7.977

b = -3.547 × 10<sup>-4</sup>

##### ・ナトリウム

$$\rho = a + bT + cT^2 + dT^3$$

T : 温度 (°C)

a = 0.9501

b = -2.2976 × 10<sup>-4</sup>

c = -1.460 × 10<sup>-8</sup>

d = 5.638 × 10<sup>-12</sup>

### 3. 5. 2 比熱

・燃料

$$C_p = a + bT + cT^2 + dT^3$$

T : 温度 (°C)

$$a = 12.54 \text{ for } (\text{Pu, U})\text{O}_2, 16.31 \text{ for UO}_2$$

$$b = 1.70 \times 10^{-2}, 9.35 \times 10^{-3}$$

$$c = -1.17 \times 10^{-5}, 7.947 \times 10^{-6}$$

$$d = 3.07 \times 10^{-9}, 3.063 \times 10^{-9}$$

・被覆管

$$C_p = a + bT + cT^2 + dT^3$$

T : 温度 (°C)

$$a = 0.1044$$

$$b = 0.1586 \times 10^{-4}$$

$$c = -2.967 \times 10^{-7}$$

$$d = 2.123 \times 10^{-10}$$

・ナトリウム

$$C_p = a + bT + cT^2$$

T : 温度 (°C)

$$a = 0.34324$$

$$b = -1.3868 \times 10^{-4}$$

$$c = 1.1044 \times 10^{-7}$$

## 3. 5. 3 热伝導度

## ・燃料

$$K = a + \frac{b}{(c + \frac{d(1-\rho)}{O/M - 1.9}) \cdot T + e} + f T^3$$

 $\rho$  : 対理論密度比

O/M : O/M 比

T : 温度 (°C)、但し、UO<sub>2</sub>燃料の場合は (°K)

$$a = 0.01169 \text{ for } (\text{Pu, U})\text{O}_2, 0.0 \text{ for UO}_2$$

$$b = 1.0, 38.24$$

$$c = 0.06717, 1.0$$

$$d = 0.02226, 0.0$$

$$e = 0.0, 129.4$$

$$f = 7.214 \times 10^{-13}, 6.13 \times 10^{-13}$$

## ・被覆管

$$K = a + b T$$

T : 温度 (°C)

$$a = 3.15348 \times 10^{-2}$$

$$b = 3.10570 \times 10^{-5}$$

## ・ナトリウム

$$K = a + b T + c T^2$$

T : 温度 (°C)

$$a = 0.1044$$

$$b = 0.1586 \times 10^{-4}$$

$$c = -2.967 \times 10^{-7}$$

### 3. 5. 4 被覆管-冷却材間熱伝達係数

$$H = \frac{K_m}{D} \{ a + b \cdot (c \cdot Pe)^d \}$$

$$Pe = DV\rho_m C_{pm}/K_m$$

H : 被覆管-冷却材間熱伝達係数(cal/sec·cm<sup>-2</sup> °C)

Pe : ペクレル数

D : 等価水力直径 (cm)

V : 冷却材流速 (cm/sec)

$\rho_m$  : 冷却材密度 (g/cm<sup>3</sup>)

$C_{pm}$  : 冷却材比熱 (cal/g· °C)

K<sub>m</sub> : 冷却材熱伝導率 (cal/sec·cm - °C)

$$a = 7.0$$

$$b = 0.025$$

$$c = 0.5$$

$$d = 0.8$$

### 3. 5. 5 ギャップコンダクタンス

ペレットと被覆管の間のギャップコンダクタンスは下記の値を使用している。

$$1000 \text{ Btu/ft}^2 \cdot h \cdot ^\circ F$$

ただし、プログラム内では単位変換して、

$$0.1356 \text{ cal/sec} \cdot \text{cm}^2 \cdot ^\circ C$$

としている。

#### 4. プログラム構成

本プログラムはこれまで述べてきたように、下記の6つの主要な部分から成る。

- ・物性値計算を含む入力データのセット
- ・炉心拡散計算結果よりの出力分布編集
- ・動特性計算
- ・反応度フィードバック計算
- ・燃料要素内温度分布計算
- ・冷却材温度計算

この計算の流れを説明する。

まず、投入反応度、初期出力、燃料セル幾何学的形状、炉心内チャンネル・ノード分割データ、燃料タイプ設定データ、物性値計算用係数、冷却材流量データ、計算時間指定データ、出力分布のファイルまたはカード入力、スクラム信号用データ、アウトプット制御データなどを読み込み、物性値計算・出力分布割り付けを行う。

つぎに、時刻0の出力分布より定常計算を実施し、初期の冷却材温度・燃料温度などを求める。

それから、動特性計算により微少時間ステップ間隔で炉心絶対出力を計算する。この出力と、入力で与えた出力分布より、計算メッシュ毎に温度計算を行う。この動特性計算と熱計算を、繰り返していく。通常、熱計算の時間ステップは動特性の時間ステップより大きめにとり、動特性のステップの整数倍とする。これらの時間ステップは全計算時間帯のなかで任意に設定できる。

この繰り返し計算の間、熱計算の入力となる出力分布は指定時間で変更可能であり、入力した出力分布の時間に対し、直線内挿で求めた分布をチャンネル・ノード分割された計算メッシュに割り付ける。

このように、計算時間を進めていき、スクラム信号がかかった時点でスクラム反応度を投入する。

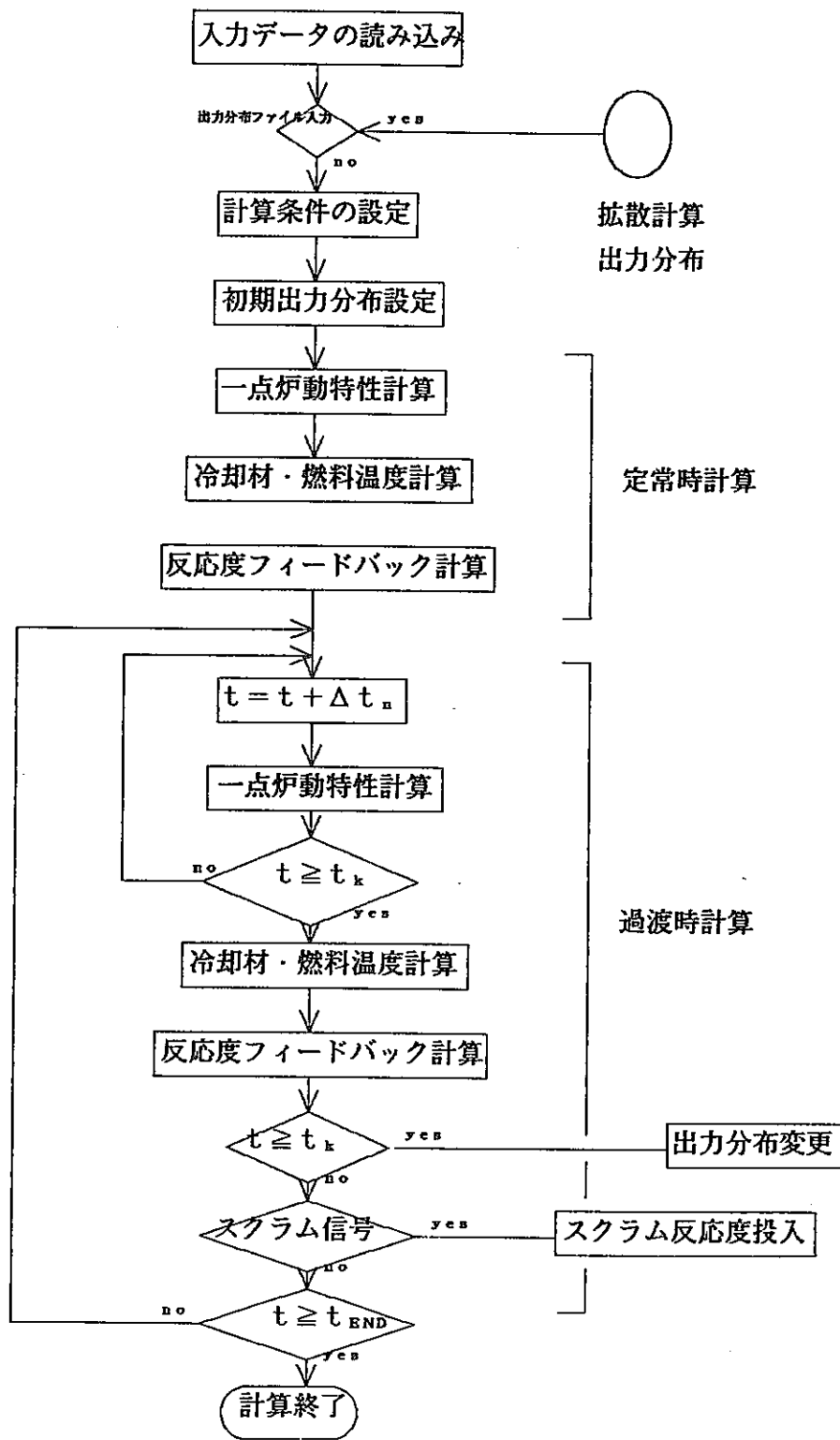


図4.1 EUREKA-FBR計算流れ図

## 5 入力マニュアル

EUREKA-FBRコードの入力は主に、初期条件、投入反応度データ、チャンネル指定データ、燃料セル幾何形状データ、フィードバック計算用データ、物性値計算データ、計算時間指定データ、出力分布読み込みデータ、スクラム信号データ、アウトプット制御データ、からなる。

入力方法は、表5.1に示すキーワード指定によるフリーフォーマット入力である。データの区切りは空白カラム、「、」、「（」、「）」で分けられる。燃料タイプの指定で正時は燃料を意味するが、0は被覆管、-1は冷却材を意味するなど、データの意味が異なる場合があるので、注意を要する。詳細は後で説明している。

また、物性値など一部のデータについてはプログラム内に内蔵されているので、入力不要となっている。

出力分布をファイル入力する場合、もちろん出力分布の入力は不要であるが、軸方向ノード分割、領域ごと体積比の入力も不要となっている。径方向・軸方向のチャンネル指定・ノード指定のデータは拡散計算メッシュ全部をカバーするように入力する。

表5. 1 EUREKA-FBRコード入力キーワード一覧

INITIAL	炉心の初期条件
REACTIVI	時間依存の印加反応度入力
SCRAMREA	スクラム反応度の読み込み
SCRAMSIG	スクラム信号を送る条件指定
CONVERGE	計算の収束条件設定
TGEOM	熱水力計算チャンネル数の指定
TREGION	チャンネル番号・ノード番号ごとの燃料タイプの指定
HOTSPOT	ホットスポット計算の指定
CHCORRES	核熱計算(平面)メッシュ対応指定
AXCORRES	核熱計算(軸方向)メッシュ対応指定
VOLUME	体積比読み込み
FLOW	冷却材全流量
FLOWRATI	冷却材流量のチャンネル比
CGEOM	燃料セルの幾何学的寸法
CELLMESH	燃料セル内メッシュ点半径の任意指定
CREGION	燃料セル内の各半径方向メッシュ間領域の材質指定
NODELENG	軸方向ノード位置
FUELTYPE	燃料タイプの情報
DENSITY	密度算出式の係数
CAPACITY	比熱算出式の係数
CONDUCT	熱伝導度算出式の係数
TRANSFER	被覆管-冷却材間熱伝達係数計算式指定
FEEDBACK	フィードバック反応度計算用データ
KINETICS	動特性パラメータ
TIME	計算時間及び出力分布読み込み(変更)指定
POWER	出力分布読み込み
PRINT	プリント制御用データ
PLOT	プロット制御用データ
ENDDATA	パラメータ入力終了告知カード

I N I T I A L 炉心の初期条件

T O T P W : 炉出力 (MW) (初期状態でのみ有効)

G T O T : 冷却材全流量 (kg/sec) (初期状態でのみ有効)

T I N : 冷却材温度 (°C) (初期状態でのみ有効)

I F D B : ドップラー反応度算出オプション

0 燃料平均温度を使用して算出する。

1 燃料表面温度を使用して算出する。

R E A C T I V I 時間依存の印加反応度入力値

T S R (2~K D O P + 1) : 時刻 (sec)

R E D (2~K D O P + 1) : 印加反応度 ( $\Delta k/k$ )

外乱として炉心に印加される反応度を T S R , R E D の順に K D O P 組入力する。時刻 0 における印加反応度は、コード内で自動的に 0 (臨界状態) とおかれるので入力する必要はない。また、入力した組数が自動的に K D O P になるので、これも入力不要である。任意の時刻における印加反応度は、その時刻に前後する 2 つの与えられた時刻における値を、コード内で線形内挿して計算に用いる。

S C R A M R E A 時間依存形のスクラム反応度読み込み

(K S C R A M) : 時間依存のスクラム反応度入力数 (0 ≤ KSCRAM ≤ 20)

T S C R A M (1~K S C R A M) : スクラム開始後時刻 (sec)

S C R A M (1~K S C R A M) : スクラム反応度の絶対値 ( $\Delta k/k$ )

スクラム反応度は、20 点以内の時刻における値として入力することができ、スクラム開始後の任意の時刻における投入反応度は、その時刻に前後する 2 つの与えられた時刻における値を線形内挿して定め

る。入力は、開始後時刻・反応度絶対値の順で1組ずつK SCRAM組分あたえる。K SCRAMは、コード内で自動的にカウントされるので入力不要。

**S C R A M S I G** スクラム信号を送る条件指定

- T R I P : スクラム遅れ時間 ( sec )  
P O W R U : 定格炉出力に対する比上限 ( - )  
F L O W L : 冷却材全流量下限 ( kg / sec )  
T M O D U : 冷却材出口温度上限 ( °C )  
H F L X U : 線出力密度上限 ( kW/cm )  
F L U X U : ダミー<sup>ダミー</sup>  
R E A C U : 投入反応度高上限 ( Δ K / K )  
T I M S M : 計算時間上限 ( sec )

遅れ時間以外の上記の条件が限界を越えるとスクラム信号が出される。スクラム条件から外す場合は、その条件の限界値に0.0をあたえる。

**C O N V E R G E** 計算の収束条件設定

- E P I 1 : 反応度フィードバック量の予想値と実際の計算値との差に関する許容誤差。時刻  $t_k$  における熱・水力計算の結果得られた反応度フィードバック量  $\rho_{FB}$  の値と、1ステップ前の時刻  $t_{k-1}$  までに得られたフィードバック量から外挿した時刻  $t_k$  におけるフィードバック量の予想値  $\rho_{FBG}$  を比較し、

$$|\rho_{FB} - \rho_{FBG}| \leq E P I 1 (\$)$$

であれば、フィードバック量の予想は良好であったと見なして、次の熱・水力計算時間ステップまでの間の1点炉動特性計算を続行する。上の条件が満足されない場合には、時刻  $t_k$  に対するフィードバック量を修正し、1ステップ前の時刻から再計算する。

T G E O M 热・水力計算領域数の指定

I M A X : 燃料セル内半径方向メッシュ点数 ( $5 \leq I M A X \leq 26$ )

J M A X : 燃料要素の軸方向ノード数 ( $2 \leq J M A X \leq 21$ )

K M A X : チャンネル数 ( $1 \leq K M A X \leq 20$ )

M E S H : 燃料セル内半径方向メッシュ点指定

燃料セル内の各メッシュ点の半径をコード内で計算する場合には、この値を0とする。この場合には、各物質領域毎に等間隔の半径でメッシュ点を算出する。また、各メッシュ点の半径を任意に与えるには、この値を $> 0$ とする。

T R E G I O N チャンネル番号・ノード番号ごとの燃料タイプ指定

K : チャンネル番号

N F U E L (1 ~ J M A X, K) : 燃料タイプ番号

チャンネル単位で燃料タイプを、ノード番号の小さい方から順に与える。チャンネルの数だけ必要である。各燃料タイプのプロフィールは、後述の数種類のカードで記述する。

HOTSPOT ホット・スポット計算の指定

PWHS : ホット・スポットの最大線出力

KHS : ホット・スポット計算を行うチャンネルNo.

FLRHS : ホット・スポットの流量分配比

C H C O R R E S      核・熱計算（平面）メッシュ対応指定

I X : 核計算平面メッシュ ( i , j ) の x 方向インデックス

J Y : 核計算平面メッシュ ( i , j ) の y 方向インデックス

M X Y ( I X , J Y ~ J Y + ... ) : 核計算平面メッシュ対応熱計算チャンネル番号。核計算平面メッシュ ( i , j ) において i , j は各々 x , y 方向のインデックスであり、遮蔽体も含んだ番号である。（遮蔽体領域には、0 をセットする。）メッシュに対応する熱計算チャンネル番号を ( I X , J Y ) から始めて i = I X の列を連続して個数分入力する。（最大は x 方向、y 方向とも 40 である。）

A X C O R R E S      核・熱計算（軸方向）メッシュ対応指定（拡散計算ファイルから出力分布を入力するときのみ必要）

K Z : 核計算軸方向メッシュ ( k ) の軸方向インデックス

M Z ( K Z ~ K Z + ... ) : 核計算軸方向メッシュ対応熱計算軸方向ノード番号。核計算軸方向メッシュ ( k ) において k は軸方向のインデックスであり、遮蔽体も含んだ番号である。（遮蔽体領域には0をセットする。）メッシュに対応する軸方向ノード番号を K Z から初めて連続して個数分入力する。（メッシュの最大は 50 までなので、これを越えて入力してはならない。）

V O L U M E      体積比読込

K O : 体積比読込チャンネル番号

D V B V X ( 1 ~ J M A X , K O ) : 体積比 ( - ) 。各チャンネルごとに軸方向ノードの数だけ与える。各フィードバック反応度領域ごとに合計が 1.0 になるように正規化して与える。入力されない場合は、燃料タイプと

フィードバック反応度領域は同一として計算する。  
出力分布がファイル入力のときは自動的に計算し、  
このカードは不要である。

**FLOW** 時間依存の冷却材全流量

(KFLOW) : 時間依存の冷却材全流量入力数 ( $0 \leq KFLOW \leq 20$ )

TFLOW (1~KFLOW) : 冷却材全流量指定時刻 (sec)

RFLOW (1~KFLOW) : 指定時刻の冷却材全流量 (kg/sec)

時刻・流量の順で KFLOW 組を与える。 KFLOW  
はコード内で自動的にカウントするので入力不要。

任意の時刻における冷却材全流量は、その時刻に前  
後する 2 つの与えられた時刻における値を線形内挿  
して定める。入力が無い場合は初期流量で一定とみ  
なされる。

**FLOWRATI** 冷却材流量のチャンネル比

FLOWR (1~KMAX) : 冷却材全流量に対する各チャンネル流量  
の割合 (チャンネルの合計が 1.0 になる)

**CGEOM** 燃料セルの幾何学的寸法

RCELL : 燃料セルの等価半径 (cm)

SRA : 燃料ペレットの半径 (cm)

SRB : 被覆管内面の半径 (cm)

SRC - SRB : 被覆管の厚さ (cm)

**CELLMESH** セル内メッシュ点半径の任意指定

KO : チャンネル番号

SR (1~IMAX, KO) : セル内メッシュ半径 (cm)

前述の TGEOM カードの MESH に  $> 0$  の値を入  
れた場合のみ、ここでセル内の各メッシュ点の半径  
(cm) を、内側から順に IMAX まで与える。一番

内側のメッシュ点の半径は0.0 (cm) とし、一番外側の半径はR C E L L (cm) とする。冷却材領域中のメッシュ点は半径R C E L L (cm) の1点のみとし、また、ギャップ領域の中にはメッシュ点を設けることはできない。

C R E G I O N 燃料セル内の各半径方向メッシュ間領域の材質指定

N P L E T (1～I M A X - 1) : 領域の材質指定

T G E O M カードで与えたM E S H の値が0の場合には、燃料セル内の半径方向メッシュ間の領域の材質を、中心側から順にI M A X - 1個まで与える。材質は、0が空穴、1～5が燃料、6が被覆管、7が冷却材である。

N O D E L E N G 軸方向ノード位置（出力分布をカードより入力時のみ必要）

H Z (1～J M A X) : 軸方向ノード点の高さ (cm)

軸方向ノード点の高さ (cm) を下から順にJ M A X 個まで与える。熱・水力計算用軸方向ノードの下限の点は、必ずしも中性子拡散計算用格子空間の下限の点と一致するとは限らない（すなわち、拡散計算に用いられる下部遮蔽体等の非発熱領域は、熱・水力計算用ノード領域から除外するのが計算上有利である）。この場合であっても、第1ノードの高さは必ず0.0 (cm) と入力する。

FUEL TYPE 燃料タイプの情報

K 0 : 燃料タイプ指定  
T F U E L ( 1 ) : P u ( f ) 比  
T F U E L ( 2 ) : O / M 比  
T F U E L ( 3 ) : 理論密度比  
T F U E L ( 4 ) : 集合体中のピン本数(本)

DENSITY 密度算出式の係数

K 0 : 燃料タイプ指定  
但し、K 0 = 0 のときは被覆管を意味し、  
K 0 = - 1 のときは冷却材を意味する。

① K 0 > 0 のとき

係数 R H O F U ( 1 ~ 4 ) 入力

② K 0 = 0 のとき

係数 R H O C D ( 1 ~ 2 ) 入力

③ K 0 = - 0 のとき

係数 R H O M ( 1 ~ 4 ) 入力

CAPACITY 比熱算出式の係数

K 0 : 燃料タイプ指定  
但し、K 0 = 0 のときは被覆管を意味し、  
K 0 = - 1 のときは冷却材を意味する。

① K 0 > 0 のとき

係数 C P T F U ( 1 ~ 4 ) 入力

② K 0 = 0 のとき

係数 C P T C D ( 1 ~ 4 ) 入力

③ K 0 = - 0 のとき

係数 C P T M D ( 1 ~ 3 ) 入力

C O N D U C T      热伝導度算出式の係数

K 0                  : 燃料タイプ指定

但し、K 0 = 0 のときは被覆管を意味し、

K 0 = -1 のときは冷却材を意味する。

① K 0 > 0 のとき

係数 C N D F U ( 1 ~ 7 ) 入力

C N D F U ( 7 ) = 0 のときは温度°Cに対するフィティング式の係数

C N D F U ( 7 ) = 1 のときは温度°Cに対するフィティング式の係数

② K 0 = 0 のとき

係数 C N D C D ( 1 ~ 4 ) 入力

③ K 0 = -1 のとき

係数 C N D M D ( 1 ~ 4 ) 入力

T R A N S F E R      被覆管 - 冷却材間熱伝達係数計算式指定

T R N M D ( 1 ~ 4 ) : 热伝達係数計算式の定数（下記のC1~C4に相当）

被覆管 - 冷却材間の熱伝達係数は、次の計算式

$$H = K_m / D * \{ C1 + C2 * ( C3 * Pe )^{0.5} \}$$

H : 被覆管 - 冷却材間熱伝達係数

Pe : ペクレル数（無次元）

D : 等価水力直径 ( cm )

K\_m : 冷却材熱伝導率 ( cal./sec./cm./°C )

で計算されるが、C 1 ~ C 4 の定数は、

C 1 = 7.0      C 2 = 0.025

C 3 = 0.5      C 4 = 0.8

が設定値として登録されている。これを、変更して  
計算したい場合に、このカードを入力する。入力す  
る場合は、4個とも与える。

F E E D B A C K フィードバック反応度用データ

K O : 燃料タイプ指定

D O P E R : ドップラー反応度フィードバック式の係数

A F U E L : 燃料の膨脹に伴う反応度フィードバック式の係数

A C L A D : 被覆管の膨脹に伴う反応度フィードバック式の係数

A M O R : 冷却材温度に伴う反応度フィードバック式の係数

A R A P A : ラッパー管の膨脹に伴う反応度フィードバック式の係数

K I N E T I C S 核関係の動特性パラメータ

L : パラメータの種類指定

0 : 即発性中性子寿命

1 : 組別遅発中性子割合

2 : 組別遅発中性子先行核の崩壊定数

P R O T : 即発性中性子寿命 (sec)

Lを0にして1個だけ与える。

(N D L Y) : 遅発中性子の組数 (6に固定、読み込み不要)

D L Y F R P (1~N D L Y) : 全分裂中性子数のなかの各組の遅発中性子数が占める割合。  $\beta$  (1~6組)

Lを1にして、全6組分与える。

D E C A Y (1~N D L Y) : 遅発中性子先行核の崩壊定数

Lを2にして、組別の遅発中性子先行核の崩壊定数を全6組分与える。

T I M E 計算時間帯・計算時間幅指定及び出力分布読込(変更)指定

N O : 計算時間帯種別指定フラグ

N O > 0 : 計算時間帯幅、核および熱計算時間幅入力

N O = 0 : 出力分布変更時間入力

N O < 0 : 出力分布読込時間入力

① N O > 0 のとき

N O : 小時間帯番号。  
( N C A R D ) : 全計算時間帯の分割数 ( $1 \leq N C A R D \leq 10$ )。  
全計算時間帯は、10個以下の小時間帯に分割して扱うことができ、各小時間帯毎に適当な大きさの炉出力絶対値計算用時間幅および熱・水力計算用時間幅を設定することができる。小時間帯ごとに1枚ずつ入力する。( N C A R D は入力不要)

T L A S T 0 ( N O ) : 小時間帯の終わりの時刻 ( sec )  
D T N U C 0 ( N O ) : 炉出力絶対値の変動計算用時間幅 ( sec )  
D T H Y D 0 ( N O ) : 热・水力計算用時間幅 ( sec )。D T H Y D 0 は上記 D T N U C 0 の整数倍の値でなければならない。  
また、热・水力計算時間幅 D T H Y D の大きさは、軸方向ノード間隔を  $\Delta Z_J$ 、ノード J における冷却材流速を  $v_J$  とすると、  
$$D T H Y D 0 ( sec ) \leq \Delta Z_J ( m ) / v_J ( m / sec )$$
の関係を満たすように設定する必要がある。もし、計算途中でこの関係が満足されなくなった場合には、コード内で自動的に D T H Y D 0 の設定値を  $1/2$  の大きさに修正しなおして、計算を続行する。

② N O < 0 のとき

( M X T I M E ) : 出力分布読込回数 ( 読込不要 )  
T I M E C T ( 1 ~ M X T I M E ) : 出力分布読込時刻 ( sec )。

EUREKA-FBR では空間的・時間的な出力分布の変化に対応するため、10回まで外部から出力分布を取り込んで、使用することが出来る。外部とは、

POWERカードもしくはCITATIONコードの出力ファイル（FT32の炉心出力分布計算結果）を意味する。TIMECTは読み込む出力分布が計算時間内の、どの時刻に相当するのかをあたえる。

③ N0 = 0 のとき

(MXTIM) : 出力分布変更回数（読み込不要）

TIMEC (1~MXTIM) : 出力分布変更時刻 (sec)。

EUREKA-FBRでは計算時間帯を10以内の時間帯に分割して、各々の時間帯で一定の出力分布を使用するようになっている。各時間帯の最初の時刻TIMEC(i)で出力分布の変更が行なわれ、その分布は、前後の読み込み時刻の出力分布から内挿して求める。

POWER 出力分布読み込

K0 : 出力分布読み込指定フラグ

K0 = 0 : 出力分布読み込みソース指定入力

K0 > 0 : 出力分布読み込み

① K0 = 0 のとき

K0 : 出力分布読み込指定フラグ

IWEGP : 出力分布読み込みソース指定。

IWEGPが-1の時、出力分布読み込みはPOWERカード (K0 > 0 のもの) から行なう。IWEGPが0の時は、CITATIONコードの出力ファイル (FT32の炉心出力分布計算結果) から入力する。

② K 0 > 0 のとき

K 0 : 出力分布読込番号

M 1 : 出力分布読込チャンネル番号

F R P W T ( 1 ~ J M A X , M 1 , K 0 ) : メッシュ別正規化出力 (-)

炉心全体をトータルすると 1.0 になるように正規化した値を使用する。また、チャンネルごとに、軸方向ノードの数だけ与える。ただし、読込ませても、I W E G P が -1 でないと使われない。

P R I N T プリント制御用データ

N O : プリント制御データ種別指定フラグ

N O > 0 : プリント頻度指示入力

N O = 0 : Minor Edit用変数指定入力

① N O > 0 のとき

N O : 小時間帯番号。

J M I N R O ( N O ) : Minor Editを行なう頻度。熱・水力計算時間幅の何倍の周期で Minor Edit 情報を報告するかを示す。  
プリントは Major Edit の直前にまとめて行なわれる。

N E X O ( N O ) : Major Editを行なう頻度。Minor Edit情報報告の何倍の周期で Major Edit 情報を報告するかを示す。  
50以内を指定しないと Minor Edit 情報データがメモリー配列から溢れて、正しくプリント出来ない。プリントはその都度行なわれ、まとめては行なわない。

1 点炉動特性計算結果・フィードバック計算結果および各チャンネル・ノードごとの熱・水力計算結果をプリントする。（また、各炉出力絶対値計算時間幅 D T N U C ごとの 1 点炉動特性計算結果とフィードバック計算結果については、自動的に各 Major Edit の直前にプリントする）

N E Y O ( N O ) : 炉内各燃料セル内温度分布のプリントを行なう頻度。上記Major EditをN E Y O回行なう度に、各チャンネルの各軸方向ノードにおける燃料セル内の温度分布をプリントする。なお、時刻0においては、このプリントが自動的に行なわれる。

J U P S E L ( N O ) : 反応度プリント時単位指定フラグ。各プリントを行なう際、反応度関係の項目の単位を（DOLLAR）にするか、（DELT K/K）にするかを指定する。  
0のとき（DOLLARS）を使用する。

② N O = 0 のとき

N O : Minor Edit用変数指定フラグ（0）

( N M I N O R ) : Minor Edit用変数指定個数（入力不要、60以内）

N A R E A ( 1 ~ N M I N O R ) : Minor Edit用変数種別指定

K A R E A ( 1 ~ N M I N O R ) : Minor Edit指定チャンネル番号

J A R E A ( 1 ~ N M I N O R ) : Minor Edit指定軸方向ノード番号

I A R E A ( 1 ~ N M I N O R ) : Minor Edit指定セル内半径方向メッシュ番号。上記4個一組のデータで熱・水力特性量および1点動特性計算結果、フィードバック計算結果のうちMinor Editとして書き出すべき変数の種類とその位置とを与える。変数種別は表5.2による。与えた組数がカウントされてN M I N O Rとなる。

なお、特性量の種類によっては、チャンネル番号、ノード番号および燃料セル内半径方向ノード番号のいずれかあるいは全てを、特に指定する必要のないものもある。この場合には、入力する必要のないものには0をセットして与える。

P L O T                   プロット制御用データ

D U M M Y       : 使われない。0をセットする。

I F P L O T   : プロット出力指定。

I F P L O T = 0   : プロットしない。

I F P L O T > 0   : プロットする。

プロットを行なうべき変数の指定はMinor Edit用の  
変数指定時に行なう。すなわち、同じ変数を時系列  
プロット図の作成項目にも使用するので指定には、  
注意しなければならない。なお、連続して指定した  
項目は1図にまとめてプロットすることもできる。

E N D D A T A       パラメータ入力終了告知カード

一連の計算実行用パラメータカード群の最後に1枚  
だけ入れる。コードはこれを読んで実行に入る所以  
省略不可。

表5.2 MINOR EDIT情報報告及び時系列プロット図作成に使用出来る  
特性量の一覧表

特性量の 項目番号	チャンネル 番 号	ノード 番 号	セル内メッシュ番号	変数名	特性量の内容
1	K	J		V	冷却材流速
2	K	J		TW	冷却材温度
4	K	J		RO	冷却材密度
7	K	J		TFX	燃料最高温度
8	K	J		TFA	燃料平均温度
9	K	J	I	TR	燃料温度
12	K	J		SQ	被覆管-冷却材伝熱量
13	K	J		ENG	燃料エンタルピー
16	K			TFAC	チャンネル平均燃料温度
17	K			TWAC	チャンネル平均冷却材温度
19	K			TFXC	チャンネル最高燃料温度
27	K	J		H	被覆管-冷却材間熱伝達係数
28				DKINK(7)	制御棒駆動部反応度
29				DKINK(6)	炉心支持板反応度
30				DKINK(9)	投入反応度
31				DKINK(5)	ラッパー管反応度
32				DKINK(1)	ドップラー反応度
33				DKINK(3)	被覆管反応度
34				DKINK(4)	冷却材反応度
35				DKINK(2)	燃料温度反応度
36				DKINK(8)	フィードバック反応度
37				EREAC(6)	全反応度
38				REACX	スクラム反応度
39				EANS(JABC)	炉心出力
40				EENERG(JABC)	エネルギー

ホット・スッポット計算を行った場合には、チャンネル番号にKMAX+1を指定することによって、特性量の項目番号7・8・9・16・17・19を出力することが出来る。

## 6. 検証計算

本コードの検証計算として、制御棒誤引き抜きによる反応度投入事故を模擬した。計算ケースとしては、出力分布の入力をカード入力・ファイル入力、誤引き抜き制御棒を内側炉心内・内側外側境界の4ケースとした。

- ケース1.1 出力分布入力をカード入力・内側炉心内制御棒引き抜き
- ケース1.2 出力分布入力をカード入力・内側外側境界制御棒引き抜き
- ケース2.1 出力分布入力をファイル入力・内側炉心内制御棒引き抜き
- ケース2.2 出力分布入力をファイル入力・内側外側境界制御棒引き抜き

これらのケースいずれも100万kWe高速増殖炉で、反応度投入は $3 \text{ e/sec}$ 、スクラム信号は116%出力としている。炉心体系・燃料要素形状・投入反応度等の条件を表6.1に示している。また、使用した $\lambda$ ・ $\beta$ 等の動特性パラメータを表6.2に載せた。また、表6.3に使用したドップラー係数及び等温温度係数を示す。炉心の体系図をケース1については図6.1、ケース2は図6.2に示す。なお、熱計算に使用する出力分布については、ケース1については表6.4に載せた各チャンネル毎の出力分担率と図6.3、6.4に示した代表集合体の軸方向出力分布より算出した。なお、比較のために表6.5にケース2の各チャンネル毎の出力分担率を載せる。

出力分布を拡散計算ファイルより入力した場合(ケース2)、CITATIONによる拡散計算が必要になる。この計算の軸方向メッシュ分割・径方向メッシュ分割を図6.5、領域マップを図6.6に示す。また、これらのケースのフィードバック反応度領域ごとの体積比を表6.6に載せる。

拡散計算の計算ケースとしては各々の対象制御棒引き抜きを半挿入、30cm引き抜き、50cm引き抜きの3ケースとした。これらのケースでの軸方向積分した炉心平均1.0に規格化した径方向分布を、ケース2.1、2.2のものを各々図6.7、6.8に示す。

熱水力計算に使用する出力分布についてはチャンネルとノード毎に得られるが、この結果を、ケース1.1、1.2、2.1、2.2のものをそれぞれ表6.6～6.9に示している。また、ケース2についてはチャンネル毎の軸方向出力分布の変化を図6.9～6.14に作図した。

EUREKA-FBRでの計算結果はいずれのケース共7.0秒前後でスクラムが投入された。この時点での燃料温度、各フィードバック反応度の数値を表6.10に示した。また、スクラムが投入される前の6secの時点での各チャンネルの軸方向燃料温度分布並びに9ノードめでの径方向温度分布を図6.15～6.22に示す。

また、時系列のデータについても、下記のグループで作図した。

- ・炉心出力、反応度
- ・フィードバック反応度、その内訳
- ・燃料最高温度・平均温度
- ・冷却材出入り口温度

表 6. 1 1 0 0 万 KW FBR 炉心条件 (1/2)

1. 炉心燃料			
1) 炉心燃料ペレット			
a) 材質	プルトニウム ・ウラン混合酸化物		
b) プルトニウム富化度 (w/o · PuO <sub>2</sub> /(PuO <sub>2</sub> + UO <sub>2</sub> ))			
平衡炉心(内側／外側炉心)	14/18		
c) 外径(mm)	7.32		
d) 密度(%TD)	92.0		
e) O/M比	1.98		
2) 軸方向ブランケット燃料ペレット			
a) 材質	劣化ウラン酸化物		
b) ウラン235含有率(w/o)	0.3		
c) 外径(mm)	7.32		
d) 密度(%TD)	94.5		
e) O/M比	2.0		
3) 被覆管			
a) 材料	20%CW SUS316相当鋼		
b) 外径(mm)	8.3		
c) 内径(mm)	7.5		
4) 燃料要素			
a) 型式	インテグラル密封型 下部ガスプレナム		
b) 全長(mm)	2,700		
i) 炉心燃料体長さ(mm)	1,000		
ii) ブランケット燃料体長さ(mm) (上部／下部)	300/300		
c) スペーサワイヤ径(mm)	1.50		
d) ワイヤ巻付ピッチ(mm)	165		
5) 燃料集合体			
a) 形状	正六角形断面		
b) 燃料要素配列ピッチ(mm)	9.9		
c) 燃料要素数(本)	271		
d) ラッパ管			
i) 材質	20%CW SUS316相当材		
ii) 内対面間距離(mm)	165.8		
iii) 板厚(mm)	4.0		
e) 全長(mm)	4,300		
4) 燃料集合体			
a) 形状	正六角形断面		
b) 燃料要素配列ピッチ(mm)	14.46		
c) 燃料要素数(本)	271		
d) ラッパ管			
i) 材質	20%CW SUS316相当材		
ii) 内対面間距離(mm)	165.8		
iii) 板厚(mm)	4.0		
e) 全長(mm)	4,300		
2. 半径方向ブランケット			
1) ブランケット燃料ペレット			
a) 材質	劣化ウラン酸化物		
b) ウラン235含有率(w/o)	0.3		
c) 外径(mm)	12.35		
d) 密度(%TD)	94.5		
e) O/M比	2.0		
2) 被覆管			
a) 材質	20%CW SUS316相当鋼		
b) 外径(mm)	13.4		
c) 内径(mm)	12.6		
3) 燃料要素			
a) 型式	密封型 下部ガスプレナム		
b) 全長(mm)	2,700		
c) 燃料部長さ(mm)	1,600		
d) スペーサワイヤ径(mm)	1.0		
e) ワイヤ巻付ピッチ(mm)	165.0		
3. 主炉停止系制御棒			
a) 集合体数(体)	18		
b) 中性子吸収材	B <sub>4</sub> C		
c) B-10濃縮(w/o)			
d) B-10装荷重(kg/集合体)			
e) B <sub>4</sub> C装荷重(kg/集合体)			
f) 制御要素数(本/集合体)	55		
g) 吸収体有効長(mm)	1,000		
h) 被覆材材質	SUS316		
i) B <sub>4</sub> Cペレット(%TD)	95		
4. 後備炉停止系制御棒			
a) 集合体数(体)	6		
b) 中性子吸収材	B <sub>4</sub> C		
c) B-10濃縮度(w/o)			
d) B-10装荷重(kg/集合体)			
e) B <sub>4</sub> C装荷重(kg/集合体)			
f) 制御要素数(本/集合体)	37		
g) 吸収体有効長(mm)	1,000		
h) 被覆材材質	SUS316		
i) B <sub>4</sub> Cペレット(%TD)	95		

表 6. 1 1 0 0 万 KW F B R 炉心条件 (2/2)

5. 反応度投入率	3 ¢/s	1) 出力 原子炉熱出力 (HW)	2,600	2) 炉心寸法 a) 高さ (mm)	1,000
6. スクラム時の原子炉 出力レベル	116%	2) 一次主冷却系冷却材 原子炉入口温度 (°C)	360	b) 等価直径 (mm)	約 3680
7. <sup>2</sup> <sub>3</sub> 制御棒反応度値 引抜き制御棒20番	0.138 % ΔK/KK'	原子炉出口温度 (°C)	500	c) 高さ／等価直径比	0.272
引抜き制御棒 172番	0.402 % ΔK/KK'	冷却材流量 (kg/s)	$1.46 \times 10^4$	d) 容積	約 10640
8. 冷却材流量		1) 炉心型式 均質炉心		3) ブランケット厚さ a) 軸方向厚さ (上／下) (mm)	300/300
(1) 内側炉心	$6.94 \times 10^3$ (kg/s) (0.475)	2) 炉心富化度領域数 2		b) 半径方向等価厚さ (mm)	約 167
(2) 外側炉心	$6.20 \times 10^3$ (kg/s) (0.425)	1) 炉心構成要素数 a) 内側炉心燃料集合体 b) 外側炉心燃料集合体 c) ブランケット燃料集合体 d) 主炉停止系制御棒 e) 後備炉停止系制御棒 f) 中性子遮蔽体 (ステンレス) g) 中性子遮蔽体 (炭化ホウ素)	175 180 72 18 6 78 270 799	4) 遮蔽体厚さ a) 軸方向上部遮蔽 (mm) b) 軸方向下部遮蔽 (mm) c) 径方向遮蔽 (等価厚さ) (mm)	約 760 約 260 約 637
(3) 径方向ブランケット	$4.44 \times 10^2$ (kg/s) (0.030)			5) 炉心構成要素配列 a) 集合体配列ピッチ (mm) b) 集合体全長 (mm)	179.8 4,300
(4) 中性子遮蔽体等	$1.02 \times 10^3$ (kg/s) (0.070)				
9. 崩壊熱	考慮しない。				
10. スクラム時の時間遅れ	0.4 秒				

表6.2 動特性パラメータ

炉心状態 パラメータ	平衡初期
遅発中性子割合 $\beta_{\text{eff}}$	$3.68 \times 10^{-3}$
" 内訳 $\beta_1$	$7.39 \times 10^{-5}$
$\beta_2$	$8.01 \times 10^{-4}$
$\beta_3$	$6.53 \times 10^{-4}$
$\beta_4$	$1.34 \times 10^{-3}$
$\beta_5$	$6.37 \times 10^{-4}$
$\beta_6$	$1.79 \times 10^{-4}$
崩壊定数 $\lambda_1$	$1.29 \times 10^{-2}$
$\lambda_2$	$3.11 \times 10^{-2}$
$\lambda_3$	$1.33 \times 10^{-1}$
$\lambda_4$	$3.48 \times 10^{-2}$
$\lambda_5$	$1.42 \times 10^{-1}$
$\lambda_6$	$3.82 \times 10^{-1}$
即発中性子寿命 ( $\mu\text{sec}$ ) $\ell$	0.396,

表6.3 ドップラ係数および等温温度係数

領域 項目	ドップラ係数 $(10^{-4} T \frac{dk}{dT})$	等温温度係数 ( $10^{-6} \Delta k / k / ^\circ C$ )			
		燃 料	被覆管	ラッパ管	冷 却 材
炉心	内側 炉心	-50.9 <sub>z</sub>	-0.824 <sub>z</sub>	0.958 <sub>z</sub>	0.375 <sub>z</sub>
	外側 炉心	-34.1 <sub>z</sub>	-1.44 <sub>z</sub>	0.495 <sub>z</sub>	0.210 <sub>z</sub>
ブランケット	径BL	-4.26 <sub>z</sub>	-0.011 <sub>z</sub>	-0.057 <sub>z</sub>	-0.018 <sub>z</sub>
	軸BL (炉心)	-5.54 <sub>z</sub>	0.023 <sub>z</sub>	-0.026 <sub>z</sub>	-0.009 <sub>z</sub>
コントローラー	軸BL (BL)	-3.13 <sub>z</sub>	-0.002 <sub>z</sub>	-0.048 <sub>z</sub>	-0.017 <sub>z</sub>
	合 計	-98.0 <sub>z</sub>	-2.25 <sub>z</sub>	1.32 <sub>z</sub>	0.540 <sub>z</sub>

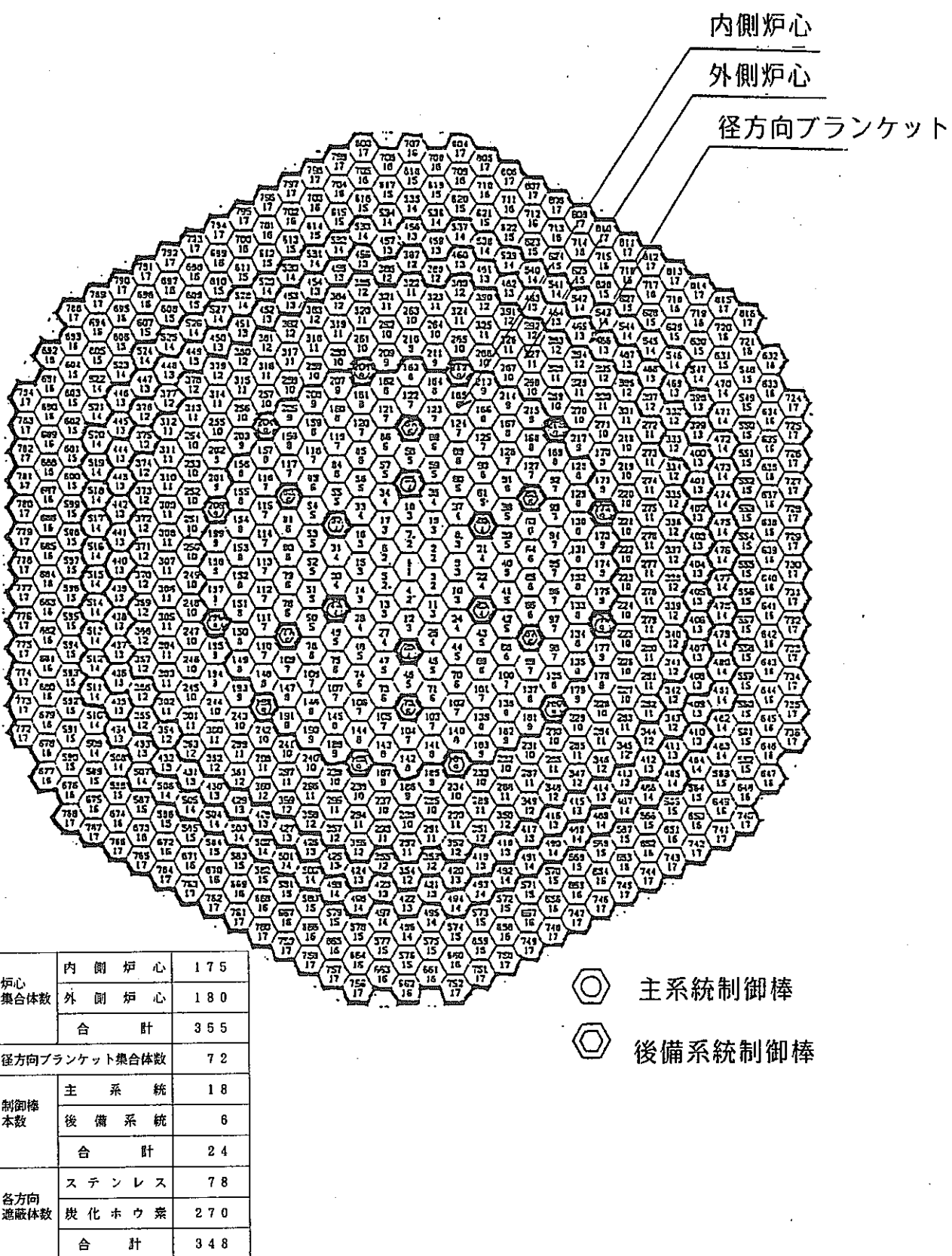
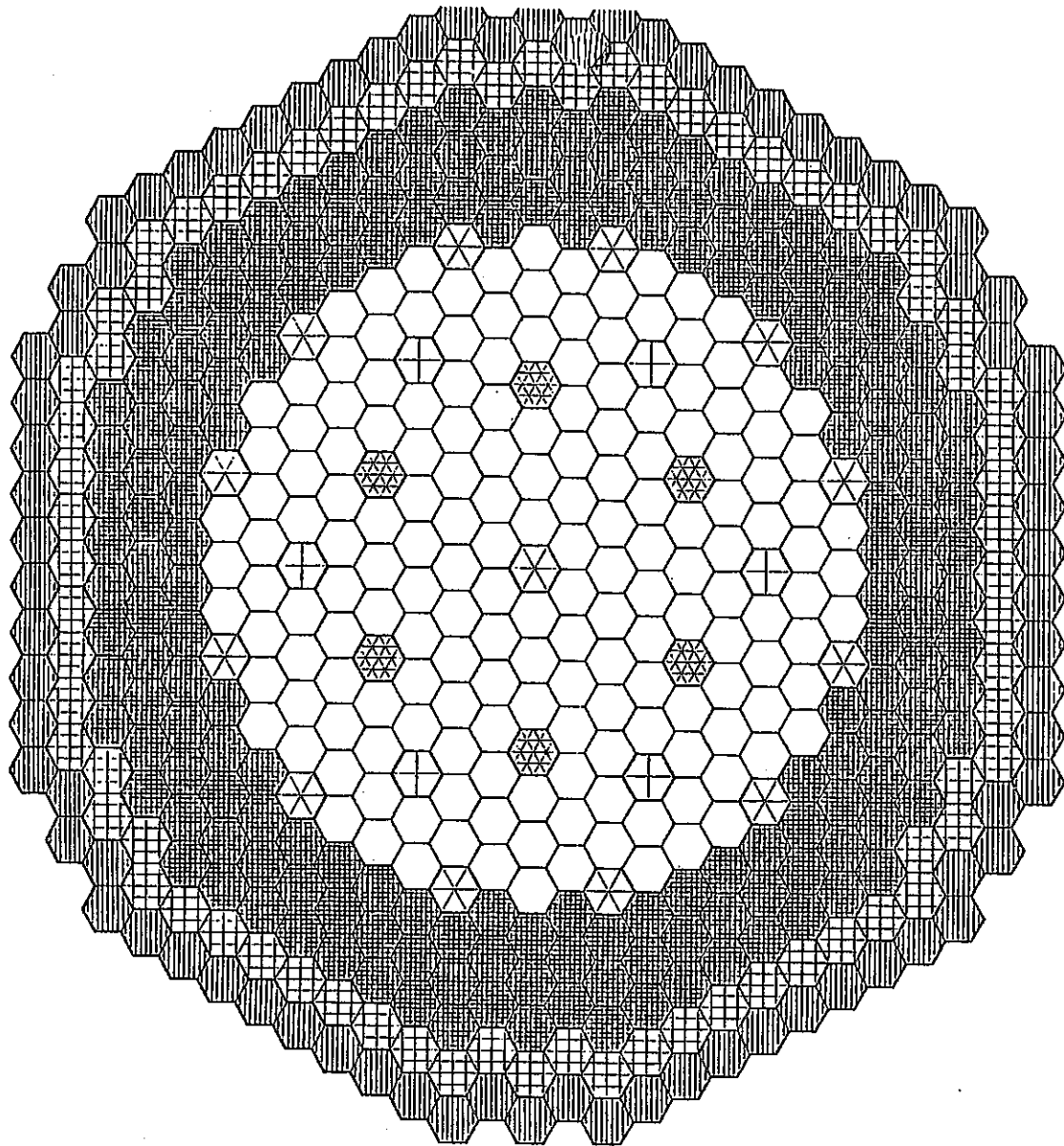


図6.1 レファレンス炉心炉心配置図



○	内側炉心	174体
◆	外側炉心	180体
□	径方向ブランケット	72体
◎	主系統制御棒（起動用）	6体
△	主系統制御棒（運転用）	13体
×	後備系統制御棒	6体
■	中性子遮蔽体（SUS）	78体

図6.2 100万kWe炉心体系図

表6.4 出力分担率（ケース1.1, ケース1.2）

バンドル毎の出力分担率（20番）ケース1.1

制御棒 引抜量(m)	バンドル タイプ	引抜き制御棒 まわりの集合体	内側炉心	外側炉心	径方向 ブランケット
0.0		0.012	0.424	0.536	0.028
0.1		0.013	0.426	0.533	0.028
0.3		0.015	0.430	0.528	0.027
0.5		0.016	0.432	0.525	0.027

バンドル毎の出力分担率（172番）ケース1.2

制御棒 引抜量(m)	バンドル タイプ	引抜き制御棒 まわりの集合体	内側炉心	外側炉心	径方向 ブランケット
0.0		0.018	0.428	0.526	0.028
0.1		0.021	0.426	0.525	0.028
0.3		0.029	0.422	0.521	0.028
0.5		0.035	0.419	0.518	0.028

表6.5 拡散計算結果よりの出力分担率

・ 中心制御棒引き抜き

制御棒引き抜き長 (cm)	チャンネル			
	1	2	3	4
0	0.018	0.487	0.476	0.017
30	0.020	0.496	0.468	0.017
50	0.022	0.502	0.460	0.016

・ 内外境界制御棒引き抜き

制御棒引き抜き長 (cm)	チャンネル				
	1	2	3	4	5
0	0.008	0.009	0.499	0.467	0.017
30	0.010	0.013	0.496	0.466	0.017
50	0.011	0.014	0.492	0.466	0.017

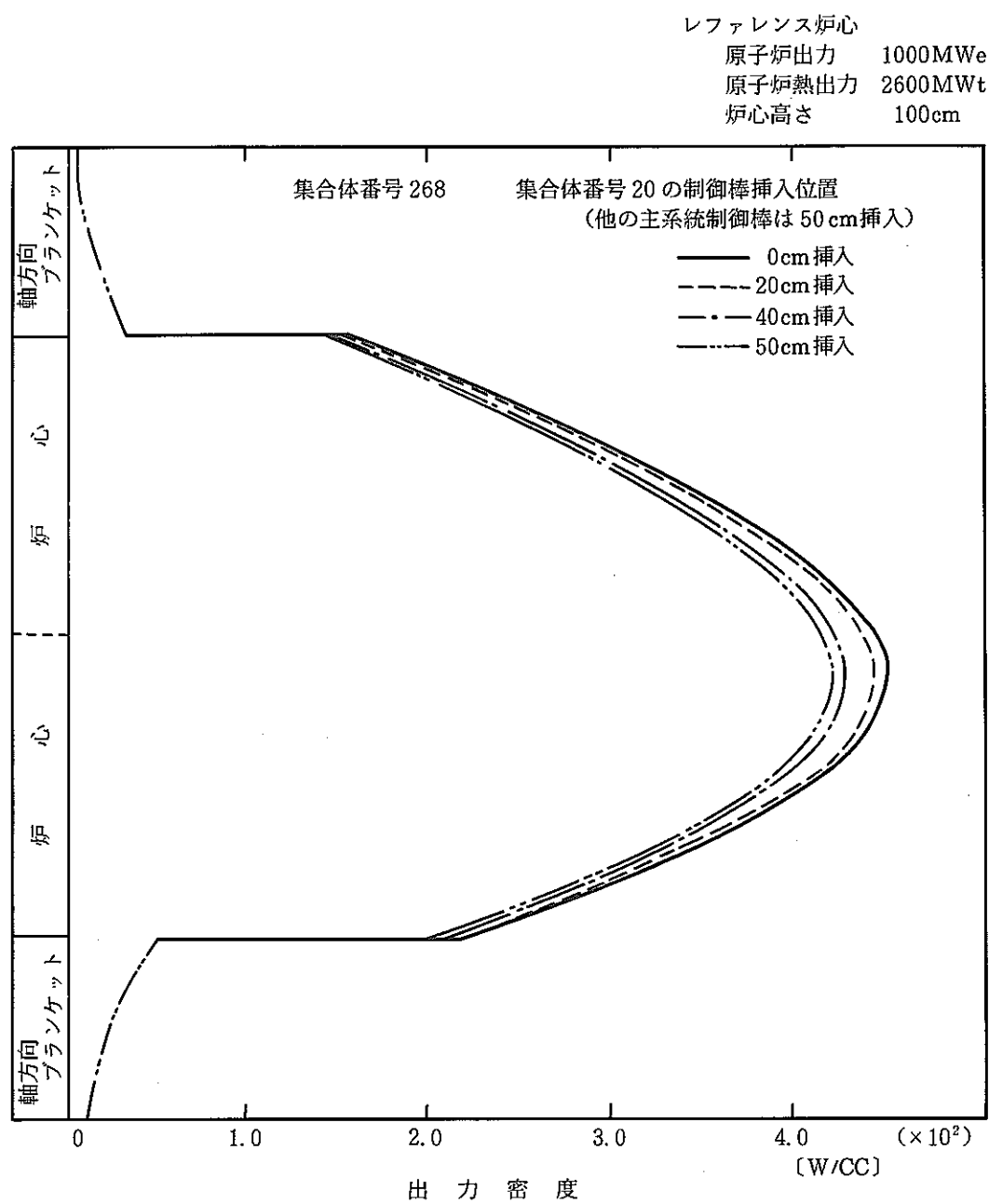


図 6.3 軸方向出力分布 (ケース 1.1)

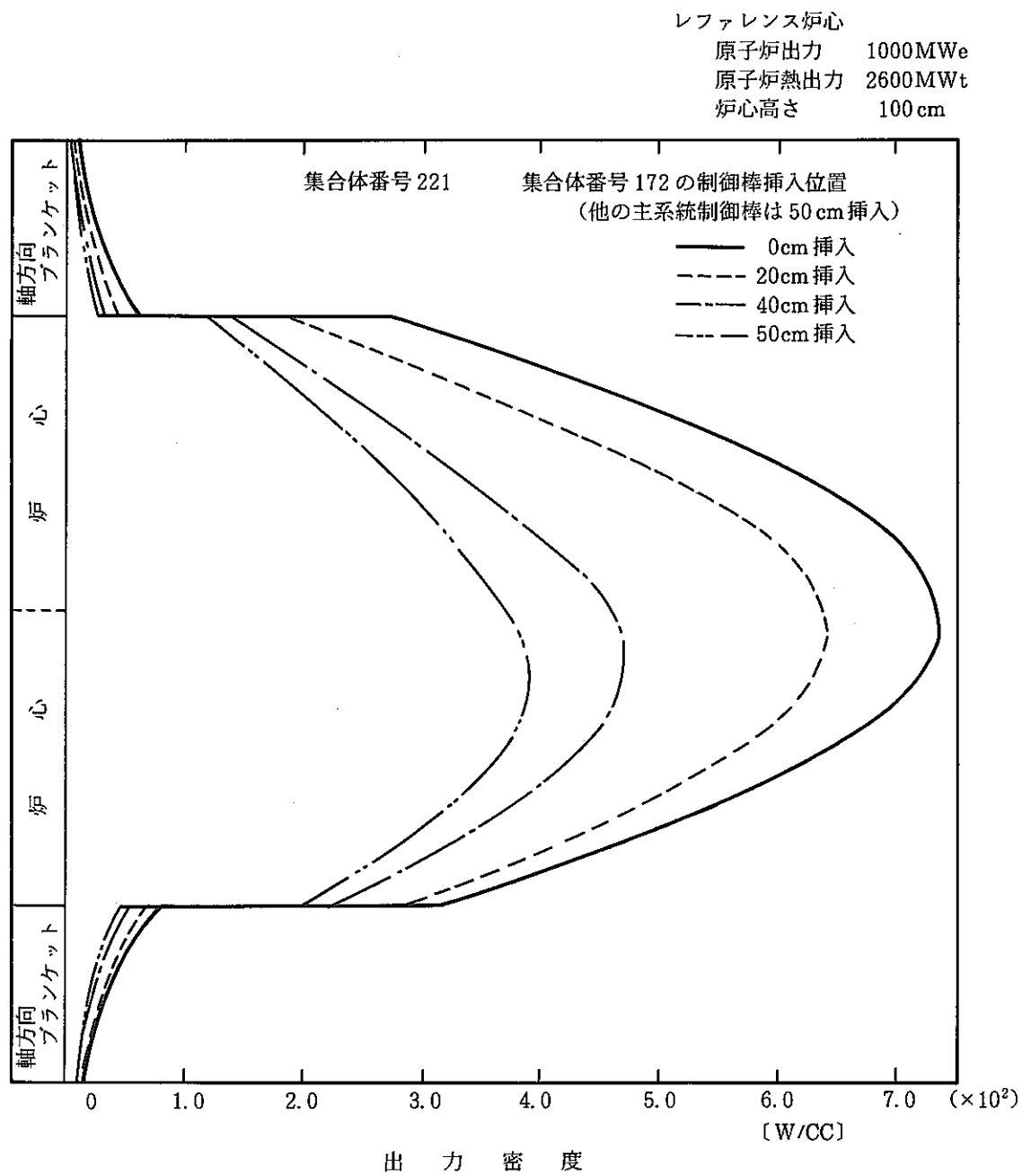


図 6.4 軸方向出力分布（ケース 1.2）

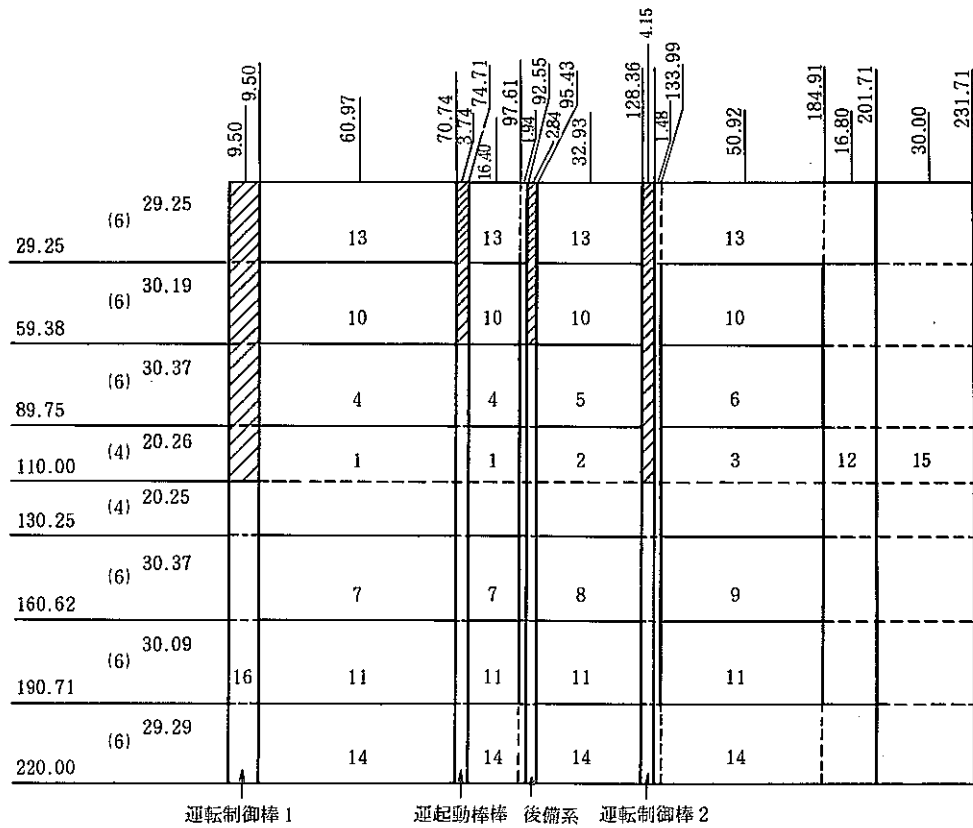


図1 R-Zマップ( )内はメッシュ数

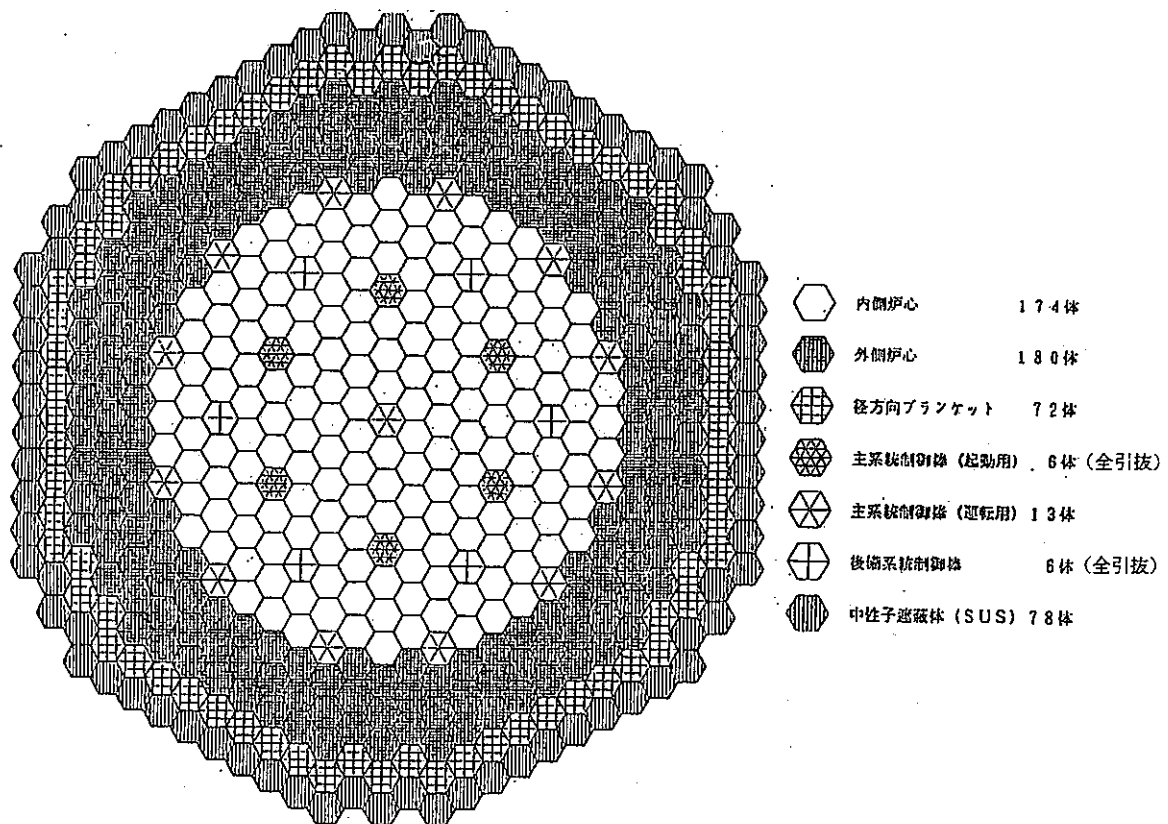


図6.5 100万KWe炉心体系図













表6.6 チャンネル体積比

フィードバック反応度領域毎

## CHANNEL VOLUME RATIO OF EACH FUEL TYPE

## CHANNEL NO.

NODE	1	2	3	4
1	2.82678E-03	7.91495E-02	8.48031E-02	1.66779E-01
2	2.82677E-03	7.91492E-02	8.48029E-02	1.66779E-01
3	2.82678E-03	7.91495E-02	8.48031E-02	1.66779E-01
4	3.44829E-03	9.65518E-02	1.00000E-01	1.00000E-01
5	3.44830E-03	9.65521E-02	1.00000E-01	1.00000E-01
6	3.44829E-03	9.65518E-02	1.00000E-01	1.00000E-01
7	3.44829E-03	9.65518E-02	1.00000E-01	1.00000E-01
8	3.44829E-03	9.65518E-02	1.00000E-01	1.00000E-01
9	3.44829E-03	9.65518E-02	1.00000E-01	1.00000E-01
10	3.44829E-03	9.65518E-02	1.00000E-01	1.00000E-01
11	3.44829E-03	9.65518E-02	1.00000E-01	1.00000E-01
12	3.44830E-03	9.65521E-02	1.00000E-01	1.00000E-01
13	3.44829E-03	9.65518E-02	1.00000E-01	1.00000E-01
14	2.82298E-03	7.90427E-02	8.46887E-02	1.66554E-01
15	2.82298E-03	7.90427E-02	8.46887E-02	1.66554E-01
16	2.82298E-03	7.90427E-02	8.46887E-02	1.66554E-01

## CHANNEL VOLUME RATIO OF EACH FUEL TYPE

## CHANNEL NO.

NODE	1	2	3	4	5
1	1.41340E-03	1.41342E-03	8.05629E-02	8.33898E-02	1.66779E-01
2	1.41339E-03	1.41342E-03	8.05627E-02	8.33895E-02	1.66779E-01
3	1.41340E-03	1.41342E-03	8.05629E-02	8.33898E-02	1.66779E-01
4	1.72416E-03	1.66671E-03	9.82760E-02	9.83332E-02	1.00000E-01
5	1.72416E-03	1.66671E-03	9.82763E-02	9.83335E-02	1.00000E-01
6	1.72416E-03	1.66671E-03	9.82760E-02	9.83332E-02	1.00000E-01
7	1.72416E-03	1.66671E-03	9.82760E-02	9.83332E-02	1.00000E-01
8	1.72416E-03	1.66671E-03	9.82760E-02	9.83332E-02	1.00000E-01
9	1.72416E-03	1.66671E-03	9.82760E-02	9.83332E-02	1.00000E-01
10	1.72416E-03	1.66671E-03	9.82760E-02	9.83332E-02	1.00000E-01
11	1.72416E-03	1.66671E-03	9.82760E-02	9.83332E-02	1.00000E-01
12	1.72416E-03	1.66671E-03	9.82763E-02	9.83335E-02	1.00000E-01
13	1.72416E-03	1.66671E-03	9.82760E-02	9.83332E-02	1.00000E-01
14	1.41149E-03	1.41152E-03	8.04542E-02	8.32773E-02	1.66554E-01
15	1.41149E-03	1.41152E-03	8.04542E-02	8.32773E-02	1.66554E-01
16	1.41149E-03	1.41152E-03	8.04542E-02	8.32773E-02	1.66554E-01

表6.7 チャンネル出力分布 ケース1.1

CHANNEL POWER FOR KINETICS CALC.				
CHANNEL NO.				
NODE	1	2	3	4
1	2.94118E-05	1.03922E-03	1.31373E-03	6.86275E-05
2	5.29412E-05	1.87059E-03	2.36471E-03	1.23529E-04
3	9.41176E-05	3.32549E-03	4.20392E-03	2.19608E-04
4	6.23529E-04	2.20314E-02	2.78510E-02	1.45490E-03
5	8.82353E-04	3.11765E-02	3.94118E-02	2.05882E-03
6	1.10588E-03	3.90745E-02	4.93961E-02	2.58039E-03
7	1.29412E-03	4.57255E-02	5.78039E-02	3.01961E-03
TIME STEP 1	8	1.42353E-03	5.02980E-02	6.35843E-02
	9	1.48235E-03	5.29765E-02	6.62118E-02
	10	1.45882E-03	5.15451E-02	6.51608E-02
	11	1.34118E-03	4.73882E-02	5.99059E-02
	12	1.12941E-03	3.99059E-02	5.04471E-02
	13	8.47059E-04	2.99294E-02	3.78353E-02
	14	1.29412E-04	4.57255E-03	5.78039E-03
	15	7.05882E-05	2.49412E-03	3.15294E-03
	16	3.52941E-05	1.24706E-03	1.57647E-03
TOTAL		1.20000E-02	4.24000E-01	5.36000E-01
				2.80000E-02

CHANNEL POWER FOR KINETICS CALC.				
CHANNEL NO.				
NODE	1	2	3	4
1	3.13707E-05	1.02799E-03	1.28620E-03	6.75676E-05
2	5.64672E-05	1.85039E-03	2.31515E-03	1.21622E-04
3	1.00386E-04	3.28958E-03	4.11583E-03	2.16216E-04
4	6.77606E-04	2.22046E-02	2.77819E-02	1.45946E-03
5	9.53668E-04	3.12510E-02	3.91004E-02	2.05405E-03
6	1.19208E-03	3.90637E-02	4.88755E-02	2.56757E-03
7	1.39286E-03	4.56429E-02	5.71071E-02	3.00000E-03
TIME STEP 2	8	1.54344E-03	5.05772E-02	6.32809E-02
	9	1.60618E-03	5.26332E-02	6.58533E-02
	10	1.58108E-03	5.18108E-02	6.48243E-02
	11	1.45560E-03	4.76988E-02	5.96795E-02
	12	1.22973E-03	4.02973E-02	5.04189E-02
	13	9.28571E-04	3.04286E-02	3.80714E-02
	14	1.38031E-04	4.52317E-03	5.65927E-03
	15	7.52896E-05	2.46718E-03	3.08687E-03
	16	3.76448E-05	1.23359E-03	1.54344E-03
TOTAL		1.30000E-02	4.26000E-01	5.33000E-01
				2.80000E-02

表6.7 チャンネル出力分布 ケース1.2

CHANNEL POWER FOR KINETICS CALC.				
	CHANNEL NO.			
NODE	1	2	3	4
1	3.48513E-05	9.99071E-04	1.22677E-03	6.27323E-05
2	6.27323E-05	1.79833E-03	2.20818E-03	1.12918E-04
3	1.11524E-04	3.19703E-03	3.92565E-03	2.00743E-04
4	7.94610E-04	2.27788E-02	2.79703E-02	1.43030E-03
5	1.11524E-03	3.19703E-02	3.92565E-02	2.00743E-03
6	1.38011E-03	3.95632E-02	4.85799E-02	2.48420E-03
7	1.60316E-03	4.59572E-02	5.64312E-02	2.88569E-03
TIME STEP 3				
8	1.77045E-03	5.07528E-02	6.23197E-02	3.18680E-03
9	1.85409E-03	5.31506E-02	6.52639E-02	3.33736E-03
10	1.82621E-03	5.23513E-02	6.42825E-02	3.28717E-03
11	1.67286E-03	4.79554E-02	5.88848E-02	3.01115E-03
12	1.40799E-03	4.03625E-02	4.95613E-02	2.53439E-03
13	1.08736E-03	3.11710E-02	3.82751E-02	1.95725E-03
14	1.53346E-04	4.39591E-03	5.39777E-03	2.76022E-04
15	8.36431E-05	2.39777E-03	2.94424E-03	1.50558E-04
16	4.18216E-05	1.19888E-03	1.47212E-03	7.52788E-05
TOTAL	1.50000E-02	4.30000E-01	5.28000E-01	2.70000E-02

CHANNEL POWER FOR KINETICS CALC.				
	CHANNEL NO.			
NODE	1	2	3	4
1	3.66300E-05	9.89011E-04	1.20192E-03	6.18132E-05
2	6.59341E-05	1.78022E-03	2.16346E-03	1.11264E-04
3	1.17216E-04	3.16484E-03	3.84615E-03	1.97802E-04
4	8.49817E-04	2.29451E-02	2.78846E-02	1.43407E-03
5	1.18681E-03	3.20440E-02	3.89423E-02	2.00275E-03
6	1.46520E-03	3.95604E-02	4.80769E-02	2.47253E-03
7	1.71429E-03	4.62857E-02	5.62500E-02	2.89286E-03
TIME STEP 4				
8	1.87546E-03	5.06374E-02	6.15385E-02	3.16484E-03
9	1.97802E-03	5.34066E-02	6.49038E-02	3.33791E-03
10	1.93407E-03	5.22198E-02	6.34615E-02	3.26374E-03
11	1.78755E-03	4.82637E-02	5.86538E-02	3.01648E-03
12	1.52381E-03	4.11429E-02	5.00000E-02	2.57143E-03
13	1.17216E-03	3.16484E-02	3.84615E-02	1.97802E-03
14	1.61172E-04	4.35165E-03	5.28846E-03	2.71978E-04
15	8.79121E-05	2.37363E-03	2.88462E-03	1.48352E-04
16	4.39560E-05	1.18681E-03	1.44231E-03	7.41758E-05
TOTAL	1.60000E-02	4.32000E-01	5.25000E-01	2.70000E-02

表6.8 チャンネル出力分布 ケース1.1

CHANNEL POWER FOR KINETICS CALC.						
	CHANNEL NO.					
NODE	1	2	3	4	5	
1	1.46104E-05	1.46104E-05	6.94805E-04	8.52273E-04	4.54545E-05	
2	4.38312E-05	4.38312E-05	2.08442E-03	2.55682E-03	1.36364E-04	
3	5.84416E-05	5.84416E-05	2.77922E-03	3.40909E-03	1.81818E-04	
4	4.38312E-04	4.38312E-04	2.08442E-02	2.55682E-02	1.36364E-03	
5	5.99026E-04	5.99026E-04	2.84870E-02	3.49432E-02	1.86364E-03	
6	7.74351E-04	7.74351E-04	3.68247E-02	4.51705E-02	2.40909E-03	
7	9.05844E-04	9.05844E-04	4.30779E-02	5.28409E-02	2.81818E-03	
TIME STEP 1	8	1.02273E-03	1.02273E-03	4.86364E-02	5.96591E-02	3.18182E-03
	9	1.12500E-03	1.12500E-03	6.35000E-02	6.56250E-02	3.50000E-03
	10	1.13961E-03	1.13961E-03	5.41948E-02	6.64773E-02	3.54545E-03
	11	1.06656E-03	1.06656E-03	5.07208E-02	6.22159E-02	3.31818E-03
	12	9.05844E-04	9.05844E-04	4.30779E-02	5.28409E-02	2.81818E-03
	13	7.01299E-04	7.01299E-04	3.33506E-02	4.09091E-02	2.18182E-03
	14	1.02273E-04	1.02273E-04	4.86364E-03	5.96591E-03	3.18182E-04
	15	5.84416E-05	5.84416E-05	2.77922E-03	3.40909E-03	1.81818E-04
	16	4.38312E-05	4.38312E-05	2.08442E-03	2.55682E-03	1.36364E-04
	TOTAL	9.00000E-03	9.00000E-03	4.28000E-01	5.25000E-01	2.80000E-02

CHANNEL POWER FOR KINETICS CALC.						
	CHANNEL NO.					
NODE	1	2	3	4	5	
1	1.42469E-05	1.42469E-05	6.78019E-04	7.12347E-04	3.79919E-05	
2	4.27408E-05	4.27408E-05	1.73406E-03	2.13704E-03	1.13976E-04	
3	7.12347E-05	7.12347E-05	2.89009E-03	3.56174E-03	1.89959E-04	
4	4.98643E-04	4.98643E-04	2.02307E-02	2.49322E-02	1.32972E-03	
5	6.98100E-04	6.98100E-04	2.83229E-02	3.49050E-02	1.86160E-03	
6	8.97558E-04	8.97558E-04	3.64152E-02	4.48779E-02	2.39349E-03	
7	1.08277E-03	1.08277E-03	4.39294E-02	5.41384E-02	2.88738E-03	
TIME STEP 2	8	1.25373E-03	1.25373E-03	5.08657E-02	6.26866E-02	3.34328E-03
	9	1.33921E-03	1.33921E-03	5.43338E-02	6.69607E-02	3.57123E-03
	10	1.32497E-03	1.32497E-03	5.37558E-02	6.62483E-02	3.53324E-03
	11	1.22524E-03	1.22524E-03	4.97096E-02	6.12619E-02	3.26730E-03
	12	1.02578E-03	1.02578E-03	4.16174E-02	5.12890E-02	2.73541E-03
	13	7.83582E-04	7.83582E-04	3.17910E-02	3.91791E-02	2.08955E-03
	14	1.28223E-04	1.28223E-04	5.20217E-03	6.41113E-03	3.41927E-04
	15	7.12347E-05	7.12347E-05	2.89009E-03	3.56174E-03	1.89959E-04
	16	4.27408E-05	4.27408E-05	1.73406E-03	2.13704E-03	1.13976E-04
	TOTAL	1.05000E-02	1.05000E-02	4.26000E-01	5.25000E-01	2.80000E-02

表6.8 チャンネル出力分布 ケース1.2

CHANNEL POWER FOR KINETICS CALC.						
	CHANNEL NO.					
NODE	1	2	3	4	5	
1	2.83480E-05	2.83480E-05	8.25024E-04	1.01857E-03	5.47410E-05	
2	5.66960E-05	5.66960E-05	1.65005E-03	2.03715E-03	1.09482E-04	
3	9.92180E-05	9.92180E-05	2.88759E-03	3.56500E-03	1.91593E-04	
4	6.94526E-04	6.94526E-04	2.02131E-02	2.49550E-02	1.34115E-03	
5	1.03470E-03	1.03470E-03	3.01134E-02	3.71779E-02	1.99804E-03	
6	1.37488E-03	1.37488E-03	4.00137E-02	4.94008E-02	2.65494E-03	
7	1.63001E-03	1.63001E-03	4.74399E-02	5.85679E-02	3.14761E-03	
TIME STEP 3	8	1.77175E-03	1.77175E-03	5.15640E-02	6.36608E-02	3.42131E-03
	9	1.82845E-03	1.82845E-03	5.32141E-02	6.56979E-02	3.53079E-03
	10	1.75758E-03	1.75758E-03	5.11515E-02	6.31515E-02	3.39394E-03
	11	1.58749E-03	1.58749E-03	4.62014E-02	5.70401E-02	3.06549E-03
	12	1.33236E-03	1.33236E-03	3.87761E-02	4.78729E-02	2.57283E-03
	13	1.00635E-03	1.00635E-03	2.92884E-02	3.61593E-02	1.94330E-03
	14	1.55914E-04	1.55914E-04	4.53763E-03	5.60215E-03	3.01075E-04
	15	8.50440E-05	8.50440E-05	2.47507E-03	3.05572E-03	1.64223E-04
	16	5.66960E-05	5.66960E-05	1.65005E-03	2.03715E-03	1.09482E-04
	TOTAL	1.45000E-02	1.45000E-02	4.22000E-01	5.21000E-01	2.80000E-02

CHANNEL POWER FOR KINETICS CALC.						
	CHANNEL NO.					
NODE	1	2	3	4	5	
1	4.34603E-05	4.34603E-05	1.04056E-03	1.28642E-03	6.95364E-05	
2	7.24338E-05	7.24338E-05	1.73427E-03	2.14404E-03	1.15894E-04	
3	1.44868E-04	1.44868E-04	3.46854E-03	4.28808E-03	2.31788E-04	
4	1.01407E-03	1.01407E-03	2.42798E-02	3.00166E-02	1.62252E-03	
5	1.40522E-03	1.40522E-03	3.36449E-02	4.15944E-02	2.24834E-03	
6	1.73841E-03	1.73841E-03	4.16225E-02	5.14570E-02	2.78146E-03	
7	1.97020E-03	1.97020E-03	4.71722E-02	5.83179E-02	3.15232E-03	
TIME STEP 4	8	2.10058E-03	2.10058E-03	5.02939E-02	6.21772E-02	3.36093E-03
	9	2.12955E-03	2.12955E-03	5.09876E-02	6.30348E-02	3.40728E-03
	10	2.04263E-03	2.04263E-03	4.89065E-02	6.04619E-02	3.26821E-03
	11	1.83998E-03	1.83998E-03	4.40505E-02	5.44586E-02	2.94371E-03
	12	1.52111E-03	1.52111E-03	3.64197E-02	4.50248E-02	2.43377E-03
	13	1.14445E-03	1.14445E-03	2.74015E-02	3.38758E-02	1.83113E-03
	14	1.73841E-04	1.73841E-04	4.16225E-03	5.14570E-03	2.78146E-04
	15	1.01407E-04	1.01407E-04	2.42798E-03	3.00166E-03	1.62252E-04
	16	5.79470E-05	5.79470E-05	1.38742E-03	1.71523E-03	9.27152E-05
	TOTAL	1.75000E-02	1.75000E-02	4.19000E-01	5.18000E-01	2.80000E-02

表6.9 チャンネル出力分布 ケース2.1

POWER DISTRIBUTION FOR THERMAL CALC.				
	CHANNEL NO.			
NODE	1	2	3	4
1	3.82932E-05	1.00460E-03	8.49787E-04	2.16567E-04
2	8.39917E-05	1.72645E-03	1.46616E-03	3.45357E-04
3	1.15586E-04	3.20520E-03	2.76782E-03	5.68877E-04
4	9.67341E-04	2.74750E-02	2.68877E-02	8.85015E-04
5	1.31901E-03	3.78437E-02	3.70600E-02	1.20819E-03
6	1.63134E-03	4.68820E-02	4.59671E-02	1.48489E-03
7	1.87229E-03	5.35569E-02	5.21403E-02	1.69040E-03
TIME STEP 1	8	2.05563E-03	5.80361E-02	5.68378E-02
	9	2.16022E-03	5.97272E-02	5.84648E-02
	10	2.13820E-03	5.81381E-02	5.70316E-02
	11	1.98152E-03	5.33694E-02	5.27286E-02
	12	1.68304E-03	4.51020E-02	4.42713E-02
	13	1.29492E-03	3.45814E-02	3.33345E-02
	14	1.58878E-04	4.24661E-03	3.51939E-03
	15	9.41471E-05	2.50519E-03	1.95021E-03
	16	6.08516E-05	1.61954E-03	1.19242E-03
	TOTAL	1.76354E-02	4.88019E-01	4.76269E-01
	CHANNEL NO.			
NODE	1	2	3	4
1	4.08498E-05	1.01937E-03	8.35596E-04	2.12371E-04
2	6.86510E-05	1.75172E-03	1.44108E-03	3.38566E-04
3	1.24865E-04	3.25200E-03	2.71939E-03	5.57574E-04
4	1.05418E-03	2.78889E-02	2.64177E-02	8.67302E-04
5	1.45923E-03	3.84232E-02	3.64079E-02	1.18394E-03
6	1.84666E-03	4.76122E-02	4.51581E-02	1.45510E-03
7	2.16986E-03	5.43984E-02	5.12257E-02	1.65655E-03
TIME STEP 2	8	2.38418E-03	5.89020E-02	5.56508E-02
	9	2.45176E-03	6.05484E-02	5.74559E-02
	10	2.37043E-03	5.86608E-02	5.60555E-02
	11	2.15944E-03	5.39689E-02	5.18334E-02
	12	1.81319E-03	4.55646E-02	4.35268E-02
	13	1.38439E-03	3.49112E-02	3.27826E-02
	14	1.68973E-04	4.28424E-03	3.46133E-03
	15	9.97418E-05	2.52760E-03	1.91921E-03
	16	6.42507E-05	1.63293E-03	1.17422E-03
	TOTAL	1.96606E-02	4.95537E-01	4.68064E-01
	CHANNEL NO.			
NODE	1	2	3	4
1	4.77051E-05	1.04713E-03	8.21695E-04	2.08223E-04
2	8.18621E-05	1.79728E-03	1.41646E-03	3.31853E-04
3	1.61979E-04	3.33192E-03	2.67168E-03	5.46399E-04
4	1.31037E-03	2.85472E-02	2.59550E-02	8.49784E-04
5	1.79102E-03	3.92495E-02	3.57646E-02	1.15995E-03
6	2.19315E-03	4.85171E-02	4.43582E-02	1.42558E-03
7	2.46820E-03	5.52733E-02	5.03188E-02	1.62299E-03
TIME STEP 3	8	2.62415E-03	5.97003E-02	5.46693E-02
	9	2.64163E-03	6.12222E-02	5.64488E-02
	10	2.51923E-03	5.93990E-02	5.50791E-02
	11	2.27449E-03	5.43795E-02	5.09357E-02
	12	1.89841E-03	4.58592E-02	4.27783E-02
	13	1.44360E-03	3.51091E-02	3.22264E-02
	14	1.75710E-04	4.30563E-03	3.40275E-03
	15	1.03497E-04	2.53934E-03	1.88779E-03
	16	6.85437E-05	1.64007E-03	1.15569E-03
	TOTAL	2.17915E-02	5.01917E-01	4.59889E-01



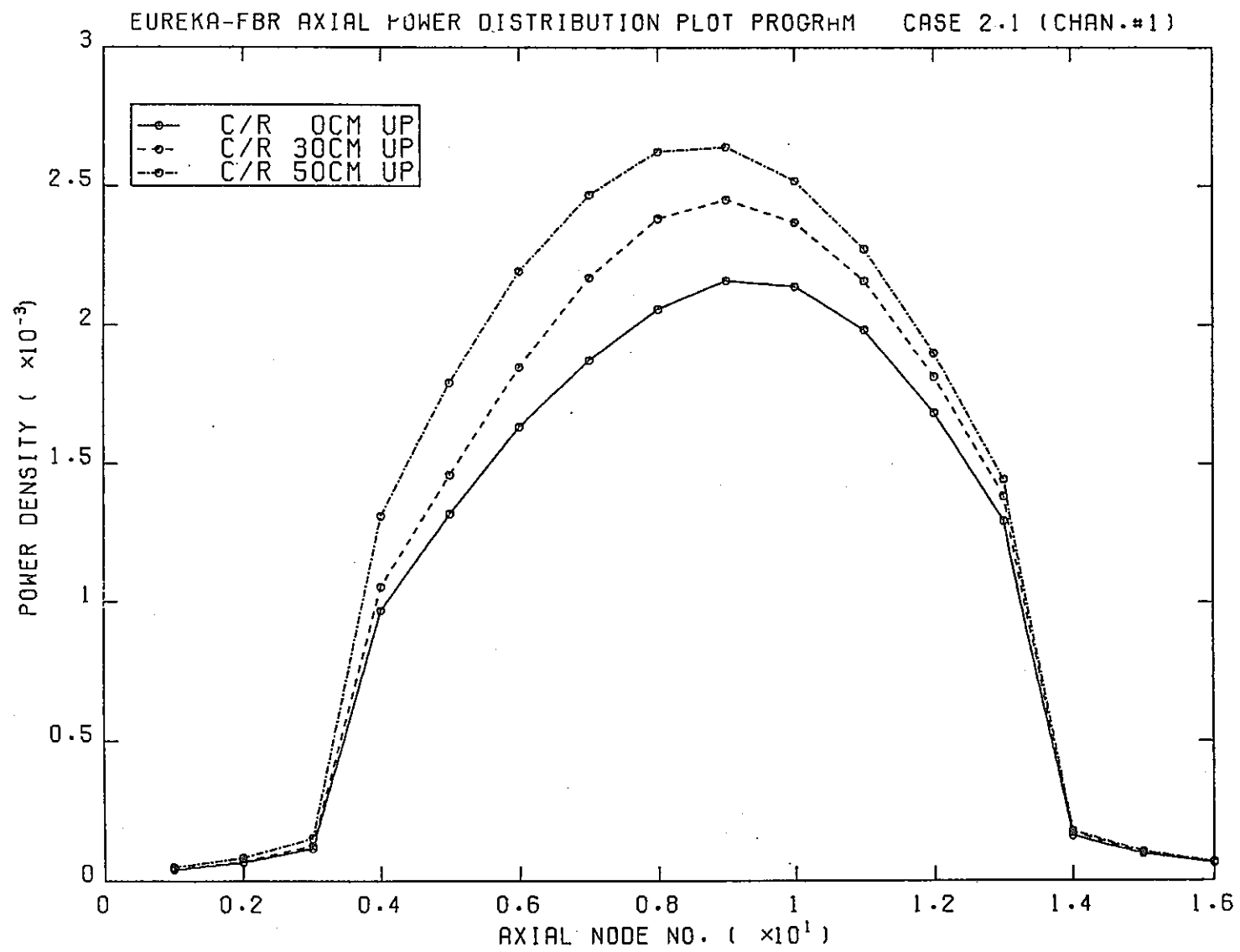


図6.9 チャンネル出力分布の時間変化

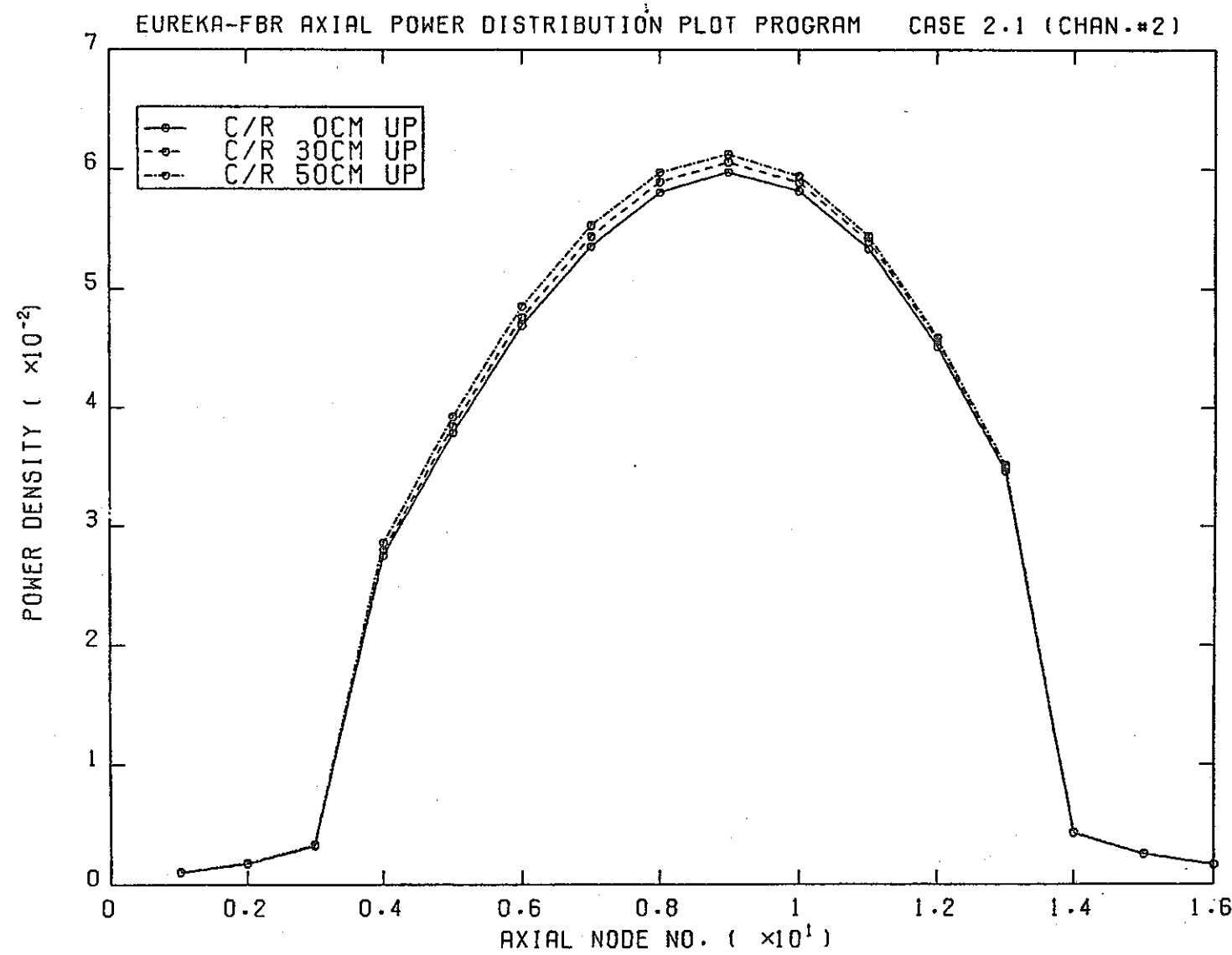


図6.10 チャンネル出力分布の時間変化

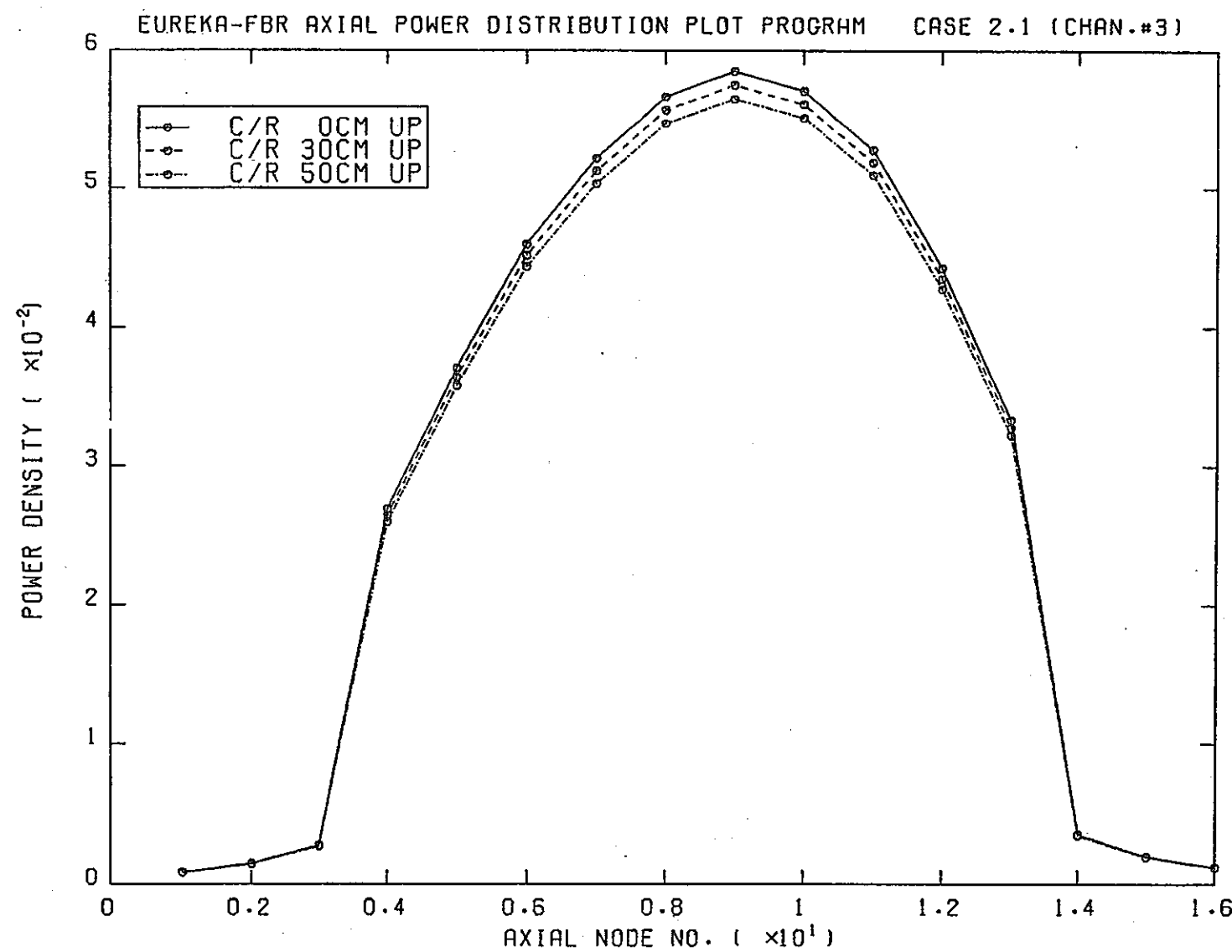


図6.11 チャンネル出力分布の時間変化

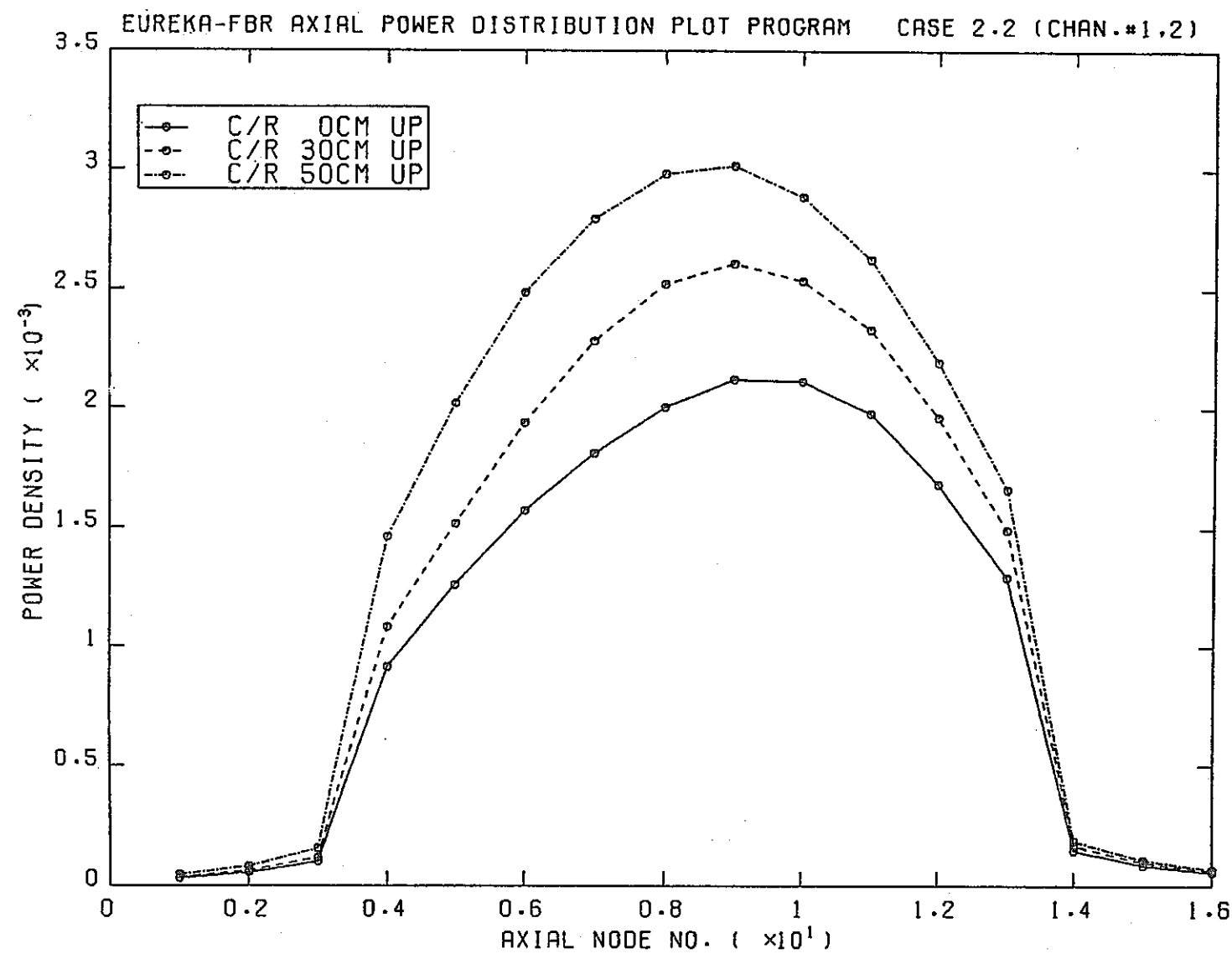


図6.12 チャンネル出力分布の時間変化

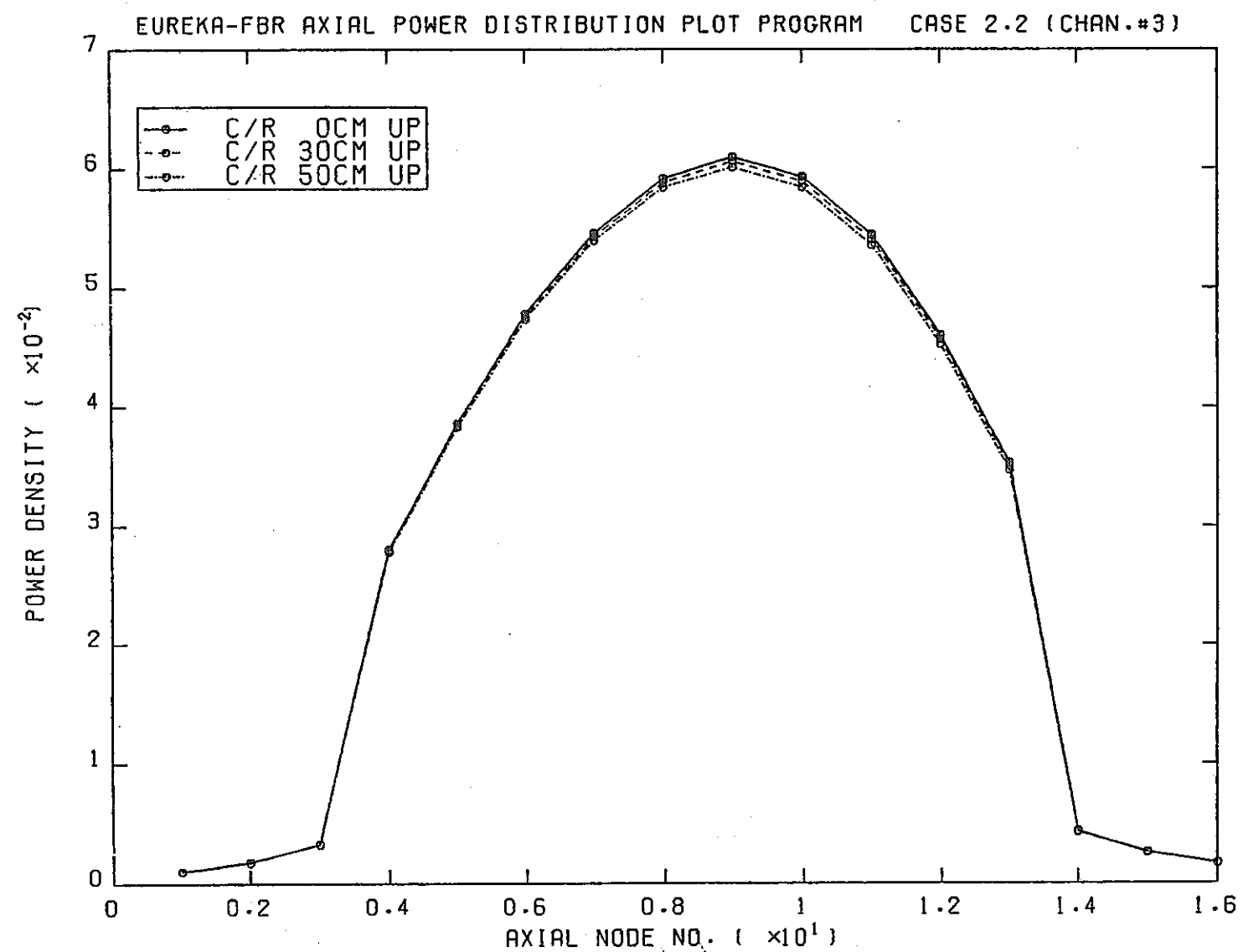


図6.13 チャンネル出力分布の時間変化

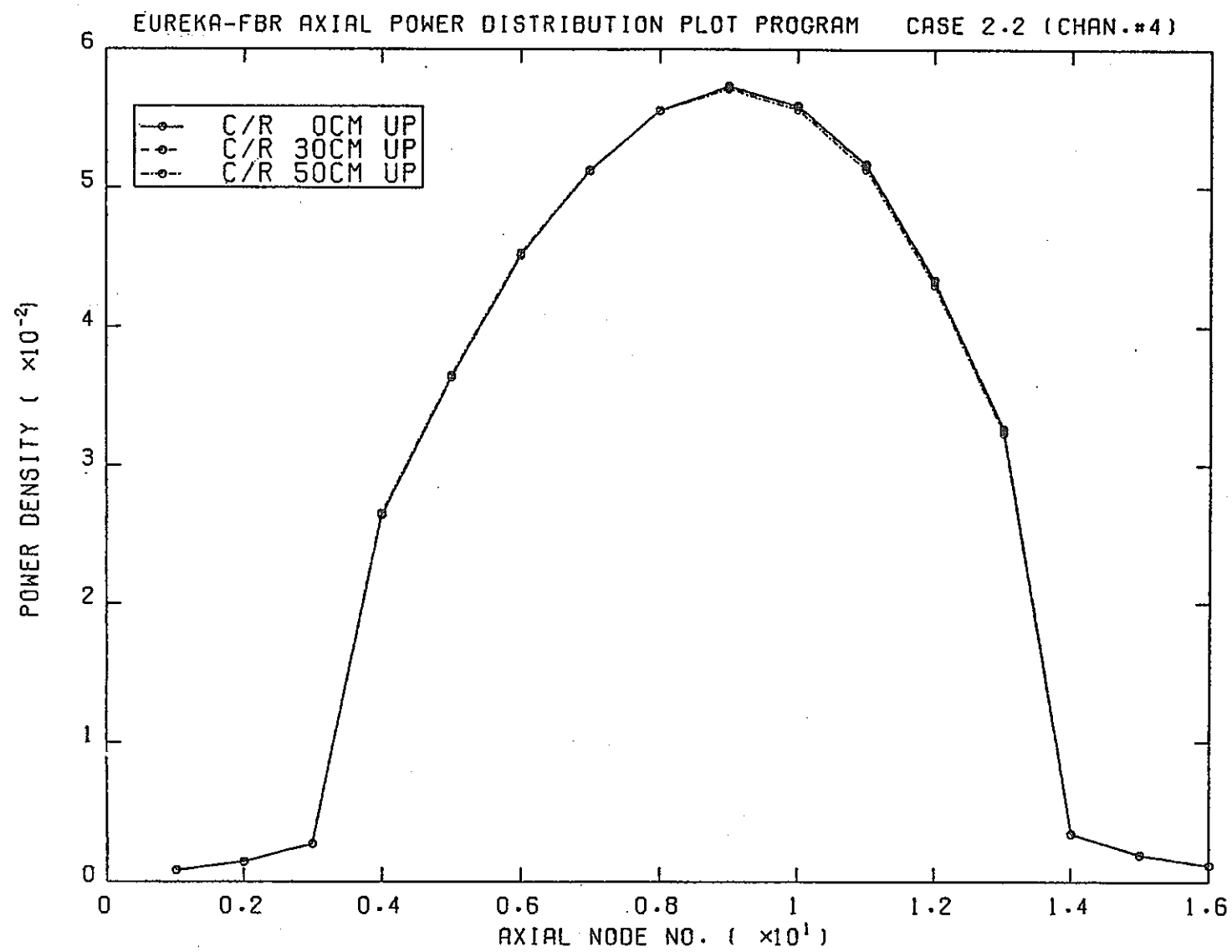


図6.14 チャンネル出力分布の時間変化

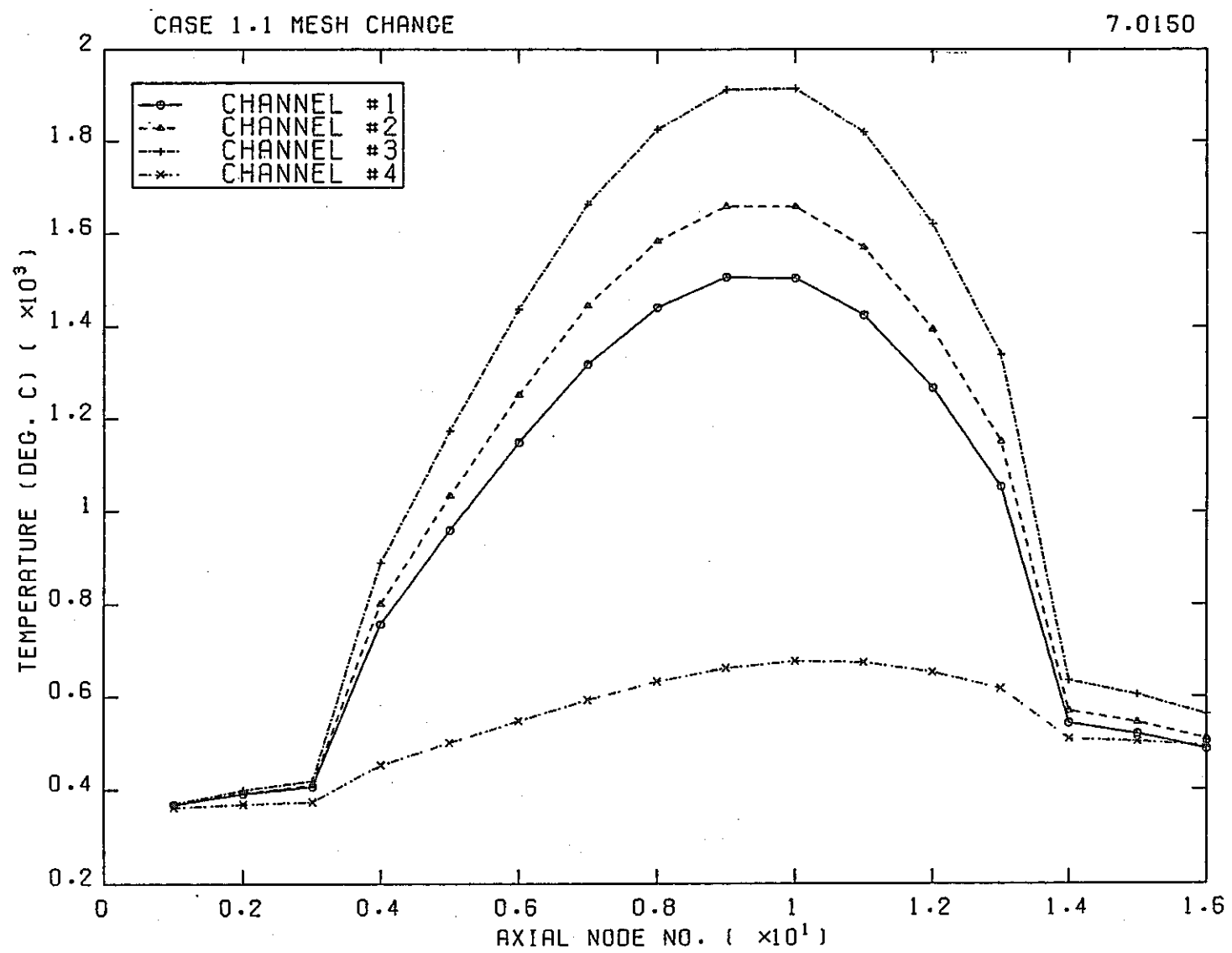


図6.15 燃料中心軸方向温度分布（スクラム投入時）

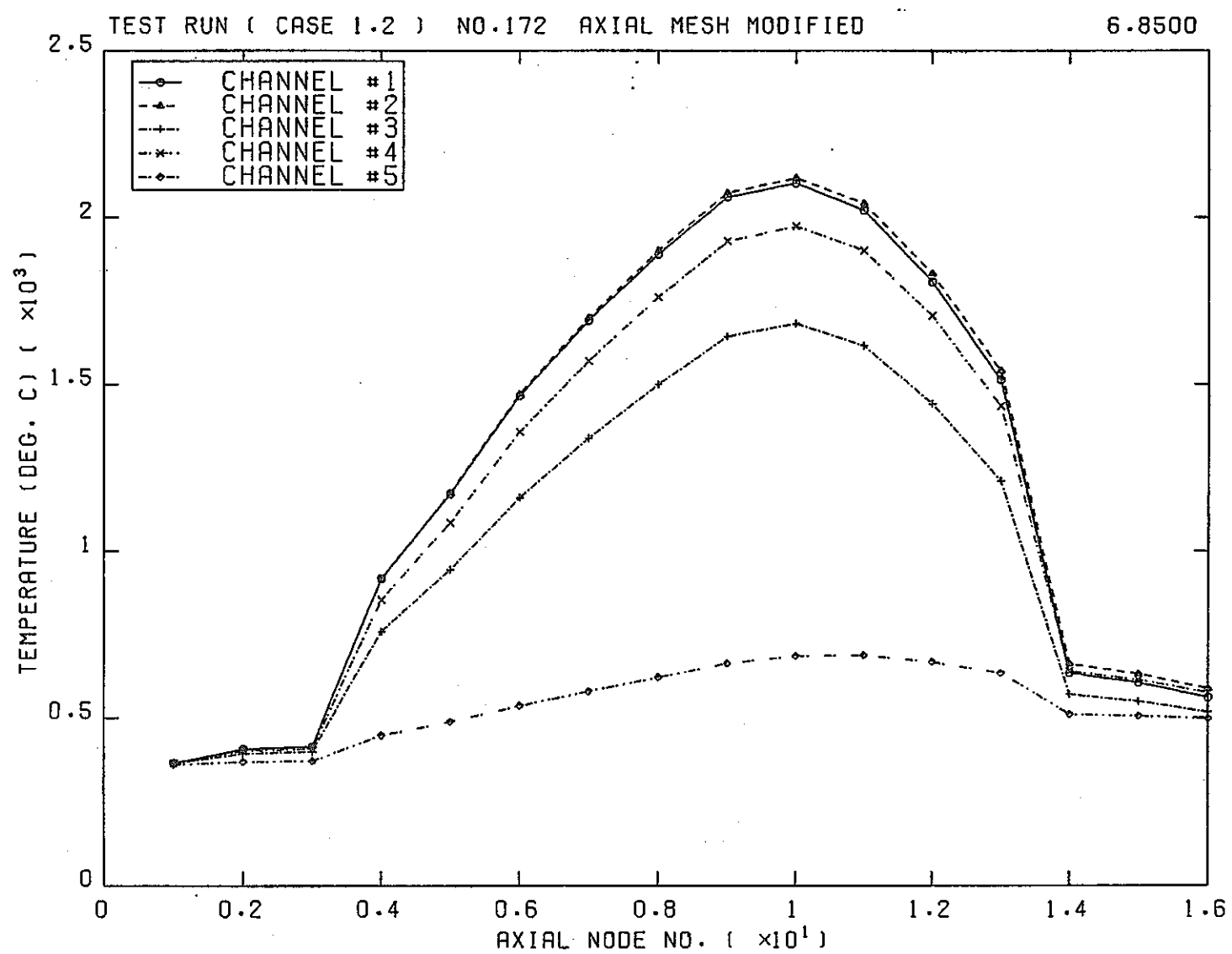


図6.16 燃料中心軸方向温度分布（スクラム投入時）

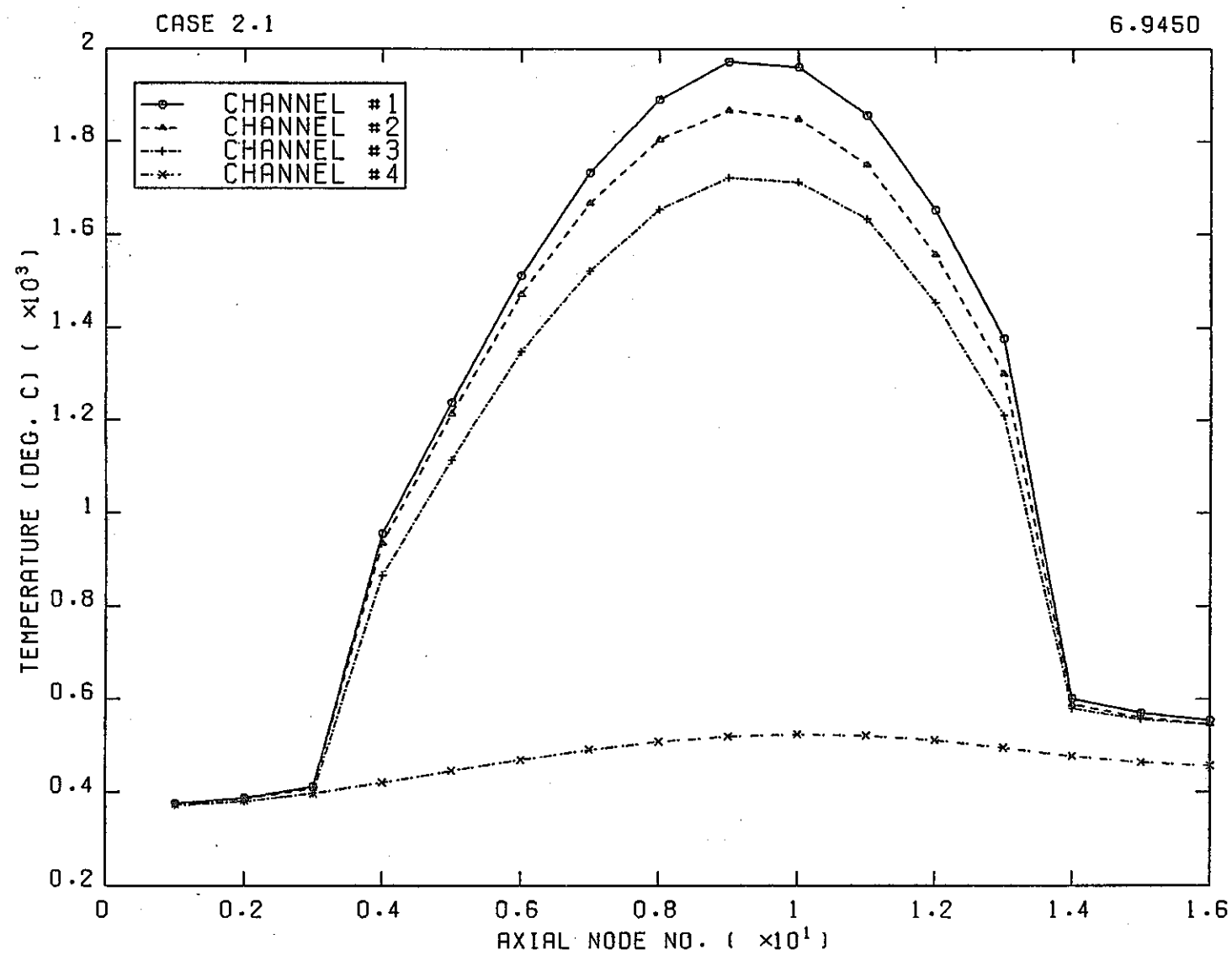


図6.17 燃料中心軸方向温度分布（スクラム投入時）

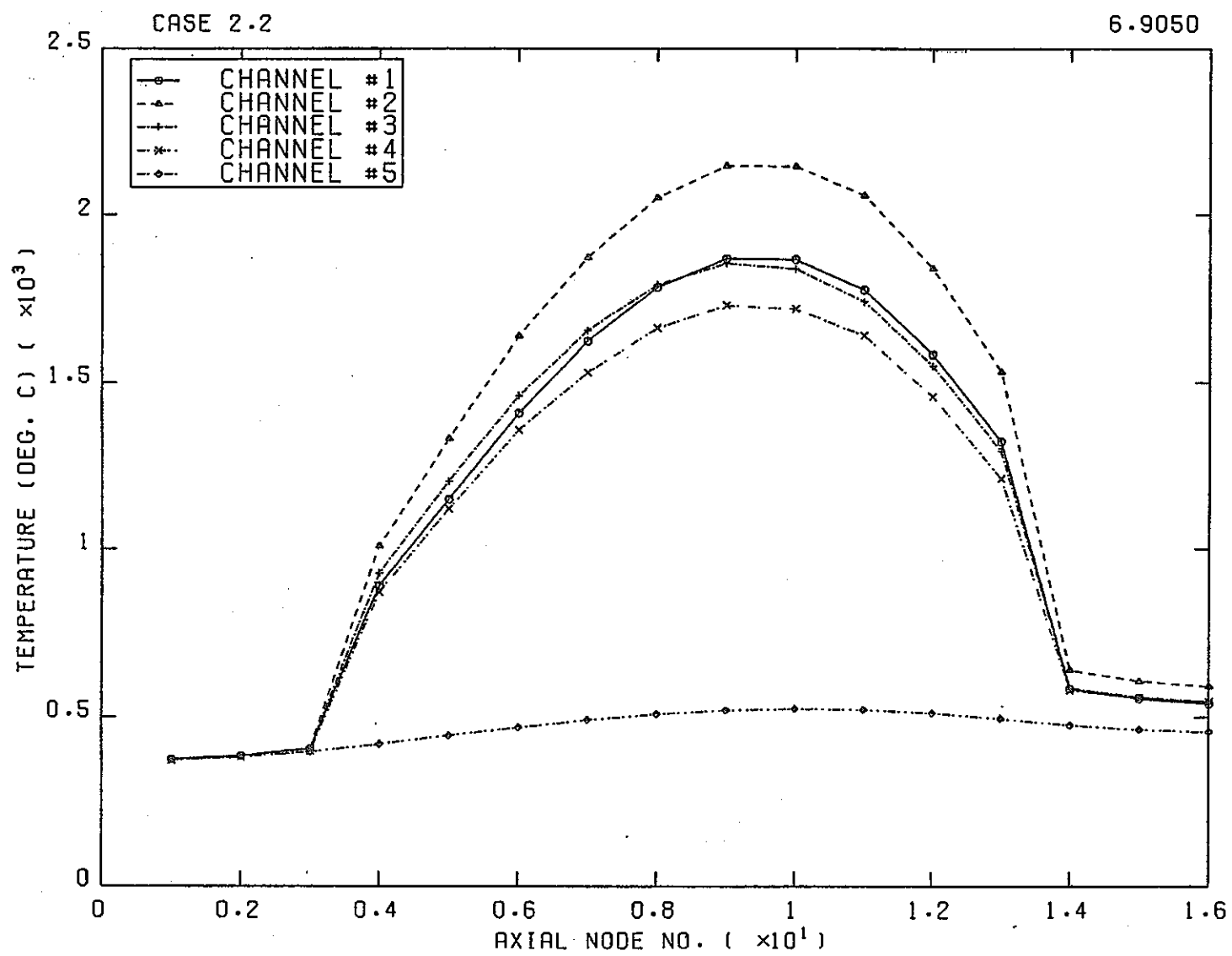


図6.18 燃料中心軸方向温度分布（スクラム投入時）

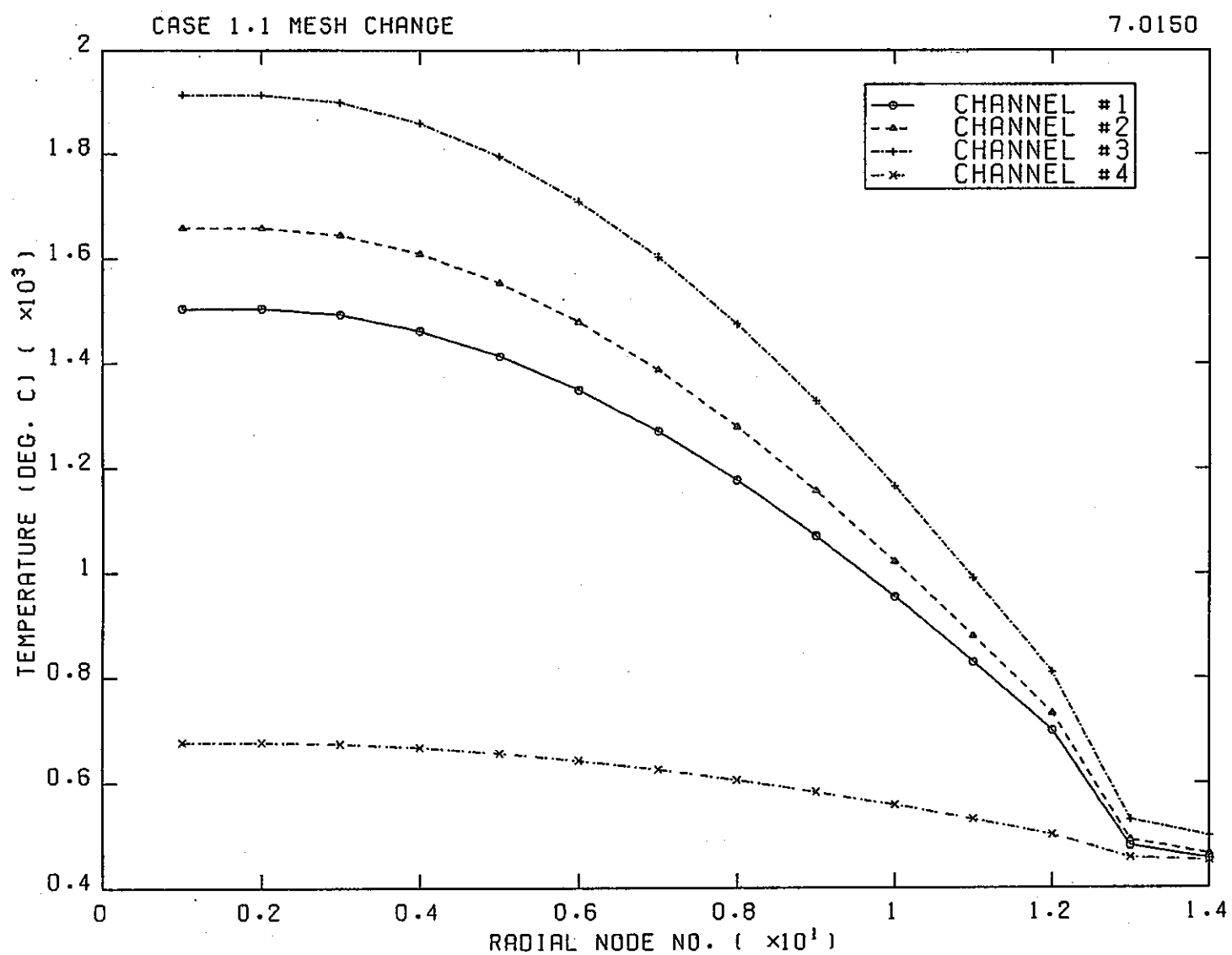


図6.19 燃料セル内径方向温度分布（スクラム投入時）

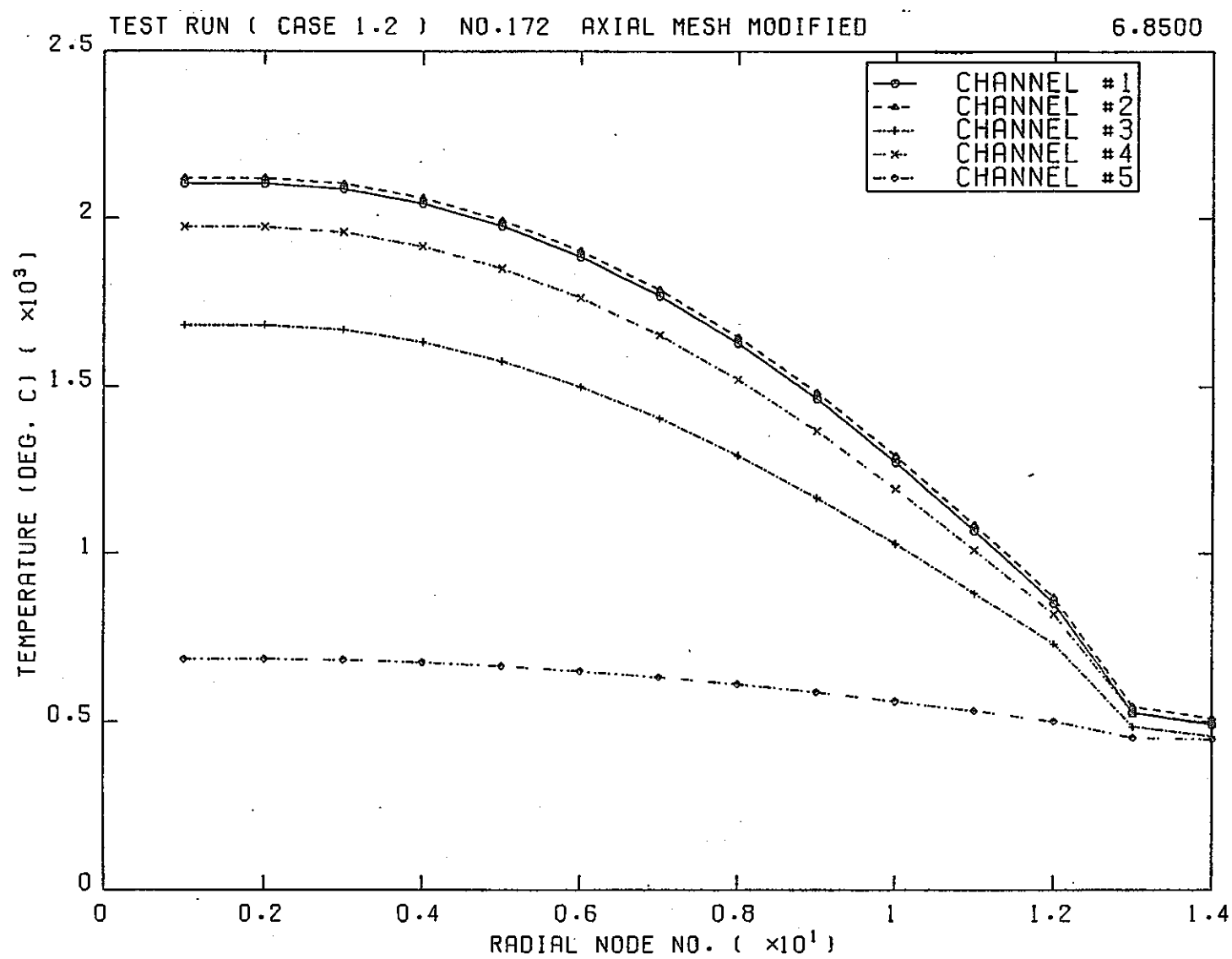


図6.20 燃料セル内径方向温度分布（スクラム投入時）

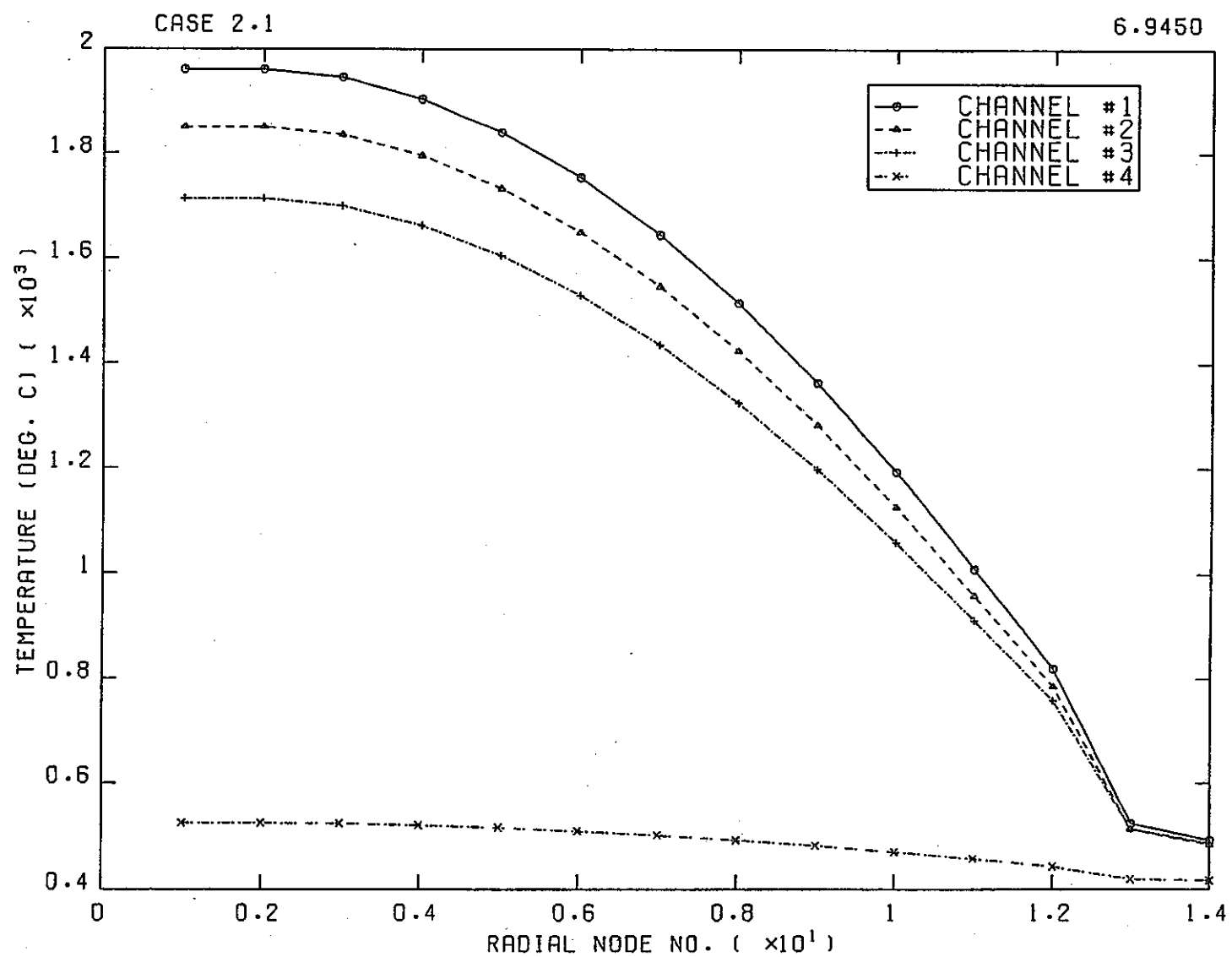


図6.21 燃料セル内径方向温度分布（スクラム投入時）

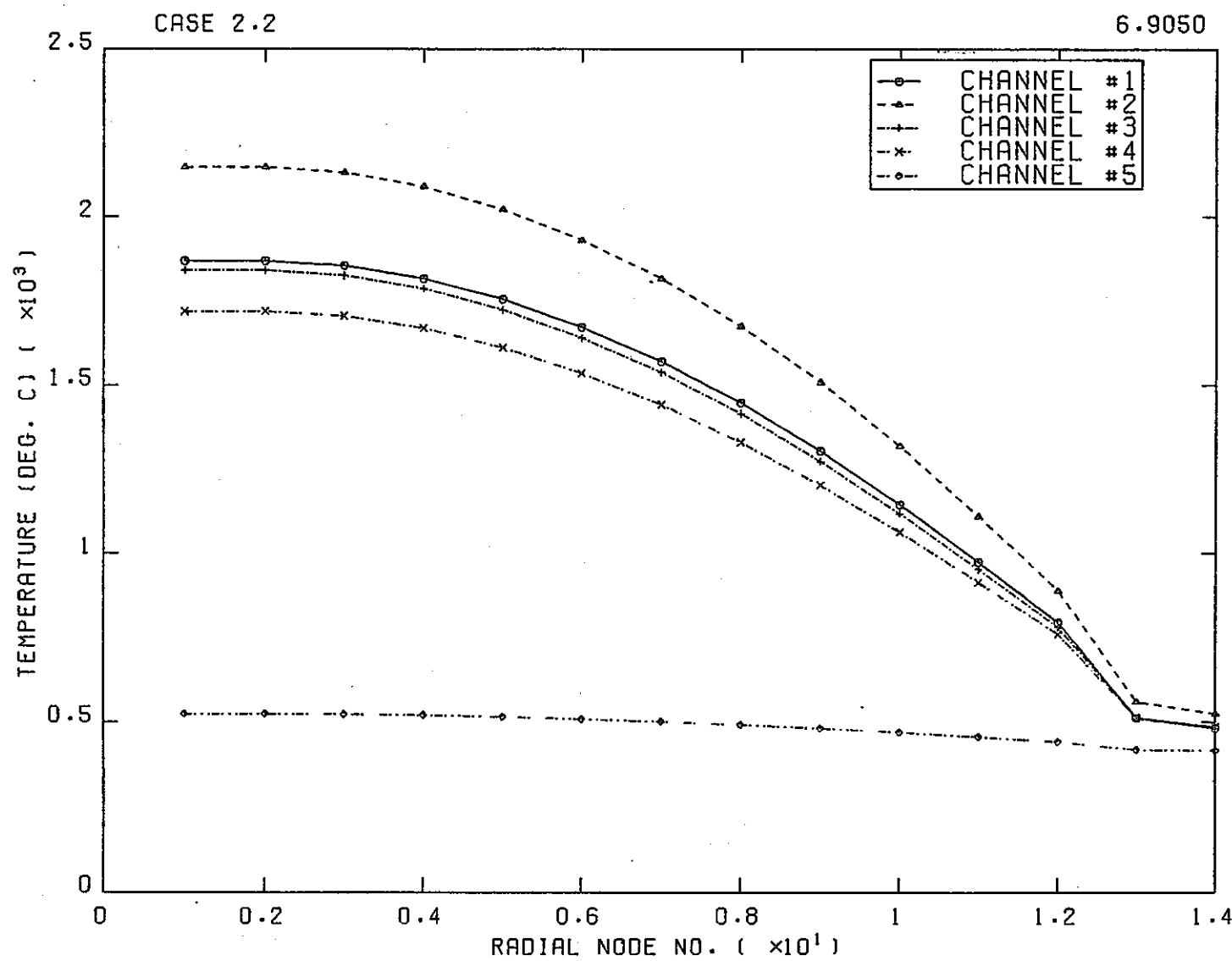


図6.22 燃料セル内径方向温度分布（スクラム投入時）

表6.10 スクラム時フィードバック反応度比較

項 目	計 算 ケ ー ス			
	1 . 1	1 . 2	2 . 1	2 . 2
スクラム時間(sec)	7 . 0 2	6 . 8 6	6 . 9 5	6 . 9 1
燃料最高温度(℃)	1 9 1 4	2 1 2 0	1 9 7 3	2 1 4 7
フイードバック反応度	$-1.198 \times 10^{-1}$	$-1.124 \times 10^{-1}$	$-1.195 \times 10^{-1}$	$-1.161 \times 10^{-1}$
燃料	$-4.052 \times 10^{-2}$	$-4.068 \times 10^{-2}$	$-3.980 \times 10^{-2}$	$-4.094 \times 10^{-2}$
被覆管	$3.814 \times 10^{-3}$	$3.490 \times 10^{-3}$	$4.114 \times 10^{-3}$	$3.946 \times 10^{-3}$
冷却材	$1.031 \times 10^{-2}$	$9.355 \times 10^{-3}$	$1.124 \times 10^{-2}$	$1.076 \times 10^{-3}$
バルブ管	$1.269 \times 10^{-3}$	$1.164 \times 10^{-3}$	$1.369 \times 10^{-3}$	$1.322 \times 10^{-3}$
計	$-1.449 \times 10^{-1}$	$-1.391 \times 10^{-1}$	$-1.425 \times 10^{-1}$	$-1.410 \times 10^{-1}$

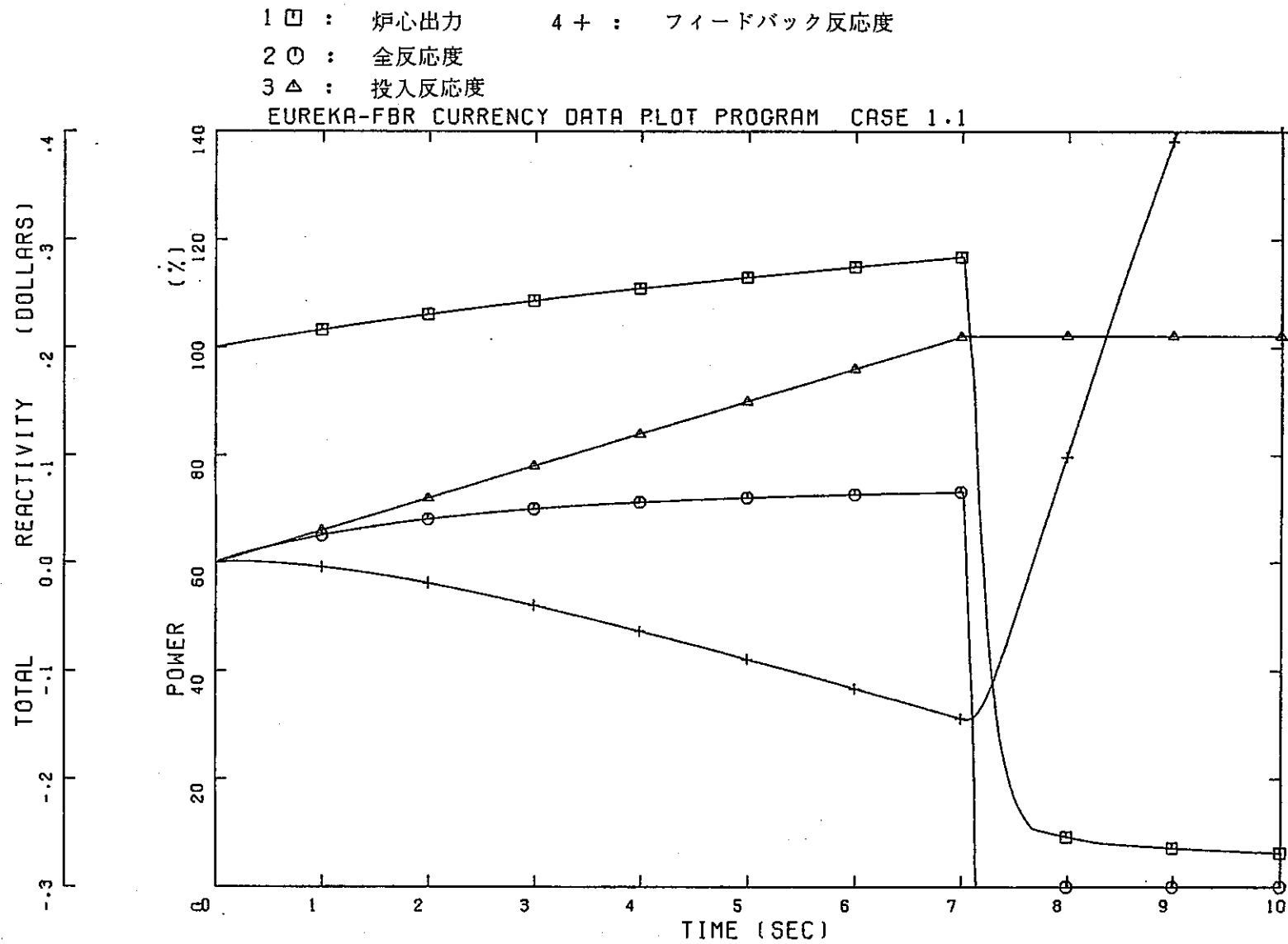


図6.23 時系列データ（出力・反応度）

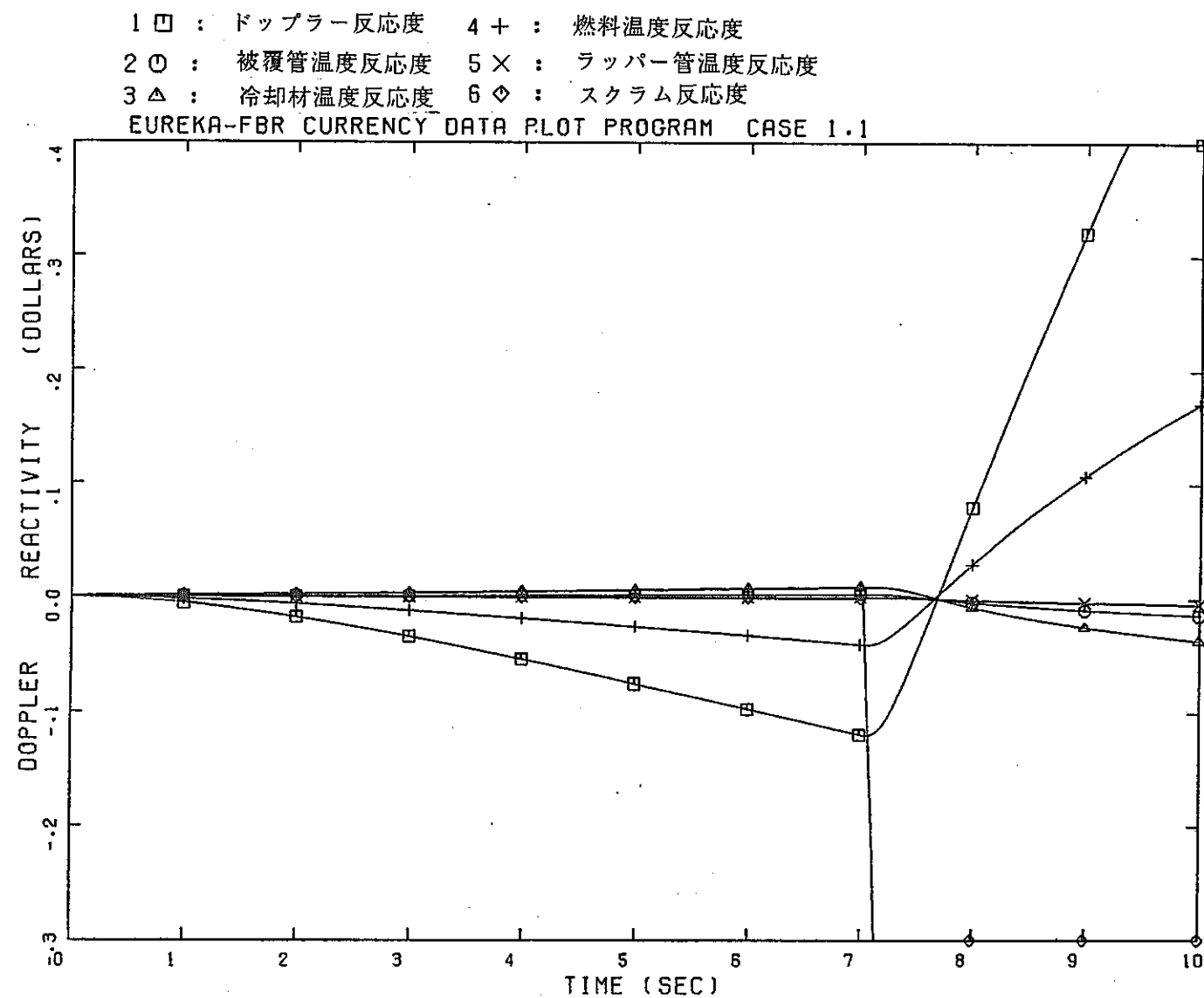


図6.24 時系列データ（フィードバック反応度）

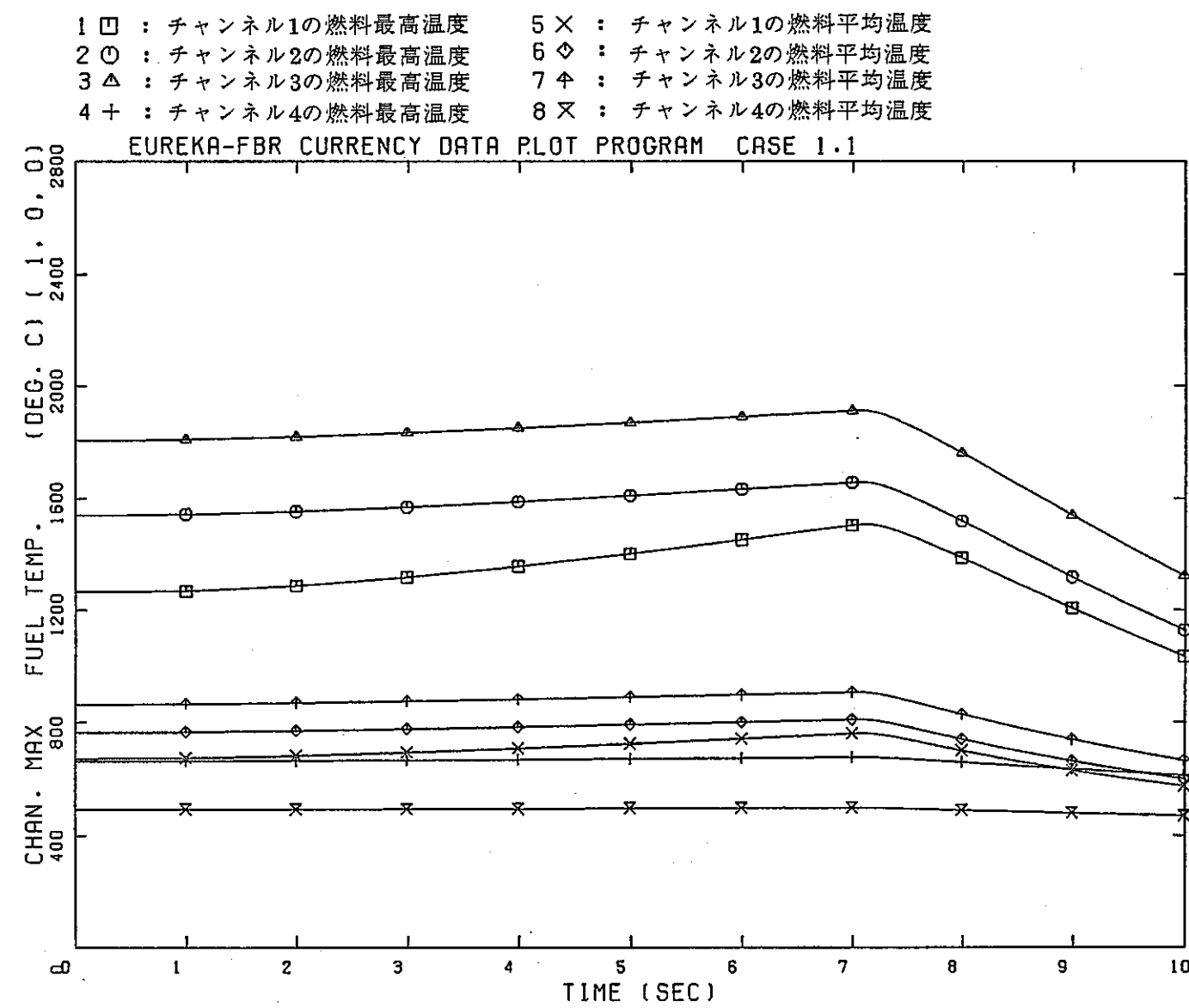


図6.25 時系列データ（燃料最高・平均温度）

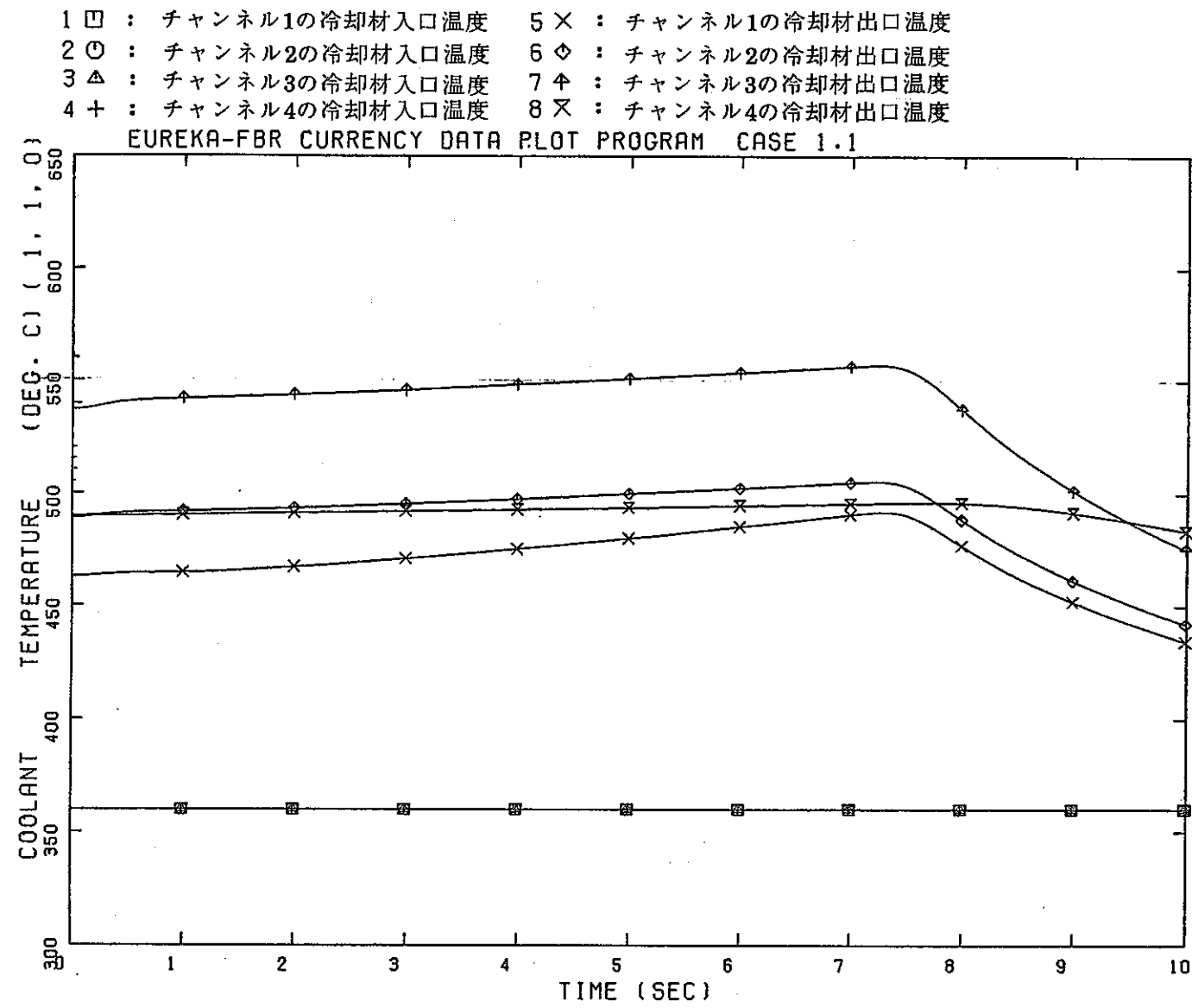


図6.26 時系列データ(冷却材出入口温度)

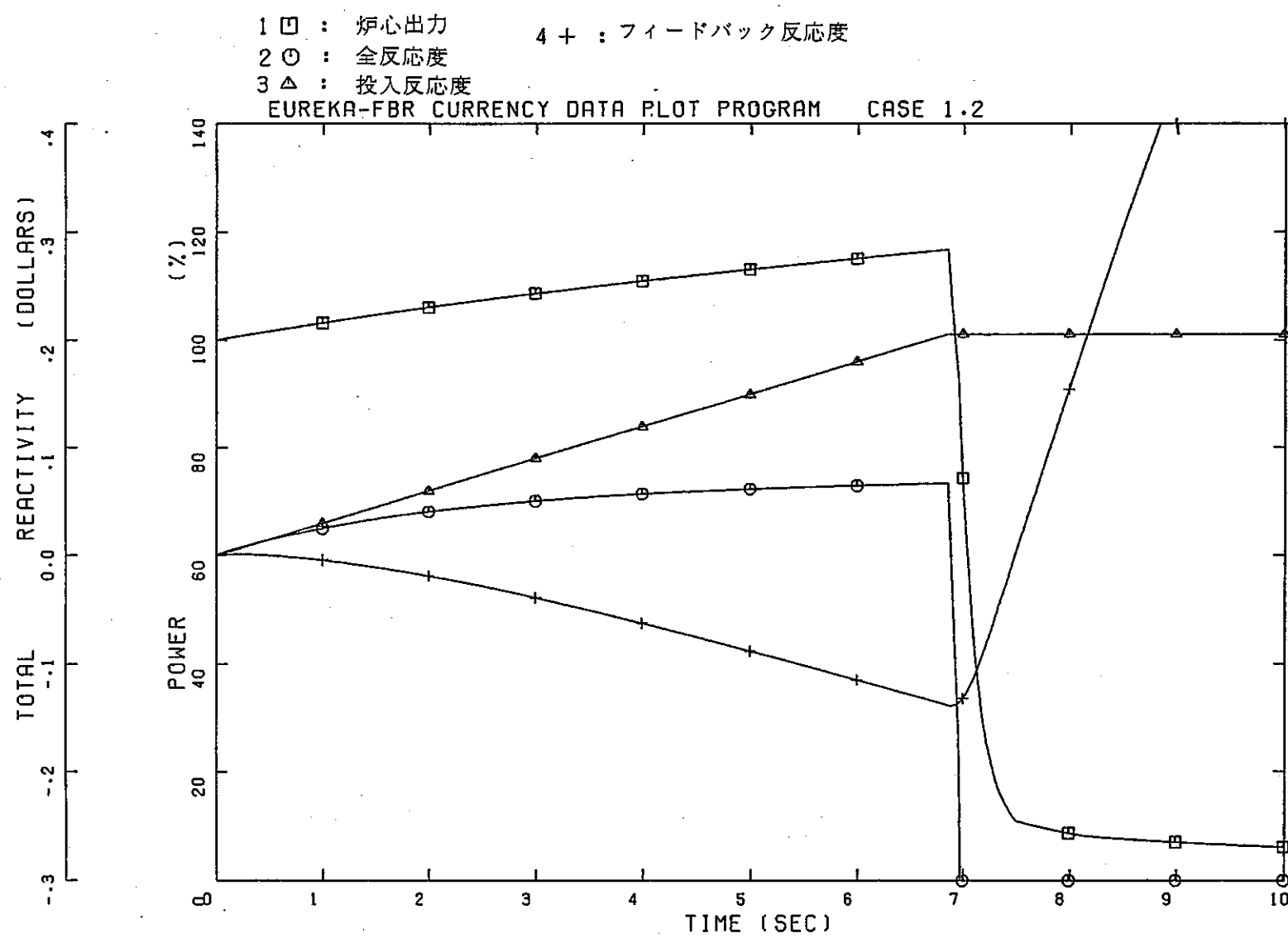


図6.27 時系列データ（出力・反応度）

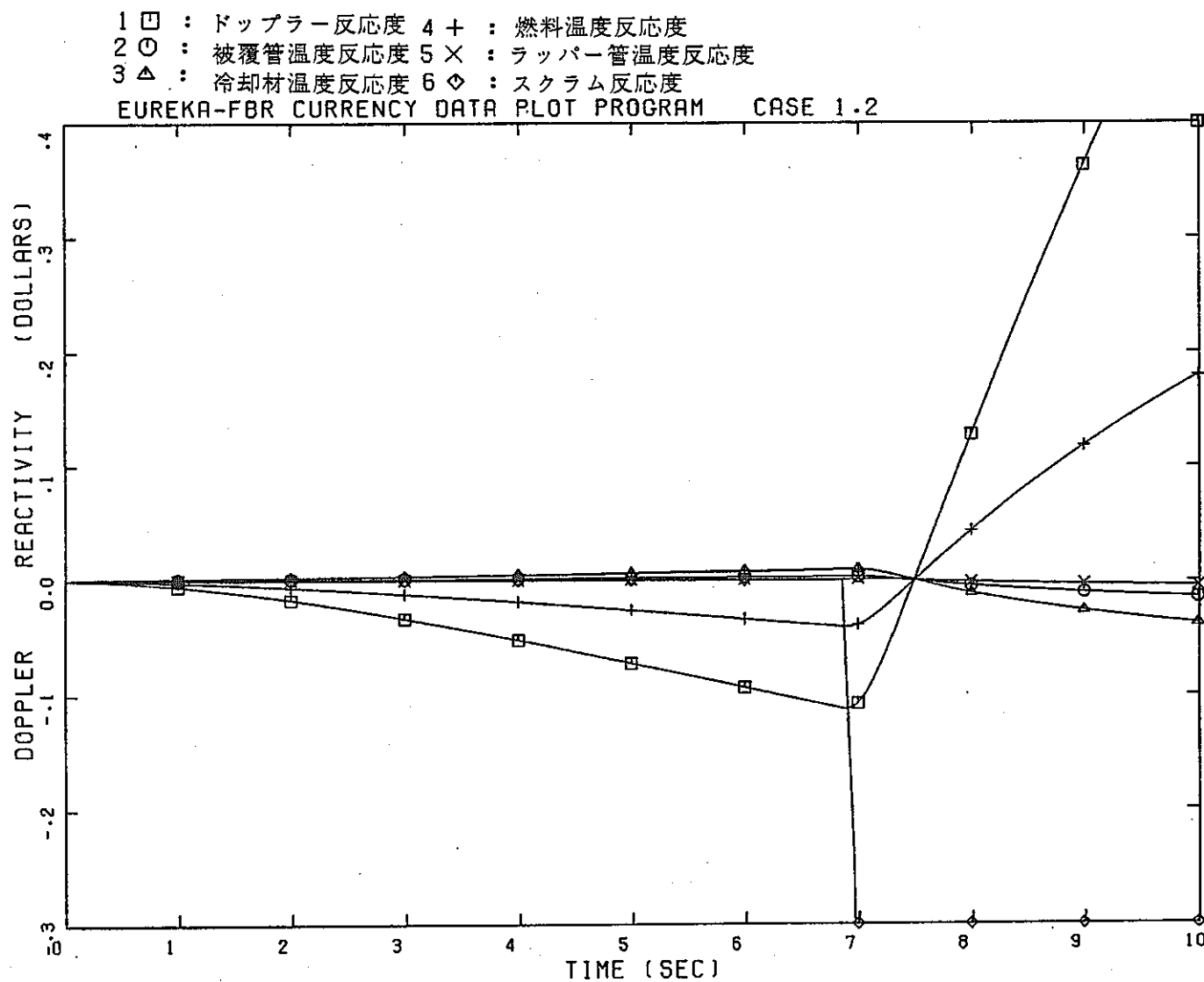


図6.28 時系列データ（フィードバック反応度）

- 1 □ : チャンネル1の燃料最高温度 5 × : チャンネル5の燃料最高温度 9 ↗ : チャンネル4の燃料平均温度  
 2 ◎ : チャンネル2の燃料最高温度 6 ◆ : チャンネル1の燃料平均温度 10 Y : チャンネル5の燃料平均温度  
 3 △ : チャンネル3の燃料最高温度 7 ↘ : チャンネル2の燃料平均温度  
 4 + : チャンネル4の燃料最高温度 8 × : チャンネル3の燃料平均温度

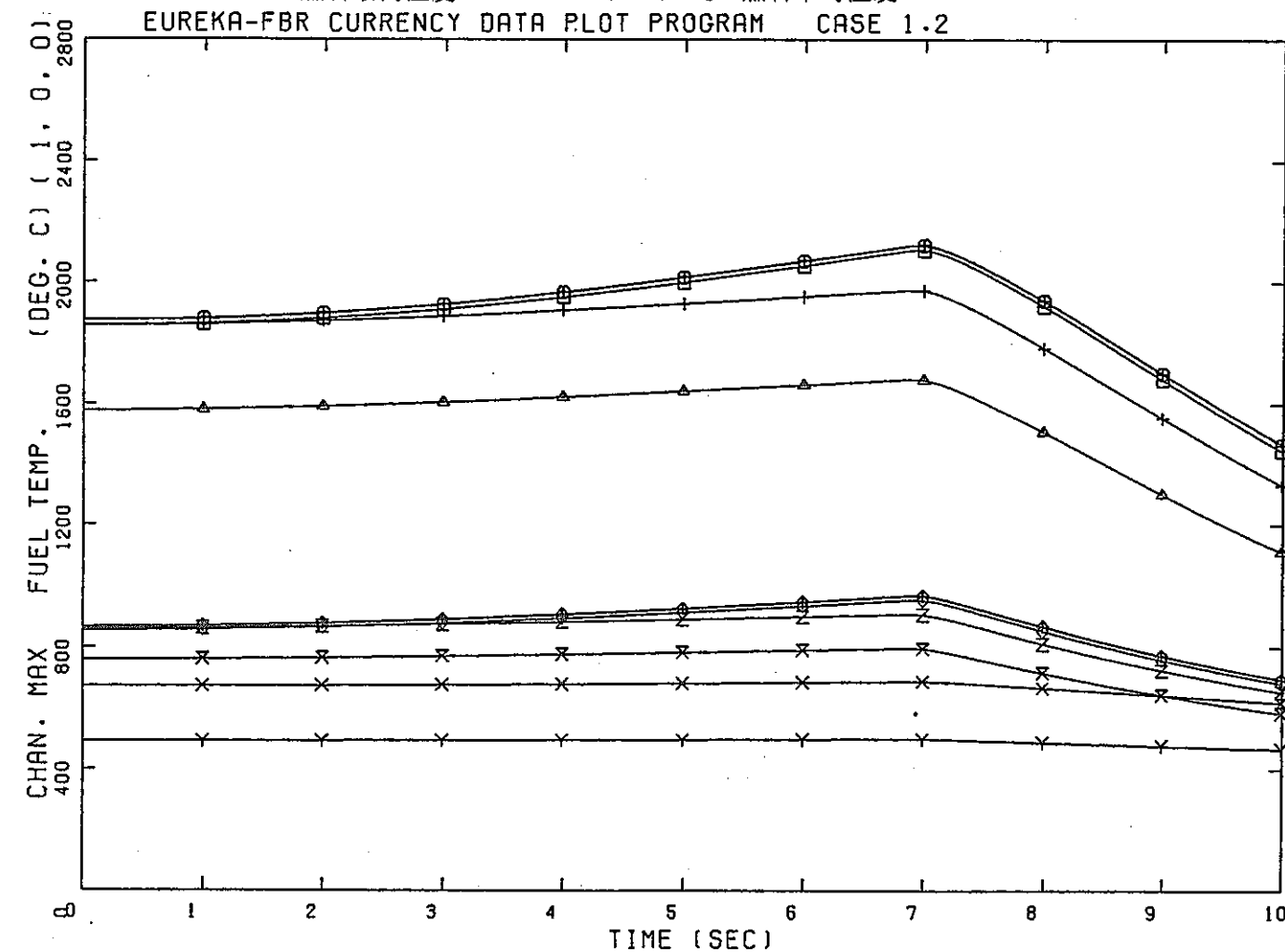


図6.29 時系列データ（燃料最高・平均温度）

1 □ : チャンネル1の冷却材入口温度 5 × : チャンネル5の冷却材入口温度 9 Z : チャンネル4の冷却材出口温度  
 2 ○ : チャンネル2の冷却材入口温度 6 ◇ : チャンネル1の冷却材出口温度 10 Y : チャンネル5の冷却材出口温度  
 3 △ : チャンネル3の冷却材入口温度 7 ▲ : チャンネル2の冷却材入口温度  
 4 + : チャンネル4の冷却材入口温度 8 × : チャンネル3の冷却材出口温度

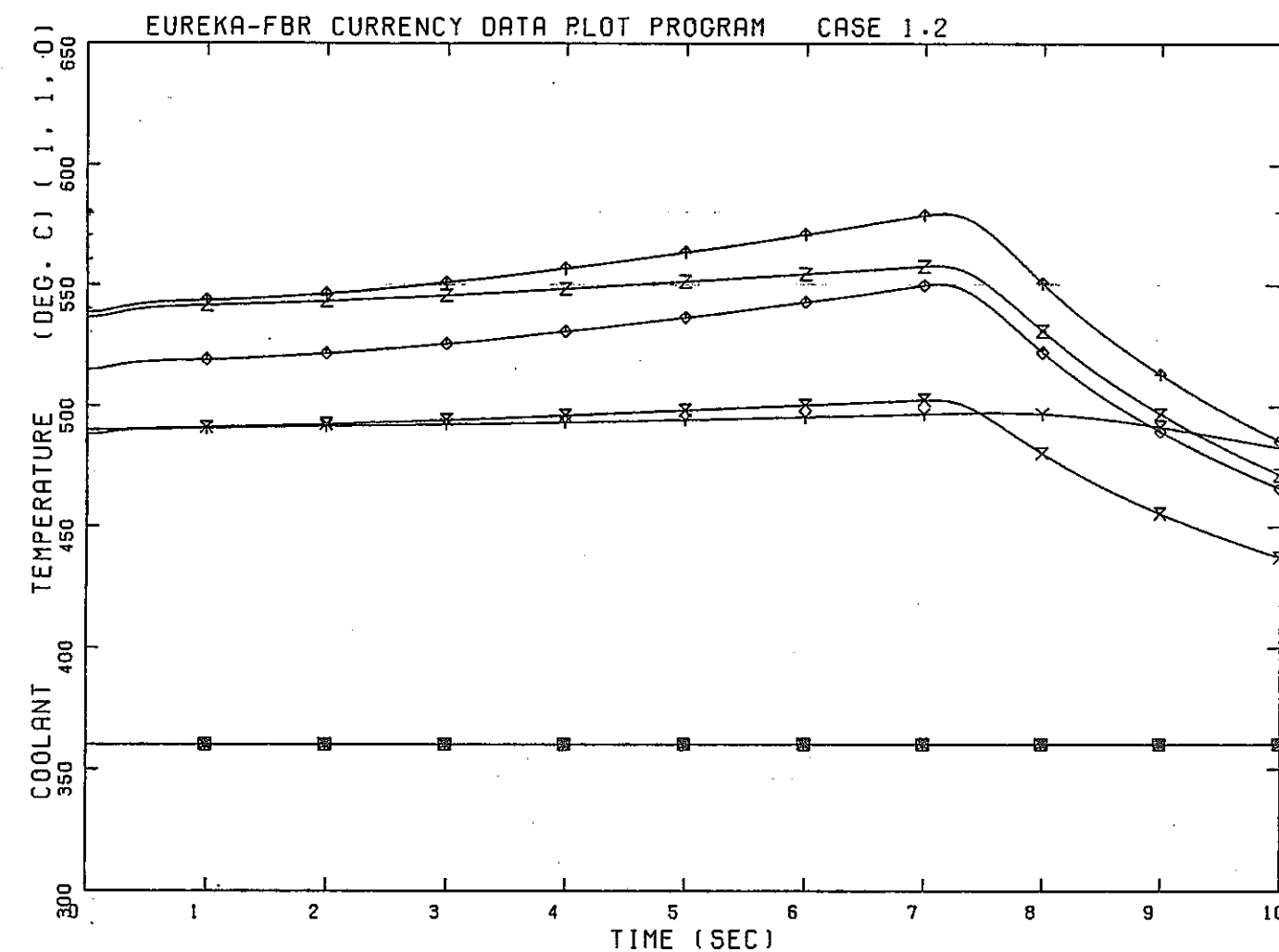


図6.30 時系列データ（冷却材出入口温度）

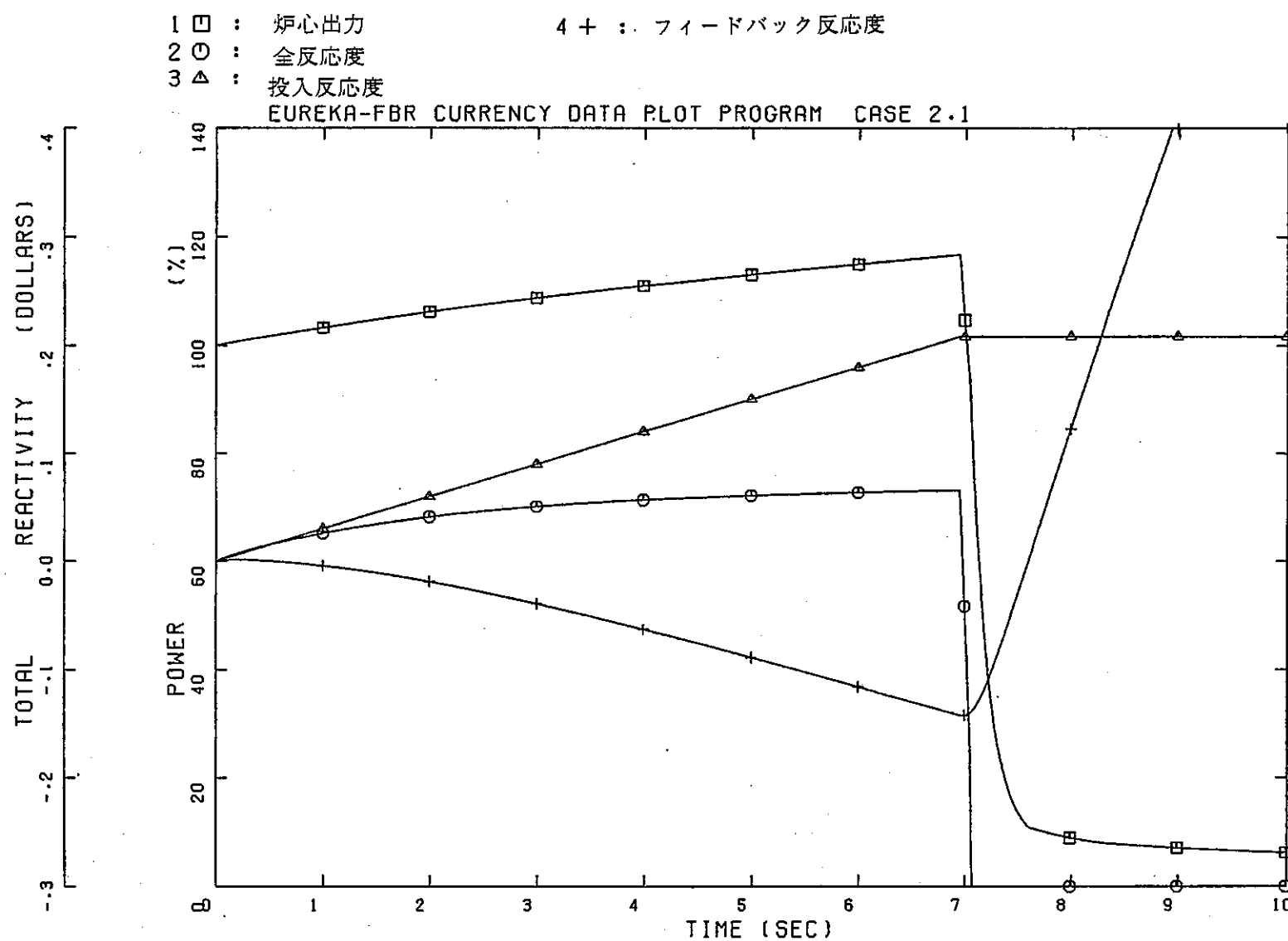


図6.31 時系列データ（出力・反応度）

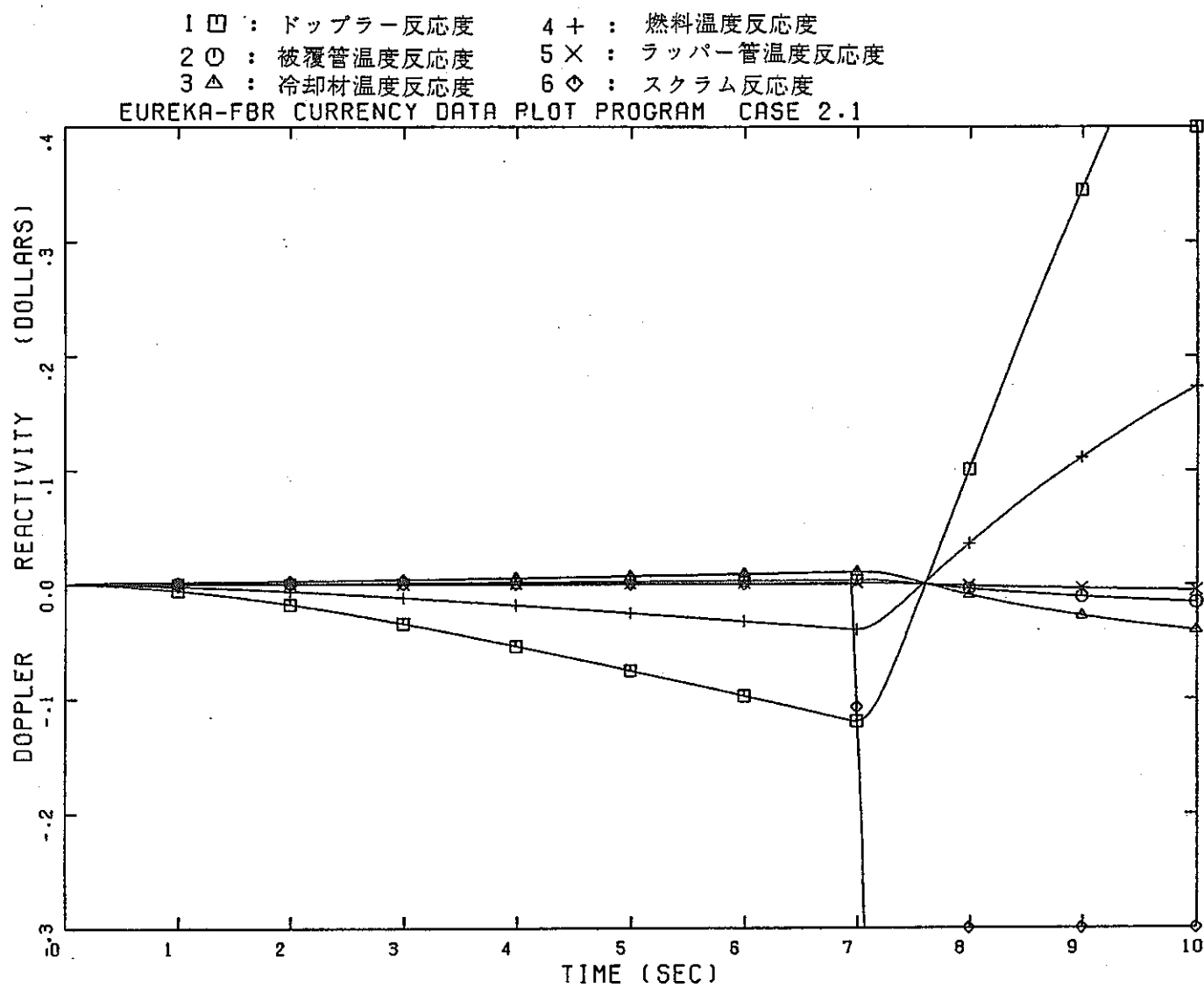


図6.32 時系列データ（フィードバック反応度）

1 □ : チャンネル1の燃料最高温度 4 + : チャンネル4の燃料最高温度 7 ◊ : チャンネル3の燃料平均温度  
 2 ◎ : チャンネル2の燃料最高温度 5 × : チャンネル1の燃料平均温度 8 × : チャンネル4の燃料平均温度  
 3 △ : チャンネル3の燃料最高温度 6 ◇ : チャンネル2の燃料平均温度  
 EUREKA-FBR CURRENCY DATA PLOT PROGRAM CASE 2.1

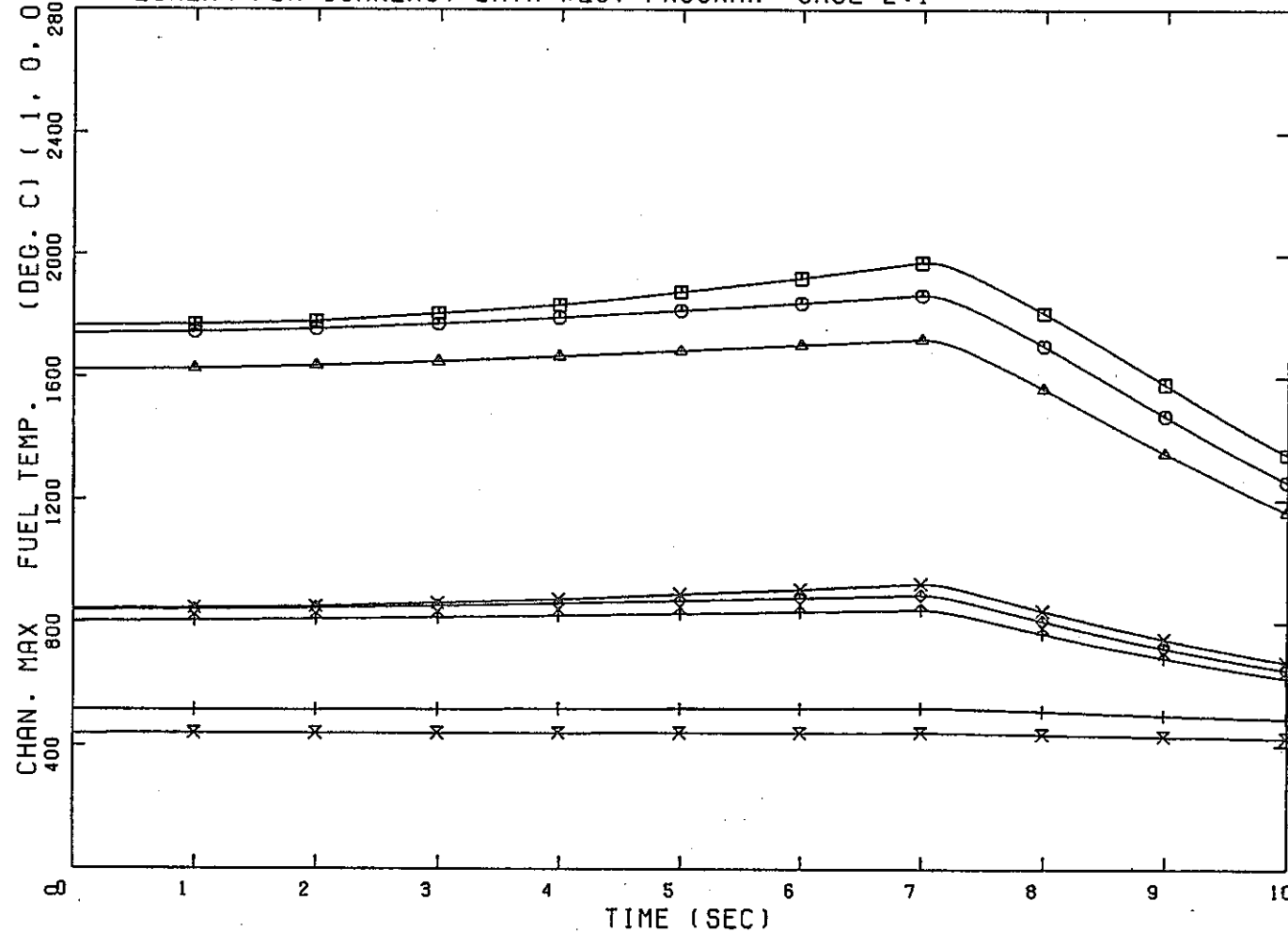


図6.33 時系列データ（燃料最高・平均温度）

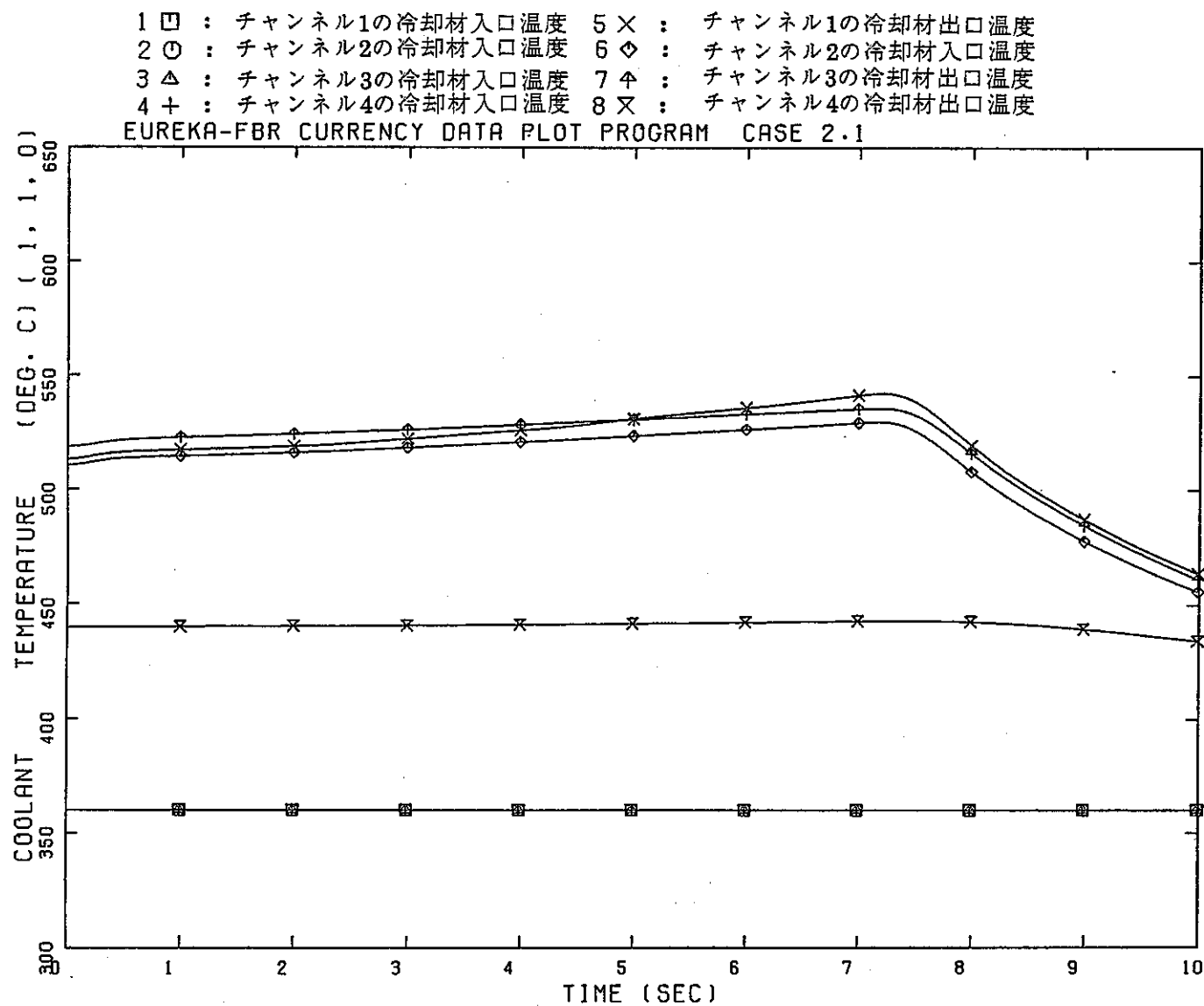


図6.34 時系列データ（冷却材出入口温度）

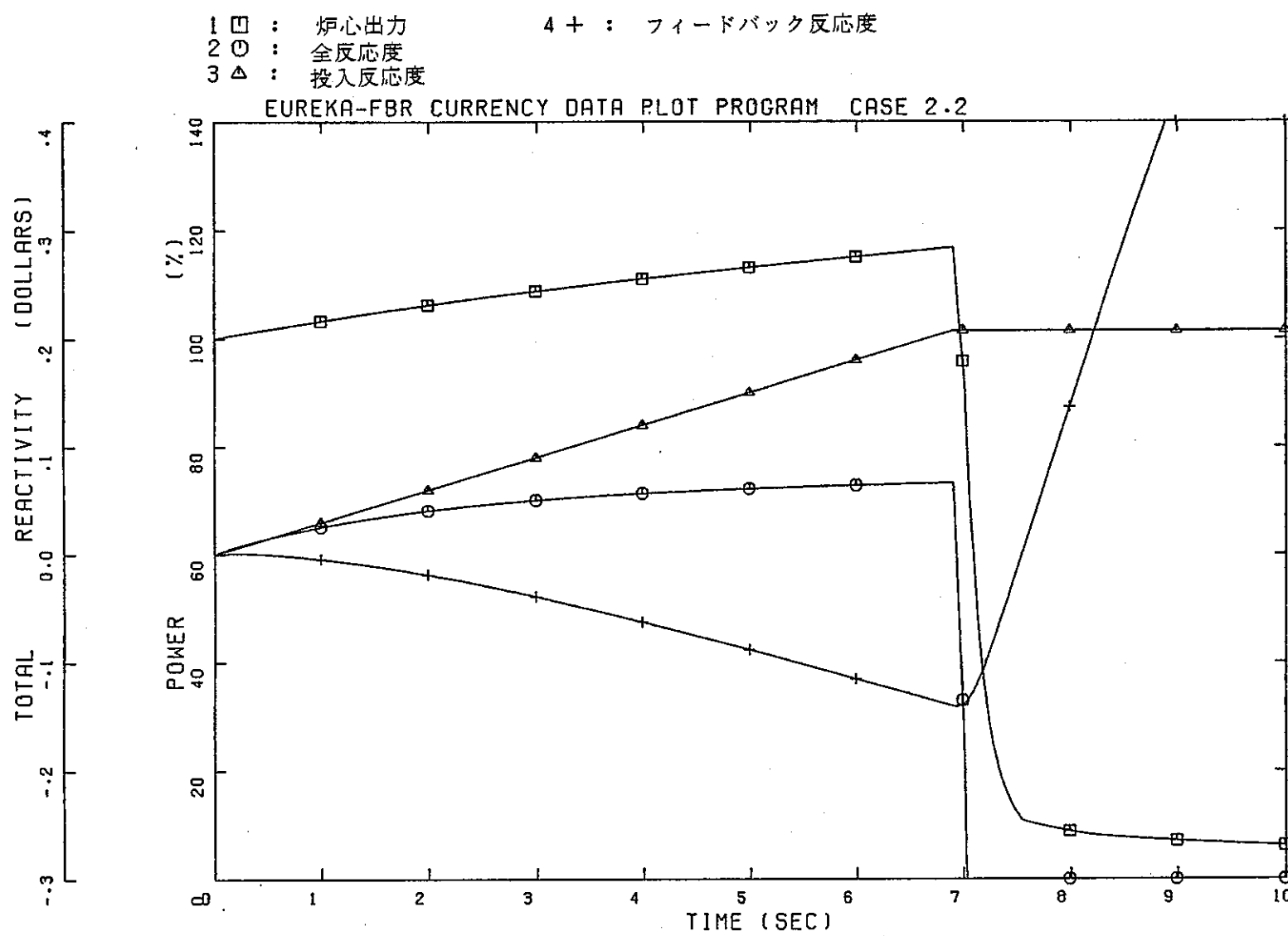


図6.35 時系列データ（出力・反応度）

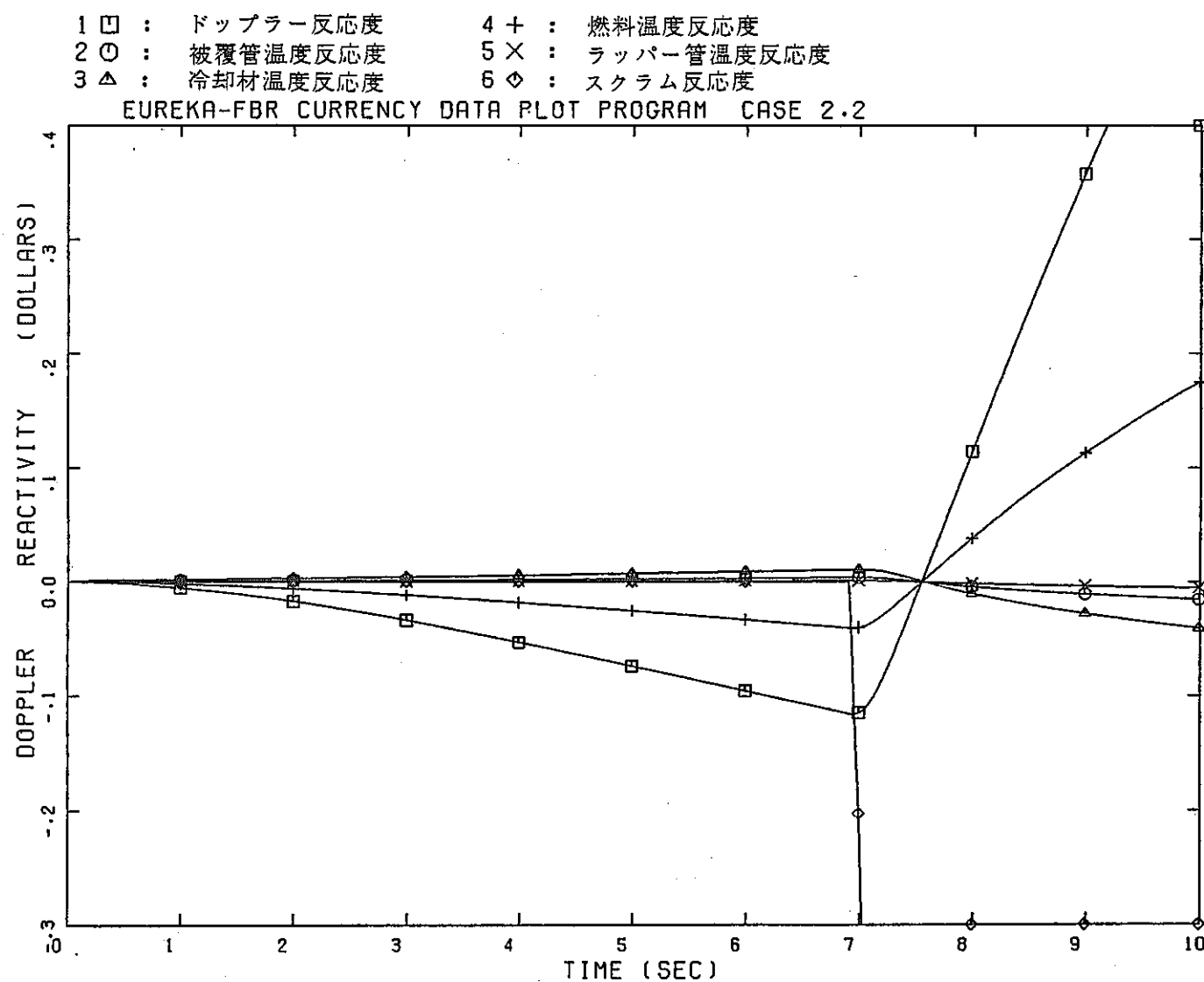


図6.36 時系列データ（フィードバック反応度）

1 □ : チャンネル1の燃料最高温度 5 × : チャンネル5の燃料最高温度 9 △ : チャンネル4の燃料平均温度  
 2 ○ : チャンネル2の燃料最高温度 6 ◇ : チャンネル1の燃料平均温度 10 Y : チャンネル5の燃料平均温度  
 3 ▲ : チャンネル3の燃料最高温度 7 + : チャンネル2の燃料平均温度  
 4 + : チャンネル4の燃料最高温度 8 × : チャンネル3の燃料平均温度

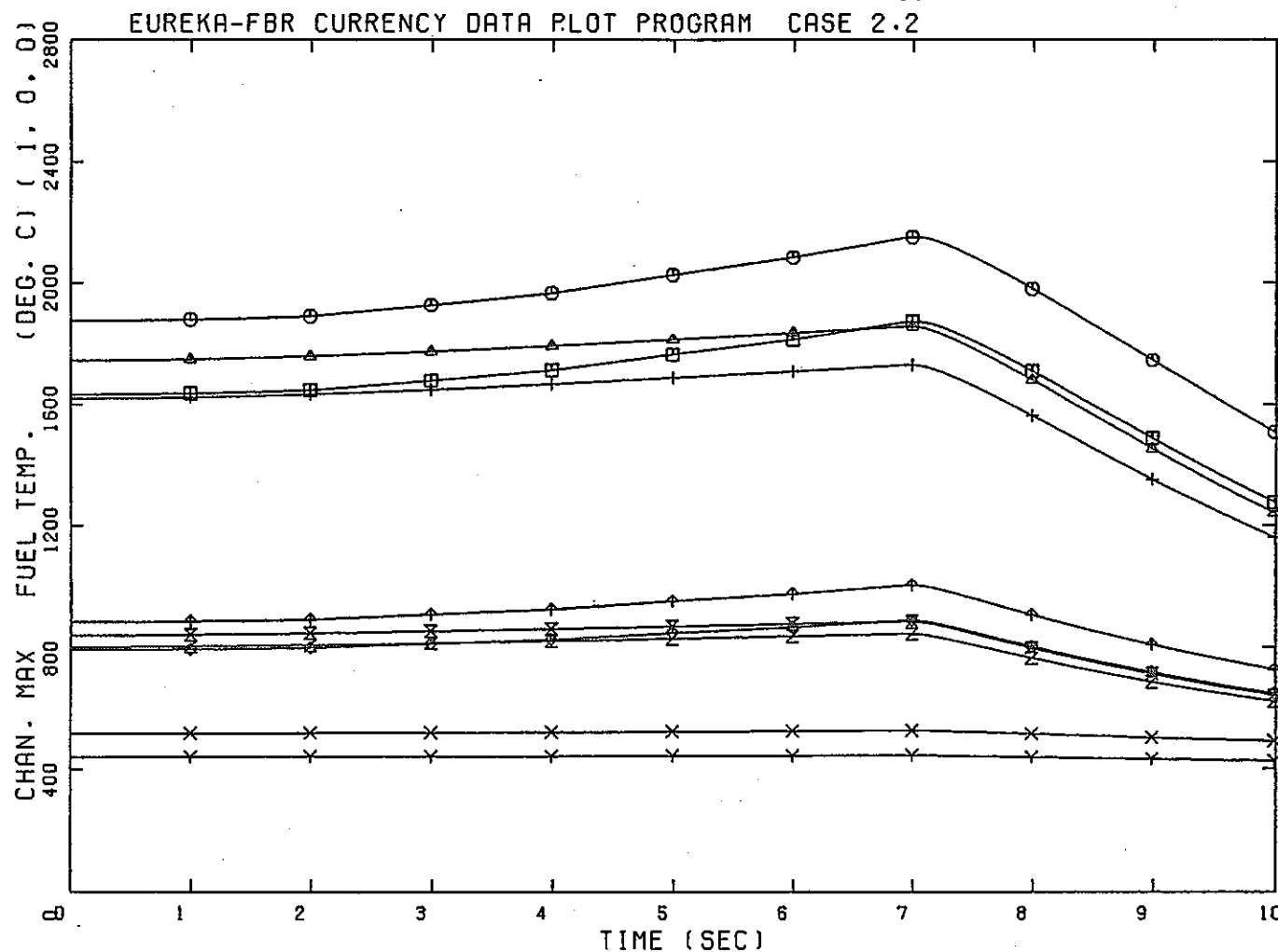


図6.37 時系列データ（燃料最高・平均温度）

1 □ : チャンネル1の冷却材入口温度 5 X : チャンネル5の冷却材入口温度 9 Σ : チャンネル4の冷却材出口温度  
 2 ○ : チャンネル2の冷却材入口温度 6 ◆ : チャンネル1の冷却材出口温度 10 Y : チャンネル5の冷却材出口温度  
 3 ▲ : チャンネル3の冷却材入口温度 7 ♦ : チャンネル2の冷却材入口温度  
 4 + : チャンネル4の冷却材入口温度 8 × : チャンネル3の冷却材出口温度

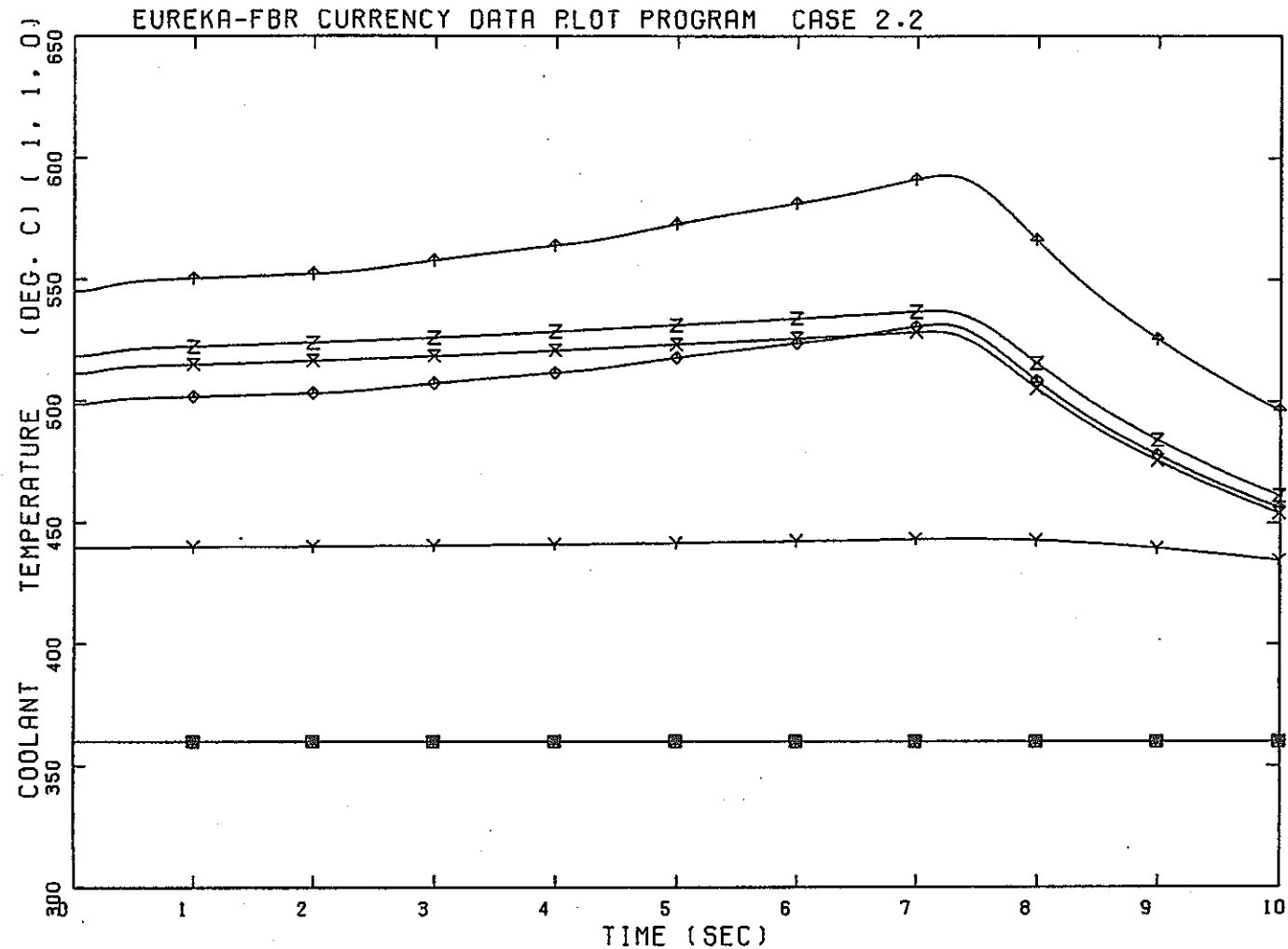


図6.38 時系列データ（冷却材出入口温度）

文献

- (1) 1969年6月『軽水動力炉の動特性コード EUREKA』  
石川ら、JAERI-memo 3592
- (2) 1977年8月『準静的多次元空間依存炉心動特性解析コード  
EUREKA-SPACE』稻辺ら、JAERI-M 7183

## 謝 辞

本コードマニュアルの作成にあたっては、センチュリリサーチセンター(株) 大倉真也氏ならびに斎藤邦義に多大な御協力頂きました。ここに、厚く感謝の意を表します。また、本マニュアルの主要部分を査読し、有益なコメントを下さった、プラント工学室の金城勝哉主任研究員と若林利男主任研究員に対して、深く感謝の意を表します。

A - 1 サンプル J C L

```
//PA300XXX   JOB (),EUREKA,MSGCLASS=X,NOTIFY=PA300,MSGLEVEL=(1,1),
//                      CLASS=B           * ATTR=(TO,C4,W4)
***  
*** EUREKA-FBR SAMPLE JCL  
***  
//GO EXEC PGM=EUREKA  
//STEPL18 DD DSN=PA300..EUREKA.LOAD,DISP=SHR  
//FT05F001 DD DSN=PA300.. EUREKA.TEST(XXX),DISP=SHR  
//FT06F001 DD DUMMY          --- CHECK PRINT ---  
//FT67F001 DD DUMMY          --- CHECK PRINT ---  
//FT66F001  DD SYSOUT=*,    --- OUTPUT ---  
//                      DCB=(RECFM=FBA,LRECL=133,BLKSIZE=133)  
***T32F001  DD DSN=CITATION1.FT32,DISP=SHR  --- CITATION POWER ---  
***          DD DSN=CITATION2.FT32,DISP=SHR  
***          DD DSN=CITATION3.FT32,DISP=SHR
```

A - 2

```

CASE 1.1 MESH CHANGE
INITIAL 2600.0 1.358E4 360.0 0.0
REACTIVI 10.0 1.1067E-3
TGEOM 14 16 4 0
TREGION (1) 4 4 4 1 1 1 1 1 1 1 1 1 1 1 1 4 4 4
TREGION (2) 4 4 4 2 2 2 2 2 2 2 2 2 2 2 2 4 4 4
TREGION (3) 4 4 4 3 3 3 3 3 3 3 3 3 3 3 3 4 4 4
TREGION (4) 5 5 5 6 6 6 6 6 6 6 6 6 6 6 6 5 5 5
CGEOM (1) 0.5288 0.366 0.375 0.04
CGEOM (2) 0.5288 0.366 0.375 0.04
CGEOM (3) 0.5288 0.366 0.375 0.04
CGEOM (4) 0.5288 0.366 0.375 0.04
CGEOM (5) 0.772455 0.6175 0.6300 0.04
CGEOM (6) 0.772455 0.6175 0.6300 0.04
CREGION 0 1 1 1 1 1 1 1 1 1 1 1 1 1 1 6 7
NODELENG 0. 15. 25. 35. 45. 55. 65. 75. 85. 95. 105. +
115. 125. 135. 145. 160.
FEEDBACK (1) 5.09E-3 0.8243E-6 -0.958E-6 -3.248E-6 -0.3751E-6
FEEDBACK (2) 5.09E-3 0.8243E-6 -0.958E-6 -3.248E-6 -0.3751E-6
FEEDBACK (3) 3.41E-3 1.4400E-6 -0.495E-6 -1.561E-6 -0.2100E-6
FEEDBACK (4) 5.54E-4 -0.0233E-6 .026E-6 .094E-6 .0090E-6
FEEDBACK (5) 3.13E-4 0.0025E-6 .048E-6 .175E-6 .0170E-6
FEEDBACK (6) 4.26E-4 0.0110E-6 .057E-6 .143E-6 .0180E-6
FUELTYPE (1) 0.14 1.98 0.92 271
FUELTYPE (2) 0.14 1.98 0.92 271
FUELTYPE (3) 0.18 1.98 0.92 271
FUELTYPE (4) 0.0 2.00 0.945 271
FUELTYPE (5) 0.0 2.00 0.945 127
FUELTYPE (6) 0.0 2.00 0.945 127
DENSITY (1) 0.48 10.96 -2.5 2.0
DENSITY (2) 0.48 10.96 -2.5 2.0
DENSITY (3) 0.48 10.96 -2.5 2.0
DENSITY (4) 0.0 10.96 0.0 0.0
DENSITY (5) 0.0 10.96 0.0 0.0
DENSITY (6) 0.0 10.96 0.0 0.0
CAPACITY (1) 12.54 0.017 -1.17E-5 3.07E-9 1.0
CAPACITY (2) 12.54 0.017 -1.17E-5 3.07E-9 1.0
CAPACITY (3) 12.54 0.017 -1.17E-5 3.07E-9 1.0
CAPACITY (4) 16.31 9.35E-3 -7.947E-6 3.063E-9 0.0
CAPACITY (5) 16.31 9.35E-3 -7.947E-6 3.063E-9 0.0
CAPACITY (6) 16.31 9.35E-3 -7.947E-6 3.063E-9 0.0
CONDUCT (1) 2.79274E-3 0.2389 0.06717 0.02226 0.0 1.7234E-13 0.0
CONDUCT (2) 2.79274E-3 0.2389 0.06717 0.02226 0.0 1.7234E-13 0.0
CONDUCT (3) 2.79274E-3 0.2389 0.06717 0.02226 0.0 1.7234E-13 0.0
CONDUCT (4) 0.0 9.1355 1.0 0.0 129.4 1.4644E-13 1.0
CONDUCT (5) 0.0 9.1355 1.0 0.0 129.4 1.4644E-13 1.0
CONDUCT (6) 0.0 9.1355 1.0 0.0 129.4 1.4644E-13 1.0
KINETICS (0) 0.3967E-6
KINETICS (1) 7.394E-5 8.013E-4 6.532E-4 1.343E-3 6.377E-4 1.794E-4
KINETICS (2) 1.297E-2 3.119E-2 1.339E-1 3.480E-1 1.420 3.824
FLOW 0.0 1.358E4 100.0 1.358E4
FLOWRATI .0175 0.4935 0.4566 0.0324
CONVERGE 1.OE-2 1.OE-2
CHCORRES (1,15) 4 4 4 4 4 4 4 4 4 4 4 4 4 4 4 4
CHCORRES (2,13) 4 4 3 3 3 3 3 3 3 3 3 3 3 3 3 4 4
CHCORRES (3,11) 4 4 3 3 3 3 3 3 3 3 3 3 3 3 3 4 4
CHCORRES (4,10) 4 3 3 3 3 3 3 3 3 3 3 3 3 3 3 3 4
CHCORRES (5, 9) 4 3 3 3 3 3 3 0 2 2 2 0 3 3 3 3 3 4
CHCORRES (6, 8) 4 3 3 3 3 2 2 2 2 2 2 2 2 2 2 3 3 3 4
CHCORRES (7, 7) 4 3 3 3 3 0 2 2 2 2 2 2 2 2 2 2 0 3 3 3 4
CHCORRES (8, 6) 4 3 3 3 3 2 2 2 0 2 2 2 2 2 2 2 2 2 3 3 3 4
CHCORRES (9, 5) 4 3 3 3 3 2 2 2 2 2 2 2 2 2 2 2 2 2 3 3 3 4
CHCORRES (10, 4) 4 3 3 3 3 2 2 2 2 2 2 0 2 2 0 2 2 2 2 2 3 3 3 4
CHCORRES (11, 3) 4 3 3 3 3 0 2 2 2 2 2 2 2 2 2 2 2 0 3 3 3 3 4
CHCORRES (12, 3) 4 3 3 3 3 2 2 2 2 2 2 2 2 2 2 2 1 1 2 2 2 3 3 3 4
CHCORRES (13, 2) 4 3 3 3 2 2 0 2 0 2 2 2 2 2 2 1 0 1 0 2 2 3 3 3 4
CHCORRES (14, 2) 4 3 3 3 2 2 2 2 2 2 2 2 2 2 2 1 1 2 2 2 3 3 3 4
CHCORRES (15, 1) 4 3 3 3 3 0 2 2 2 2 2 2 2 2 2 2 0 3 3 3 3 3 4
CHCORRES (16, 1) 4 3 3 3 2 2 2 2 2 2 0 2 2 0 2 2 2 2 2 3 3 3 4
CHCORRES (17, 1) 4 3 3 3 2 2 2 2 2 2 2 2 2 2 2 2 2 2 3 3 3 4
CHCORRES (18, 1) 4 3 3 3 2 2 2 0 2 2 2 2 2 0 2 2 2 2 3 3 3 4
CHCORRES (19, 1) 4 3 3 3 0 2 2 2 2 2 2 2 2 2 2 0 3 3 3 3 4
CHCORRES (20, 1) 4 3 3 3 3 2 2 2 2 2 2 2 2 2 3 3 3 3 4
CHCORRES (21, 1) 4 3 3 3 3 3 0 2 2 2 0 3 3 3 3 3 3 3 4
CHCORRES (22, 1) 4 3 3 3 3 3 3 3 3 3 3 3 3 3 3 3 3 4
CHCORRES (23, 1) 4 4 3 3 3 3 3 3 3 3 3 3 3 3 3 3 4 4
CHCORRES (24, 1) 4 4 3 3 3 3 3 3 3 3 3 3 3 3 3 4 4
CHCORRES (25, 1) 4 4 4 4 4 4 4 4 4 4 4 4 4 4 4 4
AXCORRES (1) 1 2 3 4 5 6 7 8 9 10 11 12 13 14 15 16
TIME (1) 6.0 0.005 0.010
TIME (2) 10.0 0.005 0.010
TIME (0) 1.0 2.0 3.0 4.0 5.0 6.0 7.0 8.5 10.0
TIME (-1) 0.0 1.25 5.80 12.47

```

POWER (o) -1.0  
 POWER (1,1) 1.7647E-05 6.4706E-05 9.4118E-05 6.2353E-04 8.8235E-04 ¥  
           1.1059E-03 1.2941E-03 1.4235E-03 1.4824E-03 1.4588E-03 ¥  
           1.3412E-03 1.1294E-03 8.4706E-04 1.2941E-04 8.4706E-05 2.1176E-05  
 POWER (1,2) 6.2353E-04 2.2863E-03 3.3255E-03 2.2031E-02 3.1176E-02 ¥  
           3.9075E-02 4.5725E-02 5.0298E-02 5.2376E-02 5.1545E-02 ¥  
           4.7388E-02 3.9906E-02 2.9929E-02 4.5725E-03 2.9929E-03 7.4824E-04  
 POWER (1,3) 7.8824E-04 2.8902E-03 4.2039E-03 2.7851E-02 3.9412E-02 ¥  
           4.9396E-02 5.7804E-02 6.3584E-02 6.6212E-02 6.5161E-02 ¥  
           5.9906E-02 5.0447E-02 3.7835E-02 5.7804E-03 3.7835E-03 9.4588E-04  
 POWER (1,4) 4.1176E-05 1.5098E-04 2.1961E-04 1.4549E-03 2.0588E-03 ¥  
           2.5804E-03 3.0196E-03 3.3216E-03 3.4588E-03 3.4039E-03 ¥  
           3.1294E-03 2.6353E-03 1.9765E-03 3.0196E-04 1.9765E-04 4.9412E-05  
 POWER (2,1) 1.9118E-05 7.0098E-05 1.0196E-04 6.7549E-04 9.5588E-04 ¥  
           1.1980E-03 1.4020E-03 1.5422E-03 1.6059E-03 1.5804E-03 ¥  
           1.4529E-03 1.2235E-03 9.1765E-04 1.4020E-04 9.1765E-05 2.2941E-05  
 POWER (2,2) 6.2647E-04 2.2971E-03 3.3412E-03 2.2135E-02 3.1324E-02 ¥  
           3.9259E-02 4.5941E-02 5.0536E-02 5.2624E-02 5.1788E-02 ¥  
           4.7612E-02 4.0094E-02 3.0071E-02 4.5941E-03 3.0071E-03 7.5176E-04  
 POWER (2,3) 7.8382E-04 2.8740E-03 4.1804E-03 2.7695E-02 3.9191E-02 ¥  
           4.9120E-02 5.7480E-02 6.3228E-02 6.5841E-02 6.4796E-02 ¥  
           5.9571E-02 5.0165E-02 3.7624E-02 5.7480E-03 3.7624E-03 9.4059E-04  
 POWER (2,4) 4.1176E-05 1.5098E-04 2.1961E-04 1.4549E-03 2.0588E-03 ¥  
           2.5804E-03 3.0196E-03 3.3216E-03 3.4588E-03 3.4039E-03 ¥  
           3.1294E-03 2.6353E-03 1.9765E-03 3.0196E-04 1.9765E-04 4.9412E-05  
 POWER (3,1) 2.2059E-05 8.0882E-05 1.7656E-04 7.7941E-04 1.1029E-03 ¥  
           1.3824E-03 1.6176E-03 1.7794E-03 1.8529E-03 1.8235E-03 ¥  
           1.6765E-03 1.4118E-03 1.0588E-03 1.6176E-04 1.0588E-04 2.6471E-05  
 POWER (3,2) 6.3235E-04 2.3186E-03 3.3725E-03 2.2343E-02 3.1618E-02 ¥  
           3.9627E-02 4.6373E-02 5.1010E-02 5.3118E-02 5.2275E-02 ¥  
           4.8059E-02 4.0471E-02 3.0353E-02 4.6373E-03 3.0353E-03 7.5882E-04  
 POWER (3,3) 7.7647E-04 2.8471E-03 4.1412E-03 2.7435E-02 3.8824E-02 ¥  
           4.8659E-02 5.6941E-02 6.2635E-02 6.5224E-02 6.4188E-02 ¥  
           5.9012E-02 4.9694E-02 3.7271E-02 5.6941E-03 3.7271E-03 9.3176E-04  
 POWER (3,4) 3.9706E-05 1.4559E-04 2.1176E-04 1.4029E-03 1.9853E-03 ¥  
           2.4882E-03 2.9118E-03 3.2029E-03 3.3353E-03 3.2824E-03 ¥  
           3.0176E-03 2.5412E-03 1.9059E-03 2.9118E-04 1.9059E-04 4.7647E-05  
 POWER (4,1) 2.3529E-05 8.6275E-05 1.2549E-04 8.3137E-04 1.1765E-03 ¥  
           1.4745E-03 1.7255E-03 1.8980E-03 1.9765E-03 1.9451E-03 ¥  
           1.7882E-03 1.5059E-03 1.1294E-03 1.7255E-04 1.1294E-04 2.8235E-05  
 POWER (4,2) 6.3529E-04 2.3294E-03 3.3882E-03 2.2447E-02 3.1765E-02 ¥  
           3.9812E-02 4.6588E-02 5.1247E-02 5.3365E-02 5.2518E-02 ¥  
           4.8282E-02 4.0659E-02 3.0494E-02 4.6588E-03 3.0494E-03 7.6235E-04  
 POWER (4,3) 7.7206E-04 2.8309E-03 4.1176E-03 2.7279E-02 3.8603E-02 ¥  
           4.8382E-02 5.6618E-02 6.2279E-02 6.4853E-02 6.3824E-02 ¥  
           5.8676E-02 4.9412E-02 3.7059E-02 5.6618E-03 3.7059E-03 9.2647E-04  
 POWER (4,4) 3.9706E-05 1.4559E-04 2.1176E-04 1.4029E-03 1.9853E-03 ¥  
           2.4882E-03 2.9118E-03 3.2029E-03 3.3353E-03 3.2824E-03 ¥  
           3.0176E-03 2.5412E-03 1.9059E-03 2.9118E-04 1.9059E-04 4.7647E-05  
 VOLUME(1) .0021 .0035 .0028 .0034 .0034 .0034 .0034 .0034 .0034 ¥  
           .0034 .0034 .0034 .0034 .0034 .0028 .0035 .0021  
 VOLUME(2) .0595 .0991 .0794 .0966 .0966 .0966 .0966 .0966 .0966 ¥  
           .0966 .0966 .0966 .0966 .0966 .0794 .0991 .0595  
 VOLUME(3) .0638 .1056 .0845 .1     .1     .1     .1     .1     .1     .1 ¥  
           .1     .1     .1     .1     .1     .0845 .1056 .0638  
 VOLUME(4) .125 .208 .167 .1     .1     .1     .1     .1     .1     .1     .1 ¥  
           .1     .1     .1     .1     .1     .1     .167 .208 .125  
 SCRAMREA 0.0     0.0     0.1     0.088E-2 0.2     0.351E-2 0.3     0.783E-2 ¥  
           0.4     1.321E-2 0.5     1.927E-2 0.6474 2.793E-2  
           1.2948 3.187E-2 100.0 3.187E-2  
 SCRAMSIG 0.4     1.160     0.0     0.0     0.0     0.0     0.0     0.0     0.0  
 PRINT (1)     1     20     10     0     0  
 PRINT (2)     1     20     10     0     0  
 PRINT (-1)    66  
 PRINT (0) 39 00 00 00 37 00 00 00 30 00 00 00 36 00 00 00 ¥  
           32 00 00 00 33 00 00 00 34 00 00 00 35 00 00 00 ¥  
           31 00 00 00 38 00 00 00  
           19 01 00 00 19 02 00 00 19 03 00 00 19 04 00 00 ¥  
           16 01 00 00 16 02 00 00 16 03 00 00 16 04 00 00 ¥  
           02 01 01 00 02 02 01 00 02 03 01 00 02 04 01 00 ¥  
           02 01 16 00 02 02 16 00 02 03 16 00 02 04 16 00  
 PLOT (o) 1  
 ENDDATA

A - 3

```

TEST RUN ( CASE 1.2 ) NO.172 AXIAL MESH MODIFIED
INITIAL 2600.0 1.358E4 360.0 0.0
REACTIVI 10.0 1.1067E-3
TGEOM 14 16 5 0
TREGION (1) 4 4 4 1 1 1 1 1 1 1 1 1 1 1 4 4 4
TREGION (2) 4 4 4 3 3 3 3 3 3 3 3 3 3 3 4 4 4
TREGION (3) 4 4 4 2 2 2 2 2 2 2 2 2 2 2 4 4 4
TREGION (4) 4 4 4 3 3 3 3 3 3 3 3 3 3 3 4 4 4
TREGION (5) 5 5 5 6 6 6 6 6 6 6 6 6 6 6 5 5 5
CGEOM (1) 0.5288 0.366 0.375 0.04
CGEOM (2) 0.5288 0.366 0.375 0.04
CGEOM (3) 0.5288 0.366 0.375 0.04
CGEOM (4) 0.5288 0.366 0.375 0.04
CGEOM (5) 0.772455 0.6175 0.6300 0.04
CGEOM (6) 0.772455 0.6175 0.6300 0.04
CREGION 0 1 1 1 1 1 1 1 1 1 1 1 1 1 6 7
NODELENG 0. 15. 25. 35. 45. 55. 65. 75. 85. 95. 105. +
115. 125. 135. 145. 160.
FEEDBACK (1) 5.09E-3 0.8243E-6 -0.958E-6 -3.248E-6 -0.3751E-6
FEEDBACK (2) 5.09E-3 0.8243E-6 -0.958E-6 -3.248E-6 -0.3751E-6
FEEDBACK (3) 3.41E-3 1.4400E-6 -0.495E-6 -1.561E-6 -0.2100E-6
FEEDBACK (4) 5.54E-4 -0.0233E-6 .026E-6 .094E-6 .0090E-6
FEEDBACK (5) 3.13E-4 0.0025E-6 .048E-6 .175E-6 .0170E-6
FEEDBACK (6) 4.26E-4 0.0110E-6 .057E-6 .143E-6 .0180E-6
FUELTYPE (1) 0.14 1.98 0.92 271
FUELTYPE (2) 0.14 1.98 0.92 271
FUELTYPE (3) 0.18 1.98 0.92 271
FUELTYPE (4) 0.0 2.00 0.945 271
FUELTYPE (5) 0.0 2.00 0.945 127
FUELTYPE (6) 0.0 2.00 0.945 127
DENSITY (1) 0.48 10.96 -2.5 2.0
DENSITY (2) 0.48 10.96 -2.5 2.0
DENSITY (3) 0.48 10.96 -2.5 2.0
DENSITY (4) 0.0 10.96 0.0 0.0
DENSITY (5) 0.0 10.96 0.0 0.0
DENSITY (6) 0.0 10.96 0.0 0.0
CAPACITY (1) 12.54 0.017 -1.17E-5 3.07E-9 1.0
CAPACITY (2) 12.54 0.017 -1.17E-5 3.07E-9 1.0
CAPACITY (3) 12.54 0.017 -1.17E-5 3.07E-9 1.0
CAPACITY (4) 16.31 9.35E-3 -7.947E-6 3.063E-9 0.0
CAPACITY (5) 16.31 9.35E-3 -7.947E-6 3.063E-9 0.0
CAPACITY (6) 16.31 9.35E-3 -7.947E-6 3.063E-9 0.0
CONDUCT (1) 2.79274E-3 0.2389 0.06717 0.02226 0.0 1.7234E-13 0.0
CONDUCT (2) 2.79274E-3 0.2389 0.06717 0.02226 0.0 1.7234E-13 0.0
CONDUCT (3) 2.79274E-3 0.2389 0.06717 0.02226 0.0 1.7234E-13 0.0
CONDUCT (4) 0.0 9.1355 1.0 0.0 129.4 1.4644E-13 1.0
CONDUCT (5) 0.0 9.1355 1.0 0.0 129.4 1.4644E-13 1.0
CONDUCT (6) 0.0 9.1355 1.0 0.0 129.4 1.4644E-13 1.0
KINETICS (0) 0.3967E-6
KINETICS (1) 7.394E-5 8.013E-4 6.532E-4 1.343E-3 6.377E-4 1.794E-4
KINETICS (2) 1.297E-2 3.119E-2 1.339E-1 3.480E-1 1.420 3.824
FLOW 0.0 1.358E4 100.0 1.358E4
FLOWRATI 0.00876 0.00761 0.50224 0.44899 0.0324
CONVERGE 1.0E-2 1.0E-2
CHCORRES (1,15) 5 5 5 5 5 5 5 5 5 5 5 5 5 5 5 5 5
CHCORRES (2,13) 5 5 4 4 4 4 4 4 4 4 4 4 4 4 4 4 5 5
CHCORRES (3,11) 5 5 4 4 4 4 4 4 4 4 4 4 4 4 4 4 4 5
CHCORRES (4,10) 5 4 4 4 4 4 4 4 4 4 4 4 4 4 4 4 4 5
CHCORRES (5, 9) 5 4 4 4 4 4 0 3 3 3 3 3 0 4 4 4 4 4 5
CHCORRES (6, 8) 5 4 4 4 4 4 3 3 3 3 3 3 3 3 3 4 4 4 4 5
CHCORRES (7, 7) 5 4 4 4 4 0 3 3 3 3 3 3 3 3 3 0 4 4 4 5
CHCORRES (8, 6) 5 4 4 4 4 3 3 3 3 3 3 3 3 3 3 3 3 4 4 4 5
CHCORRES (9, 5) 5 4 4 4 4 3 3 3 3 3 3 3 3 3 3 3 3 4 4 4 5
CHCORRES (10, 4) 5 4 4 4 4 3 3 3 3 3 3 0 3 3 3 0 3 3 3 3 4 4 4 5
CHCORRES (11, 3) 5 4 4 4 4 0 3 3 3 3 3 3 3 3 3 3 3 3 0 4 4 4 5
CHCORRES (12, 3) 5 4 4 4 4 3 3 3 3 3 3 3 3 3 3 3 3 3 4 4 4 5
CHCORRES (13, 2) 5 4 4 4 4 3 3 0 3 3 3 3 3 3 3 3 0 3 3 3 4 4 4 5
CHCORRES (14, 2) 5 4 4 4 4 3 3 3 3 3 3 3 3 3 3 3 3 3 1 2 4 4 5
CHCORRES (15, 1) 5 4 4 4 4 0 3 3 3 3 3 3 3 3 3 3 3 3 1 0 2 4 4 5
CHCORRES (16, 1) 5 4 4 4 4 3 3 3 3 3 3 0 3 3 3 3 3 1 2 4 4 5
CHCORRES (17, 1) 5 4 4 4 4 3 3 3 3 3 3 3 3 3 3 3 3 3 3 3 4 4 4 5
CHCORRES (18, 1) 5 4 4 4 4 3 3 3 0 3 3 3 3 3 3 0 3 3 3 3 4 4 4 5
CHCORRES (19, 1) 5 4 4 4 4 0 3 3 3 3 3 3 3 3 3 0 4 4 4 4 5
CHCORRES (20, 1) 5 4 4 4 4 4 3 3 3 3 3 3 3 3 3 4 4 4 4 4 5
CHCORRES (21, 1) 5 4 4 4 4 4 4 0 3 3 3 3 0 4 4 4 4 4 4 4 5
CHCORRES (22, 1) 5 4 4 4 4 4 4 4 4 4 4 4 4 4 4 4 4 4 4 4 5
CHCORRES (23, 1) 5 5 4 4 4 4 4 4 4 4 4 4 4 4 4 4 4 4 5 5
CHCORRES (24, 1) 5 5 4 4 4 4 4 4 4 4 4 4 4 4 4 4 4 4 5 5
CHCORRES (25, 1) 5 5 5 5 5 5 5 5 5 5 5 5 5 5 5 5 5 5
AXCORRES (1) 1 2 3 4 5 6 7 8 9 10 11 12 13 14 15 16
TIME (1) 6.0 0.005 0.010
TIME (2) 10.0 0.005 0.010
TIME (0) 1.0 2.0 3.0 4.0 5.0 6.0 7.0 8.5 10.0
TIME (-1) 0.0 5.45 20.0 36.32

```

POWER (0) -1.0  
 POWER (1,1) 7.3052E-06 5.1136E-05 5.8442E-05 4.3831E-04 5.9903E-04 ¥  
               7.7435E-04 9.0584E-04 1.0227E-03 1.1250E-03 1.1396E-03 ¥  
   1.0666E-03 9.0584E-04 7.0130E-04 1.0227E-04 7.3052E-05 2.9221E-05 ¥  
 POWER (1,2) 7.3052E-06 5.1136E-05 5.8442E-05 4.3831E-04 5.9903E-04 ¥  
               7.7435E-04 9.0584E-04 1.0227E-03 1.1250E-03 1.1396E-03 ¥  
   1.0666E-03 9.0584E-04 7.0130E-04 1.0227E-04 7.3052E-05 2.9221E-05 ¥  
 POWER (1,3) 3.4740E-04 2.4318E-03 2.7792E-03 2.0844E-02 2.8487E-02 ¥  
               3.6825E-02 4.3078E-02 4.8636E-02 5.3500E-02 5.4195E-02 ¥  
   5.0721E-02 4.3078E-02 3.3351E-02 4.8636E-03 3.4740E-03 1.3896E-03 ¥  
 POWER (1,4) 4.2614E-04 2.9830E-03 3.4091E-03 2.5568E-02 3.4943E-02 ¥  
               4.5170E-02 5.2841E-02 5.9659E-02 6.5625E-02 6.6477E-02 ¥  
   6.2216E-02 5.2841E-02 4.0909E-02 5.9659E-03 4.2614E-03 1.7045E-03 ¥  
 POWER (1,5) 2.2727E-05 1.5909E-04 1.8182E-04 1.3636E-03 1.8636E-03 ¥  
               2.4091E-03 2.8182E-03 3.1818E-03 3.5000E-03 3.5455E-03 ¥  
   3.3182E-03 2.8182E-03 2.1818E-03 3.1818E-04 2.2727E-04 9.0909E-05 ¥  
 POWER (2,1) 8.5227E-06 5.9659E-05 6.8182E-05 5.1136E-04 6.9886E-04 ¥  
               9.0341E-04 1.0568E-03 1.1932E-03 1.3125E-03 1.3295E-03 ¥  
   1.2443E-03 1.0568E-03 8.1818E-04 1.1932E-04 8.5227E-05 3.4091E-05 ¥  
 POWER (2,2) 8.5227E-06 5.9659E-05 6.8182E-05 5.1136E-04 6.9886E-04 ¥  
               9.0341E-04 1.0568E-03 1.1932E-03 1.3125E-03 1.3295E-03 ¥  
   1.2443E-03 1.0568E-03 8.1818E-04 1.1932E-04 8.5227E-05 3.4091E-05 ¥  
 POWER (2,3) 3.4578E-04 2.4205E-03 2.7662E-03 2.0747E-02 2.8354E-02 ¥  
               3.6653E-02 4.2877E-02 4.8409E-02 5.3250E-02 5.3942E-02 ¥  
   5.0484E-02 4.2877E-02 3.3195E-02 4.8409E-03 3.4578E-03 1.3831E-03 ¥  
 POWER (2,4) 4.2614E-04 2.9830E-03 3.4091E-03 2.5568E-02 3.4943E-02 ¥  
               4.5170E-02 5.2841E-02 5.9659E-02 6.5625E-02 6.6477E-02 ¥  
   6.2216E-02 5.2841E-02 4.0909E-02 5.9659E-03 4.2614E-03 1.7045E-03 ¥  
 POWER (2,5) 2.2727E-05 1.5909E-04 1.8182E-04 1.3636E-03 1.8636E-03 ¥  
               2.4091E-03 2.8182E-03 3.1818E-03 3.5000E-03 3.5455E-03 ¥  
   3.3182E-03 2.8182E-03 2.1818E-03 3.1818E-04 2.2727E-04 9.0909E-05 ¥  
 POWER (3,1) 1.1769E-05 8.2386E-05 9.4156E-05 7.0617E-04 9.6510E-04 ¥  
               1.2476E-03 1.4594E-03 1.6477E-03 1.8125E-03 1.8360E-03 ¥  
   1.7183E-03 1.4594E-03 1.1299E-03 1.6477E-04 1.1769E-04 4.7078E-05 ¥  
 POWER (3,2) 1.1769E-05 8.2386E-05 9.4156E-05 7.0617E-04 9.6510E-04 ¥  
               1.2476E-03 1.4594E-03 1.6477E-03 1.8125E-03 1.8360E-03 ¥  
   1.7183E-03 1.4594E-03 1.1299E-03 1.6477E-04 1.1769E-04 4.7078E-05 ¥  
 POWER (3,3) 3.4253E-04 2.3977E-03 2.7403E-03 2.0552E-02 2.8088E-02 ¥  
               3.6308E-02 4.2474E-02 4.7955E-02 5.2750E-02 5.3435E-02 ¥  
   5.0010E-02 4.2474E-02 3.2883E-02 4.7955E-03 3.4253E-03 1.3701E-03 ¥  
 POWER (3,4) 4.2289E-04 2.9602E-03 3.3831E-03 2.5373E-02 3.4677E-02 ¥  
               4.4826E-02 5.2438E-02 5.9205E-02 6.5125E-02 6.5971E-02 ¥  
   6.1742E-02 5.2438E-02 4.0597E-02 5.9205E-03 4.2289E-03 1.6916E-03 ¥  
 POWER (3,5) 2.2727E-05 1.5909E-04 1.8182E-04 1.3636E-03 1.8636E-03 ¥  
               2.4091E-03 2.8182E-03 3.1818E-03 3.5000E-03 3.5455E-03 ¥  
   3.3182E-03 2.8182E-03 2.1818E-03 3.1818E-04 2.2727E-04 9.0909E-05 ¥  
 POWER (4,1) 1.4205E-05 9.9432E-05 1.1364E-04 8.5227E-04 1.1648E-03 ¥  
               1.5057E-03 1.7614E-03 1.9886E-04 2.1875E-03 2.2159E-03 ¥  
 POWER (4,2) 1.4205E-05 9.9432E-05 1.1364E-04 8.5227E-04 1.1648E-03 ¥  
               1.5057E-03 1.7614E-03 1.9886E-03 2.1875E-03 2.2159E-03 ¥  
   2.0739E-03 1.7614E-03 1.3636E-03 1.9886E-04 1.4205E-04 5.6818E-05 ¥  
 POWER (4,3) 3.4010E-04 2.3807E-03 2.7208E-03 2.0406E-02 2.7888E-02 ¥  
               3.6050E-02 4.2172E-02 4.7614E-02 5.2375E-02 5.3055E-02 ¥  
   4.9654E-02 4.2172E-02 3.2649E-02 4.7614E-03 3.4010E-03 1.3604E-03 ¥  
 POWER (4,4) 4.2045E-04 2.9432E-03 3.3636E-03 2.5227E-02 3.4477E-02 ¥  
               4.4568E-02 5.2136E-02 5.8864E-02 6.4750E-02 6.5591E-02 ¥  
   6.1386E-02 5.2136E-02 4.0364E-02 5.8864E-03 4.2045E-03 1.6818E-03 ¥  
 POWER (4,5) 2.2727E-05 1.5909E-04 1.8182E-04 1.3636E-03 1.8636E-03 ¥  
               2.4091E-03 2.8182E-03 3.1818E-03 3.5000E-03 3.5455E-03 ¥  
   3.3182E-03 2.8182E-03 2.1818E-03 3.1818E-04 2.2727E-04 9.0909E-05 ¥  
 VOLUME(1) .00105 .00175 .0014 .0017 .0017 .0017 .0017 .0017 ¥  
               .0017 .0017 .0017 .0017 .0017 .0017 .0017 .00105  
 VOLUME(2) .00105 .00175 .0014 .0017 .0017 .0017 .0017 .0017 ¥  
               .0017 .0017 .0017 .0017 .0017 .0017 .0017 .00105  
 VOLUME(3) .0606 .1010 .0808 .0983 .0983 .0983 .0808 .0606 .1010  
               .0983 .0983 .0983 .0983 .0983 .0983 .0983 .0983  
 VOLUME(4) .0623 .1039 .0831 .0983 .0983 .0983 .0983 .0983 .0983  
               .0983 .0983 .0983 .0983 .0983 .0983 .0983 .0983  
 VOLUME(5) .125 .208 .167 .0.1 .0.1 .0.1 .167 .208 .125  
               .0.1 .0.1 .0.1 .0.1 .167 .208 .125  
 SCRAMREA 0.0 .0.0 .0.1 .0.088E-2 .0.2 .0.351E-2 .0.3 .0.783E-2 ¥  
               .0.4 1.321E-2 .0.5 1.927E-2 .0.6474 2.793E-2  
               1.2948 3.187E-2 100.0 3.187E-2  
 SCRAMSIG 0.4 1.160 0.0 0.0 0.0 0.0 0.0 0.0 0.0  
 PRINT (1) 1 20 10 0 0  
 PRINT (2) 1 20 10 0 0  
 PRINT (-1) 66  
 PRINT (0) 39 00 00 00 37 00 00 00 30 00 00 00 36 00 00 00  
               32 00 00 00 33 00 00 00 34 00 00 00 35 00 00 00  
               31 00 00 00 38 00 00 00  
               19 01 00 00 19 02 00 00 19 03 00 00 19 04 00 00  
               19 05 00 00  
               16 01 00 00 16 02 00 00 16 03 00 00 16 04 00 00  
               16 05 00 00  
               02 01 01 00 02 02 01 00 02 03 01 00 02 04 01 00  
               02 05 01 00  
               02 01 16 00 02 02 16 00 02 03 16 00 02 04 16 00  
               02 05 16 00  
 PLOT (0) 1  
 ENDDATA

A - 4

CASE 2.1

```

INITIAL 2600.0 1.358E4 360.0 0.0
REACTIVI 10.0 1.1067E-3
TGEOM 14 16 4 0
TREGION {1} 3 3 3 1 1 1 1 1 1 1 1 1 1 1 3 3 3
TREGION {2} 3 3 3 1 1 1 1 1 1 1 1 1 1 1 3 3 3
TREGION {3} 3 3 3 2 2 2 2 2 2 2 2 2 2 2 3 3 3
TREGION {4} 4 4 4 5 5 5 5 5 5 5 5 5 5 4 4 4
CGEOM {1} 0.5288 0.366 0.375 0.04
CGEOM {2} 0.5288 0.366 0.375 0.04
CGEOM {3} 0.5288 0.366 0.375 0.04
CGEOM {4} 0.772455 0.6175 0.6300 0.04
CGEOM {5} 0.772455 0.6175 0.6300 0.04
CREGION 0 1 1 1 1 1 1 1 1 1 1 1 1 1 6 7
FEEDBACK {1} 5.09E-3 0.8243E-6 -0.958E-6 -3.248E-6 -0.3751E-6
FEEDBACK {2} 3.41E-3 1.4400E-6 -0.495E-6 -1.561E-6 -0.2100E-6
FEEDBACK {3} 5.54E-4 -0.0233E-6 .026E-6 .094E-6 .0090E-6
FEEDBACK {4} 3.13E-4 0.0025E-6 .048E-6 .175E-6 .0170E-6
FEEDBACK {5} 4.26E-4 0.0110E-6 .057E-6 .143E-6 .0180E-6
FUELTYPE {1} 0.14 1.98 0.92 271
FUELTYPE {2} 0.18 1.98 0.92 271
FUELTYPE {3} 0.0 2.00 0.945 271
FUELTYPE {4} 0.0 2.00 0.945 127
FUELTYPE {5} 0.0 2.00 0.945 127
DENSITY {1} 0.48 10.96 -2.5 2.0
DENSITY {2} 0.48 10.96 -2.5 2.0
DENSITY {3} 0.0 10.96 0.0 0.0
DENSITY {4} 0.0 10.96 0.0 0.0
DENSITY {5} 0.0 10.96 0.0 0.0
CAPACITY {1} 12.54 0.017 -1.17E-5 3.07E-9 1.0
CAPACITY {2} 12.54 0.017 -1.17E-5 3.07E-9 1.0
CAPACITY {3} 16.31 9.35E-3 -7.947E-6 3.063E-9 0.0
CAPACITY {4} 16.31 9.35E-3 -7.947E-6 3.063E-9 0.0
CAPACITY {5} 16.31 9.35E-3 -7.947E-6 3.063E-9 0.0
CONDUCT {1} 2.79274E-3 0.2389 0.06717 0.02226 0.0 1.7234E-13 0.0
CONDUCT {2} 2.79274E-3 0.2389 0.06717 0.02226 0.0 1.7234E-13 0.0
CONDUCT {3} 0.0 9.1355 1.0 0.0 129.4 1.4644E-13 1.0
CONDUCT {4} 0.0 9.1355 1.0 0.0 129.4 1.4644E-13 1.0
CONDUCT {5} 0.0 9.1355 1.0 0.0 129.4 1.4644E-13 1.0
KINETICS {0} 0.3967E-6
KINETICS {1} 7.394E-5 8.013E-4 6.532E-4 1.343E-3 6.377E-4 1.794E-4
KINETICS {2} 1.297E-2 3.119E-2 1.339E-1 3.480E-1 1.420 3.824
FLOW 0.0 1.358E4 100.0 1.358E4
FLOWRATI .0175 0.4935 0.4566 0.0324
CONVERGE 1.0E-2 1.0E-2
CHCORRES {1,16} 0 0 0 0 0 0 0 0 0 0 0 0 0 0 0 0 0 0
CHCORRES {2,14} 0 0 4 4 4 4 4 4 4 4 4 4 4 4 0 0
CHCORRES {3,12} 0 0 4 4 3 3 3 3 3 3 3 3 3 3 4 4 0 0
CHCORRES {4,11} 0 0 4 4 3 3 3 3 3 3 3 3 3 3 3 3 4 4 0
CHCORRES {5,10} 0 0 4 3 3 3 3 3 3 3 3 3 3 3 3 3 3 4 0
CHCORRES {6, 9} 0 0 4 3 3 3 3 3 0 2 2 2 0 3 3 3 3 3 4 0
CHCORRES {7, 8} 0 0 4 3 3 3 3 3 2 2 2 2 2 2 2 2 3 3 3 3 4 0
CHCORRES {8, 7} 0 0 4 3 3 3 3 0 2 2 2 2 0 2 2 2 2 0 3 3 3 4 0
CHCORRES {9, 6} 0 0 4 3 3 3 3 2 2 2 2 2 2 2 2 2 3 3 3 3 4 0
CHCORRES {10, 5} 0 0 4 3 3 3 3 2 2 2 2 2 0 2 2 2 2 2 3 3 3 3 4 0
CHCORRES {11, 4} 0 0 4 3 3 3 3 2 2 0 2 2 2 2 2 2 2 0 2 2 3 3 3 4 0
CHCORRES {12, 3} 0 0 4 3 3 3 0 2 2 2 2 2 2 2 2 2 2 0 3 3 3 3 4 0
CHCORRES {13, 3} 0 0 4 3 3 3 2 2 2 2 2 2 2 2 2 1 1 2 2 2 2 2 3 3 3 3 4 0
CHCORRES {14, 2} 0 0 4 3 3 3 2 2 2 0 2 2 2 2 1 0 1 2 2 0 2 2 2 3 3 3 3 4 0
CHCORRES {15, 2} 0 0 4 3 3 3 2 2 2 2 2 2 2 2 2 2 1 1 2 2 2 2 3 3 3 3 4 0
CHCORRES {16, 1} 0 0 4 3 3 3 0 2 2 2 2 2 2 2 2 2 2 2 2 0 3 3 3 3 4 0
CHCORRES {17, 1} 0 0 4 3 3 3 2 2 0 2 2 2 2 2 2 2 2 0 2 2 3 3 3 3 4 0
CHCORRES {18, 1} 0 0 4 3 3 3 2 2 2 0 2 2 2 2 2 2 2 0 2 2 2 3 3 3 3 4 0
CHCORRES {19, 1} 0 0 4 3 3 3 2 2 2 2 0 2 2 2 2 2 2 0 2 2 2 3 3 3 3 4 0
CHCORRES {20, 1} 0 0 4 3 3 3 0 2 2 2 2 2 0 2 2 2 2 0 2 3 3 3 3 4 0
CHCORRES {21, 1} 0 0 4 3 3 3 2 2 2 2 2 2 2 2 2 2 2 3 3 3 3 4 0
CHCORRES {22, 1} 0 0 4 3 3 3 3 3 0 2 2 2 2 0 3 3 3 3 3 3 4 0
CHCORRES {23, 1} 0 0 4 3 3 3 3 3 3 3 3 3 3 3 3 3 3 3 3 4 0
CHCORRES {24, 1} 0 0 4 4 3 3 3 3 3 3 3 3 3 3 3 3 3 3 4 0
CHCORRES {25, 1} 0 0 4 4 3 3 3 3 3 3 3 3 3 3 3 3 3 4 0
CHCORRES {26, 2} 0 0 4 4 4 4 4 4 4 4 4 4 4 0 0
CHCORRES {27, 3} 0 0 0 0 0 0 0 0 0 0 0 0 0 0 0 0 0 0
AXCORRES {1} 0 0 0 0 0 0 1 1 2 2 3 3 4 4 5 5 6 6 7 7 7 8 8 9 9 10 10 11 11 12 12 13 13 14 14 14 *
TIME {1} 6.0 0.005 0.01
TIME {2} 10.0 0.005 0.01
TIME {0} 2.0 4.0 6.0 8.0 10.0
TIME {-1} 0.0 5.0 15.0
SCRAMREA 0.0 0.0 0.1 0.088E-2 0.2 0.351E-2 0.3 0.783E-2 *
0.4 1.321E-2 0.5 1.927E-2 0.6474 2.793E-2 *
1.2948 3.187E-2 100.0 3.187E-2
SCRAMSIG 0.4 1.160 0.0 0.0 0.0 0.0 0.0 0.0 0.0
PRINT {1} 1 20 10 0 0
PRINT {2} 1 20 10 0 0
PRINT {-1} 66
PRINT {0} 39 00 00 00 37 00 00 00 30 00 00 00 36 00 00 00 *
32 00 00 00 33 00 00 00 34 00 00 00 35 00 00 00 *
31 00 00 00 38 00 00 00 * 19 01 00 00 19 02 00 00 19 03 00 00 19 04 00 00 *
16 01 00 00 16 02 00 00 16 03 00 00 16 04 00 00 *
02 01 01 00 02 02 01 00 02 03 01 00 02 04 01 00 *
02 01 16 00 02 02 16 00 02 03 16 00 02 04 16 00
PLOT (0) 1
ENDDATA

```

A - 5

CASE 2.2

INITIAL 2600.0 1.358E4 360.0 0.0  
 REACTIVI 10.0 1.1067E-3  
 TGEOM 14 16 5 0  
 TREGION (1) 3 3 3 1 1 1 1 1 1 1 1 1 1 1 1 3 3 3  
 TREGION (2) 3 3 3 2 2 2 2 2 2 2 2 2 2 2 2 3 3 3  
 TREGION (3) 3 3 3 1 1 1 1 1 1 1 1 1 1 1 1 3 3 3  
 TREGION (4) 3 3 3 2 2 2 2 2 2 2 2 2 2 2 2 3 3 3  
 TREGION (5) 4 4 4 5 5 5 5 5 5 5 5 5 5 5 5 4 4 4  
 CGEOM (1) 0.5288 0.366 0.375 0.04  
 CGEOM (2) 0.5288 0.366 0.375 0.04  
 CGEOM (3) 0.5288 0.366 0.375 0.04  
 CGEOM (4) 0.772455 0.6175 0.6300 0.04  
 CGEOM (5) 0.772455 0.6175 0.6300 0.04  
 CREGION 0 1 1 1 1 1 1 1 1 1 1 1 1 6 7  
 FEEDBACK (1) 5.09E-3 0.8243E-6 -0.958E-6 -3.248E-6 -0.3751E-6  
 FEEDBACK (2) 3.41E-3 1.4400E-6 -0.495E-6 -1.561E-6 -0.2100E-6  
 FEEDBACK (3) 5.54E-4 -0.0233E-6 .026E-6 .094E-6 .0090E-6  
 FEEDBACK (4) 3.13E-4 0.0025E-6 .048E-6 .175E-6 .0170E-6  
 FEEDBACK (5) 4.26E-4 0.0110E-6 .057E-6 .143E-6 .0180E-6  
 FUELTYPE (1) 0.14 1.98 0.92 271  
 FUELTYPE (2) 0.18 1.98 0.92 271  
 FUELTYPE (3) 0.0 2.00 0.945 271  
 FUELTYPE (4) 0.0 2.00 0.945 127  
 FUELTYPE (5) 0.0 2.00 0.945 127  
 DENSITY (1) 0.48 10.96 -2.5 2.0  
 DENSITY (2) 0.48 10.96 -2.5 2.0  
 DENSITY (3) 0.0 10.96 0.0 0.0  
 DENSITY (4) 0.0 10.96 0.0 0.0  
 DENSITY (5) 0.0 10.96 0.0 0.0  
 CAPACITY (1) 12.54 0.017 -1.17E-5 3.07E-9 1.0  
 CAPACITY (2) 12.54 0.017 -1.17E-5 3.07E-9 1.0  
 CAPACITY (3) 16.31 9.35E-3 -7.947E-6 3.063E-9 0.0  
 CAPACITY (4) 16.31 9.35E-3 -7.947E-6 3.063E-9 0.0  
 CAPACITY (5) 16.31 9.35E-3 -7.947E-6 3.063E-9 0.0  
 CONDUCT (1) 2.79274E-3 0.2389 0.06717 0.02226 0.0 1.7234E-13 0.0  
 CONDUCT (2) 2.79274E-3 0.2389 0.06717 0.02226 0.0 1.7234E-13 0.0  
 CONDUCT (3) 0.0 9.1355 1.0 0.0 129.4 1.4644E-13 1.0  
 CONDUCT (4) 0.0 9.1355 1.0 0.0 129.4 1.4644E-13 1.0  
 CONDUCT (5) 0.0 9.1355 1.0 0.0 129.4 1.4644E-13 1.0  
 KINETICS (0) 0.3967E-6  
 KINETICS (1) 7.394E-5 8.013E-4 6.532E-4 1.343E-3 6.377E-4 1.794E-4  
 KINETICS (2) 1.297E-2 3.119E-2 1.339E-1 3.480E-1 1.420 3.824  
 FLOW 0.0 1.358E4 100.0 1.358E4  
 FLOWRATI .00876 0.00761 0.50224 0.44899 0.0324  
 CONVERGE 1.0E-2 1.0E-2  
 CHCORRES (1, 16) 0 0 0 0 0 0 0 0 0 0 0 0 0  
 CHCORRES (2, 14) 0 0 5 5 5 5 5 5 5 5 5 5 0  
 CHCORRES (3, 12) 0 0 5 5 4 4 4 4 4 4 4 4 4 4 5 5 0  
 CHCORRES (4, 11) 0 5 5 4 4 4 4 4 4 4 4 4 4 4 4 4 5 5 0  
 CHCORRES (5, 10) 0 5 4 4 4 4 4 4 4 4 4 4 2 2 4 4 4 4 5 0  
 CHCORRES (6, 9) 0 5 4 4 4 4 4 4 4 3 0 3 1 0 2 4 4 4 4 5 0  
 CHCORRES (7, 8) 0 5 4 4 4 4 3 3 3 3 3 3 1 1 3 4 4 4 4 5 0  
 CHCORRES (8, 7) 0 5 4 4 4 4 0 3 3 3 3 0 3 3 3 3 0 4 4 4 5 0  
 CHCORRES (9, 6) 0 5 4 4 4 4 3 3 3 3 3 3 3 3 3 3 3 3 4 4 4 5 0  
 CHCORRES (10, 5) 0 5 4 4 4 4 3 3 3 3 0 3 3 3 3 3 0 3 3 3 3 3 4 4 4 5 0  
 CHCORRES (11, 4) 0 5 4 4 4 4 3 3 0 3 3 3 3 3 3 3 0 3 3 4 4 4 5 0  
 CHCORRES (12, 3) 0 5 4 4 4 4 0 3 3 3 3 3 3 3 3 3 3 3 0 4 4 4 4 5 0  
 CHCORRES (13, 2) 0 5 4 4 4 4 3 3 3 0 3 3 3 3 3 3 3 3 3 3 4 4 4 4 5 0  
 CHCORRES (14, 2) 0 5 4 4 4 4 3 3 3 0 3 3 0 3 3 3 3 0 3 3 3 4 4 4 4 5 0  
 CHCORRES (15, 1) 0 5 4 4 4 4 3 3 3 3 3 3 3 3 3 3 3 3 3 4 4 4 4 5 0  
 CHCORRES (16, 1) 0 5 4 4 4 4 0 3 3 3 3 3 3 3 3 3 3 3 3 0 4 4 4 4 5 0  
 CHCORRES (17, 1) 0 5 4 4 4 4 3 3 0 3 3 3 3 3 3 3 3 3 0 3 3 4 4 4 4 5 0  
 CHCORRES (18, 1) 0 5 4 4 4 4 3 3 3 3 0 3 3 3 3 3 3 3 0 3 3 3 3 4 4 4 4 5 0  
 CHCORRES (19, 1) 0 5 4 4 4 4 3 3 3 3 3 3 3 3 3 3 3 3 3 4 4 4 4 5 0  
 CHCORRES (20, 1) 0 5 4 4 4 4 0 3 3 3 3 0 3 3 3 3 0 3 3 4 4 4 4 5 0  
 CHCORRES (21, 1) 0 5 4 4 4 4 4 3 3 3 3 3 3 3 3 3 0 4 4 4 4 4 4 5 0  
 CHCORRES (22, 1) 0 5 4 4 4 4 4 4 0 3 3 3 3 3 3 0 4 4 4 4 4 4 4 5 0  
 CHCORRES (23, 1) 0 5 4 4 4 4 4 4 4 4 4 4 4 4 4 4 4 4 4 4 4 5 0  
 CHCORRES (24, 1) 0 5 5 4 4 4 4 4 4 4 4 4 4 4 4 4 4 4 4 4 5 0  
 CHCORRES (25, 1) 0 0 5 5 4 4 4 4 4 4 4 4 4 4 4 4 4 4 5 5 0  
 CHCORRES (26, 2) 0 0 5 5 5 5 5 5 5 5 5 5 5 5 5 5 5 5 0  
 CHCORRES (27, 3) 0 0 0 0 0 0 0 0 0 0 0 0 0 0 0 0 0 0 0  
 AXCORRES (1) 0 0 0 0 0 0 0 1 1 2 2 3 3 3 4 4 5 5 6 6 6 7 7 7 7 7 7 7 7  
 8 8 9 9 10 10 11 11 12 12 13 13 14 14 14 14 14 15 15 16 16 0 0 0 0 0 0 0  
 TIME (1) 6.0 0.005 0.01  
 TIME (2) 10.0 0.005 0.01  
 TIME (0) 2.0 4.0 6.0 8.0 10.0  
 TIME (-1) 0.0 5.0 15.0  
 SCRAMREA 0.0 0.0 0.1 0.088E-2 0.2 0.351E-2 0.3 0.783E-2 7  
 0.4 1.321E-2 0.5 1.927E-2 0.6474 2.793E-2  
 1.2948 3.187E-2 100.0 3.187E-2  
 SCRAMSIG 0.4 1.160 0.0 0.0 0.0 0.0 0.0 0.0 0.0 0.0  
 PRINT (1) 1 20 10 0 0  
 PRINT (2) 1 20 10 0 0  
 PRINT (-1) 66  
 PRINT (0) 39 00 00 00 37 00 00 00 30 00 00 00 36 00 00 00 00  
 32 00 00 00 33 00 00 00 34 00 00 00 35 00 00 00 00  
 31 00 00 00 38 00 00 00  
 19 01 00 00 19 02 00 00 19 03 00 00 19 04 00 00 19 05 00 00  
 16 01 00 00 16 02 00 00 16 03 00 00 16 04 00 00 16 05 00 00  
 02 01 01 00 02 02 01 00 02 03 01 00 02 04 01 00 02 05 01 00  
 02 01 16 00 02 02 16 00 02 03 16 00 02 04 16 00 02 05 16 00  
 PLOT (0) 1  
 ENDDATA

## 付録2. 出力結果サンプル

・ケース 2.1 の例

EUREKA-FBR

CASE 2.1

PAGE 1

```

CASE 2.1
INITIAL 2600.0 1.358E4 360.0 0.0
REACTIVI 10.0 1.1067E-3
TGEDM 14 16 4 0
TREGION [1] 3 3 3 1 1 1 1 1 1 1 1 1 1 1 1 3 3 3
TREGION [2] 3 3 3 1 1 1 1 1 1 1 1 1 1 1 1 3 3 3
TREGION [3] 3 3 3 2 2 2 2 2 2 2 2 2 2 2 2 3 3 3
TREGION [4] 4 4 4 5 5 5 E 5 5 5 5 5 4 4 4
CGEDM [1] 0.573 0.366 0.375 0.04
CGEDM [2] 0.573 0.366 0.375 0.04
CGEDM [3] 0.573 0.366 0.375 0.04
CGEDM [4] 0.8377 0.6175 0.6300 0.04
CGEDM [5] 0.8377 0.6175 0.6300 0.04
CREGION 0 1 1 1 1 1 1 1 1 1 1 1 1 1 1 6 7
FEEDBACK [1] 8.09E-3 0.0243E-6 -0.958E-6 -3.248E-6 -0.3751E-6
FEEDBACK [2] 3.41E-3 1.4400E-6 -0.495E-6 -1.561E-6 -0.2100E-6
FEEDBACK [3] 8.54E-4 -0.0233E-6 .025E-6 .094E-6 .0050E-6
FEEDBACK [4] 3.13E-4 0.0025E-6 .048E-6 .175E-6 .0170E-6
FEEDBACK [5] 4.26E-4 0.0110E-6 .057E-6 .143E-6 .0180E-6
FUELTYPE [1] 0.14 1.98 0.92 271
FUELTYPE [2] 0.18 1.98 0.92 271
FUELTYPE [3] 0.0 2.00 0.945 271
FUELTYPE [4] 0.0 2.00 0.945 127
FUELTYPE [5] 0.0 2.00 0.945 127
DENSITY [1] 0.48 10.96 -2.5 2.0
DENSITY [2] 0.48 10.96 -2.5 2.0
DENSITY [3] 0.0 10.96 0.0 0.0
DENSITY [4] 0.0 10.96 0.0 0.0
DENSITY [5] 0.0 10.96 0.0 0.0
CAPACITY [1] 12.54 0.017 -1.17E-5 3.07E-9 1.0
CAPACITY [2] 12.54 0.017 -1.17E-5 3.07E-9 1.0
CAPACITY [3] 16.31 9.35E-3 -7.947E-6 3.063E-9 0.0
CAPACITY [4] 16.31 9.35E-3 -7.947E-6 3.063E-9 0.0
CAPACITY [5] 16.31 9.35E-3 -7.947E-6 3.063E-9 0.0
CONDUCT [1] 2.79274E-3 0.2389 0.06717 0.02226 0.0 1.7234E-13 0.0
CONDUCT [2] 2.79274E-3 0.2389 0.06717 0.02226 0.0 1.7234E-13 0.0
CONDUCT [3] 0.0 9.1355 1.0 0.0 129.4 1.4644E-13 1.0
CONDUCT [4] 0.0 9.1355 1.0 0.0 129.4 1.4644E-13 1.0
CONDUCT [5] 0.0 9.1355 1.0 0.0 129.4 1.4644E-13 1.0
KINETICS [0] 0.3967E-6
KINETICS [1] 7.394E-5 8.0113E-4 8.5322E-4 1.343E-3 6.377E-4 1.794E-4
KINETICS [2] 1.297E-2 3.119E-2 1.339E-1 3.480E-1 1.420 3.824
FLOW 0.0 1.358E4 100.0 1.358E4
FLOWRATI 0.0175 0.4935 0.4566 0.0324
CONVERGE 1.0E-2 1.0E-2
CHCORRES [ 1,16] 0 0 0 0 0 0 0 0 0 0 0 0 0 0 0 0 0 0
CHCORRES [ 2,14] 0 0 4 4 4 4 4 4 4 4 4 4 4 4 4 0 0
CHCORRES [ 3,12] 0 0 4 4 3 3 3 3 3 3 3 3 3 3 3 4 4 0 0
CHCORRES [ 4,11] 0 4 4 3 3 3 3 3 3 3 3 3 3 3 3 4 4 0
CHCORRES [ 5,10] 0 4 3 3 3 3 3 3 3 3 3 3 3 3 3 3 4 0
CHCORRES [ 6, 9] 0 4 3 3 3 3 3 3 3 2 2 2 2 2 0 3 3 3 3 4 0
CHCORRES [ 7, 8] 0 4 3 3 3 3 3 3 2 2 2 2 2 2 2 3 3 3 3 4 0
CHCORRES [ 8, 7] 0 4 3 3 3 3 0 2 2 2 2 2 2 2 2 0 3 3 3 3 4 0
CHCORRES [ 9, 6] 0 4 3 3 3 3 2 2 2 2 2 2 2 2 2 2 3 3 3 3 4 0
CHCORRES [10, 5] 0 4 3 3 3 3 2 2 2 2 2 2 2 2 2 0 2 2 2 3 3 3 4 0
CHCORRES [11, 4] 0 4 3 3 3 2 2 2 2 2 2 2 2 2 2 2 0 2 2 3 3 3 4 0
CHCORRES [12, 3] 0 4 3 3 3 0 2 2 2 2 2 2 2 2 2 2 2 0 2 2 3 3 3 4 0
CHCORRES [13, 2] 0 4 3 3 3 2 2 2 2 2 2 2 2 2 2 1 1 2 2 2 2 2 3 3 3 4 0
CHCORRES [14, 1] 0 4 3 3 3 2 2 2 2 2 2 2 2 2 1 1 2 2 2 0 2 2 3 3 3 4 0
CHCORRES [15, 2] 0 4 3 3 3 2 2 2 2 2 2 2 2 1 1 2 2 2 2 2 2 3 3 3 4 0
CHCORRES [16, 1] 0 4 3 3 3 0 2 2 2 2 2 2 2 2 2 2 2 2 0 2 3 3 3 3 4 0
CHCORRES [17, 1] 0 4 3 3 3 2 2 0 2 2 2 2 2 2 2 2 2 0 2 2 3 3 3 4 0
CHCORRES [18, 1] 0 4 3 3 3 2 2 2 0 2 2 2 2 2 2 2 0 2 2 2 2 3 3 3 4 0
CHCORRES [19, 1] 0 4 3 3 3 2 2 2 2 2 2 2 2 2 2 2 0 2 2 2 2 3 3 3 4 0
CHCORRES [20, 1] 0 4 3 3 3 0 2 2 2 2 2 2 2 0 2 2 2 2 0 3 3 3 3 4 0
CHCORRES [21, 1] 0 4 3 3 3 3 2 2 2 2 2 2 2 2 2 2 3 3 3 3 3 4 0
CHCORRES [22, 1] 0 4 3 3 3 3 3 0 2 2 2 2 0 3 3 3 3 3 3 4 0
CHCORRES [23, 1] 0 4 3 3 3 3 3 3 3 3 3 3 3 3 3 3 3 3 4 0
CHCORRES [24, 1] 0 4 4 3 3 3 3 3 3 3 3 3 3 3 3 3 3 4 0
CHCORRES [25, 1] 0 0 4 4 3 3 3 3 3 3 3 3 3 3 3 4 0
CHCORRES [26, 2] 0 0 4 4 4 4 4 4 4 4 4 4 4 4 0 0
CHCORRES [27, 3] 0 0 0 0 0 0 0 0 0 0 0 0 0 0 0 0 0 0
AXCORRES [1] 0 0 0 0 0 0 1 1 2 2 3 3 4 4 5 5 6 6 7 7 V
8 8 9 9 10 10 11 11 12 12 13 13 14 14 0
15 15 15 15 15 0 0 0 0 0 0 0 0 0 0 0 0 0
TIME [1] 6.0 0.005 0.01
TIME [2] 10.0 0.005 0.01
TIME [0] 2.0 4.0 6.0 8.0 10.0
TIME [-1] 0.0 5.0 15.0
SCRAMREA 0.0 0.0 0.1 0.0885E-2 0.2 0.351E-2 0.3 0.783E-2 V
0.4 1.321E-2 0.5 1.927E-2 0.6474 2.793E-2
1.2948 3.187E-2 100.0 3.187E-2
SCRAMSIG 0.4 1.160 0.0 0.0 0.0 0.0 0.0 0.0
PRINT [1] 1 20 10 0 0
PRINT [2] 1 20 10 0 0
PRINT [-1] 66
PRINT [0] 39 00 00 00 37 00 00 00 39 00 00 00 35 00 00 00 V
32 00 00 00 33 00 00 00 34 00 00 00 35 00 00 00 V
31 00 00 00 38 00 00 00 33 00 00 00 34 00 00 00 V
19 01 00 00 19 02 00 00 19 03 00 00 19 04 00 00 V
16 01 00 00 16 02 00 00 16 03 00 00 16 04 00 00 V
02 01 01 00 02 02 01 00 02 03 01 00 02 04 01 00 V
02 01 16 00 02 02 16 00 02 03 16 00 02 04 16 00
PLOT (o) 1 U
ENDATA

```

## INPUT DATA EDIT (WRIMP)

## ---- GENERAL INFORMATION ----

FUEL RADIAL NODES NO. OF REG. IN FUEL	*	14 4	AXIAL NODES	*	16
REACTOR POWER COOLANT FLOW RATE	*	0.25000E+04 [MW] 0.13580E+06 [MH=3/HR]	COOLANT INLET TEMP.	*	0.36000E+03 [DEG. C]
PROMPT NEUT. TIME NO. DLYD. NEUT. GROUP	*	0.39570E-06 [SEC] 0.60000E+01	EFF. DLYD. NEUT. FRACT. FDBK. COMP. TEST VALUE	*	0.38885E-02 0.10000E-01

## \*\*\* CITATION POWER DATA INPUT \*\*\*

## MESH NUMBER &amp; SIZE

X-DIRECTION	27	18.0900	18.0900	18.0900	18.0900	18.0900	18.0900	18.0900	18.0900	18.0900
		18.0900	18.0899	18.0903	18.0897	18.0903	18.0897	18.0900	18.0901	
		18.0900	18.0897	18.0905	18.0892	18.0910	18.0892	18.0905	18.0897	
		18.0905	18.0892	18.0910						
Y-DIRECTION	27	18.0900	18.0900	18.0900	18.0900	18.0900	18.0900	18.0900	18.0900	18.0900
		18.0900	18.0900	18.0900	18.0900	18.0900	18.0900	18.0900	18.0900	18.0900
		18.0905	18.0892	18.0903	18.0892	18.0905	18.0897	18.0905	18.0892	
		18.0909	18.0897	18.0914						
Z-DIRECTION	44	4.8752	4.8752	4.8752	4.8752	4.8752	4.8752	4.8752	4.8752	4.8752
		5.0222	5.0222	5.0222	5.0222	5.0616	5.0616	5.0616	5.0616	5.0616
		5.0616	5.0615	5.0616	5.0615	5.0614	5.0614	5.0614	5.0614	5.0614
		5.0617	5.0614	5.0617	5.0613	5.0617	5.0614	5.0617	5.0614	5.0614
		5.0656	5.0653	5.0656	5.0153	5.0156	5.0153	4.8822	4.8822	4.8819
		4.8822	4.8818	4.8822	4.8818					

## NUMBER OF ASSEMBLIES PER CHANNEL

\*\* CHANNEL NO. 1 HAS 6 ASSEMBLIES.  
 \*\* CHANNEL NO. 2 HAS 168 ASSEMBLIES.  
 \*\* CHANNEL NO. 3 HAS 180 ASSEMBLIES.  
 \*\* CHANNEL NO. 4 HAS 72 ASSEMBLIES.

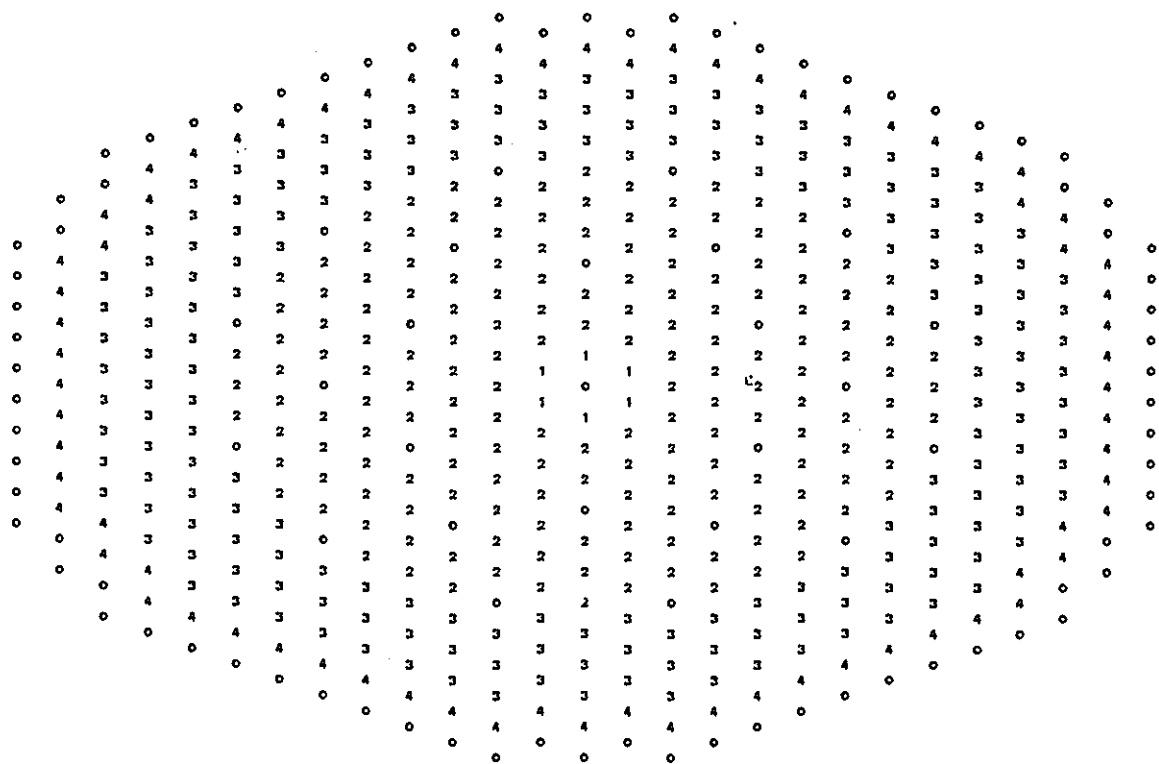
TOTAL 426 ASSEMBLIES.

## CHANNEL VOLUME FOR KINETICS CALC.

## CHANNEL NO.

NODE	1	2	3	4
1	1.70795E+04	4.78232E+05	5.12392E+05	2.04954E+05
2	1.70797E+04	4.78230E+05	5.12390E+05	2.04953E+05
3	1.70795E+04	4.78232E+05	5.12392E+05	2.04954E+05
4	1.72135E+04	4.81976E+05	5.16404E+05	2.06559E+05
5	1.72135E+04	4.81978E+05	5.16405E+05	2.06559E+05
6	1.72135E+04	4.81976E+05	5.16404E+05	2.06559E+05
7	1.72135E+04	4.81976E+05	5.16404E+05	2.06559E+05
8	1.72135E+04	4.81976E+05	5.16404E+05	2.06559E+05
9	1.72135E+04	4.81976E+05	5.16404E+05	2.06558E+05
10	1.72135E+04	4.81978E+05	5.16404E+05	2.06558E+05
11	1.72135E+04	4.81976E+05	5.16404E+05	2.06558E+05
12	1.72135E+04	4.81978E+05	5.16405E+05	2.06559E+05
13	1.72135E+04	4.81976E+05	5.16404E+05	2.06558E+05
14	1.70557E+04	4.77587E+05	5.11701E+05	2.04677E+05
15	1.70557E+04	4.77587E+05	5.11701E+05	2.04677E+05
16	1.70557E+04	4.77587E+05	5.11701E+05	2.04677E+05

## CHANNEL MAP



## CITATION POWER DATA INPUT

TIME STEP NO. 1  
POWER DISTRIBUTION

```

    0.0   0.0   0.0   0.0
    0.0   0.0   0.067  0.077  0.067  0.0
    0.0   0.0   0.054  0.129  0.129  0.094  0.0
    0.0   0.0   0.107  0.704  0.780  0.704  0.107  0.0
    0.0   0.0   0.114  0.821  1.001  1.001  0.821  0.114  0.0
    0.0   0.0   0.116  0.881  1.129  1.226  1.129  0.881  0.116  0.0
    0.0   0.0   0.114  0.912  1.190  1.325  1.326  1.190  0.912  0.114  0.0
    0.0   0.0   0.107  0.912  1.245  1.282  1.424  1.282  1.246  0.912  0.107  0.0
    0.0   0.067  0.821  1.245  1.302  1.353  1.353  1.303  1.276  0.821  0.094  0.0
    0.0   0.067  0.821  1.245  1.413  0.0   1.210  0.0   1.413  1.246  0.821  0.067
    0.0   0.0   0.703  1.189  1.412  1.131  1.142  1.142  1.131  1.413  1.190  0.704  0.0
    0.0   0.128  1.128  1.302  1.206  1.128  1.219  1.128  1.207  1.302  1.129  0.128  0.0
    0.0   0.077  1.000  1.280  1.131  1.188  1.220  1.188  1.131  1.281  1.001  0.077
    0.0   0.0   0.778  1.324  0.0   1.188  1.217  1.253  1.217  1.188  0.0   1.325  0.778  0.0
    0.0   0.0   0.123  1.224  1.352  1.127  0.0   1.263  1.263  0.0   1.128  1.353  1.225  0.123  0.0
    0.0   0.067  0.999  1.422  1.141  1.216  1.267  0.0   1.268  1.217  1.422  1.423  1.000  0.067
    0.0   0.701  1.323  1.208  1.219  1.267  1.310  1.310  1.268  1.220  1.210  1.324  0.702  0.0
    0.0   0.093  1.126  1.351  1.217  1.262  1.330  1.335  1.330  1.263  1.218  1.352  1.127  0.093
    0.0   0.817  1.278  1.140  1.252  1.310  1.361  1.361  1.310  1.253  1.141  1.280  0.818  0.0
    0.0   0.106  1.185  0.0   1.219  0.0   1.361  1.357  1.361  0.0   1.220  0.0   1.187  0.106
    0.0   0.875  1.299  1.126  1.262  1.334  1.347  1.347  1.335  1.263  1.128  1.301  0.878  0.0
    0.0   0.112  1.242  1.129  1.216  1.310  1.356  1.357  1.310  1.217  1.130  1.243  0.113
    0.0   0.908  1.409  1.187  1.267  1.361  1.252  1.252  1.362  1.268  1.188  1.411  0.909  0.0
    0.0   0.114  1.272  1.204  0.0   1.330  1.347  0.0   1.347  1.331  0.0   1.205  1.274  0.115
    0.0   0.903  1.410  1.187  1.267  1.361  1.252  1.252  1.362  1.268  1.188  1.411  0.909  0.0
    0.0   0.112  1.242  1.129  1.216  1.310  1.357  1.357  1.311  1.217  1.131  1.243  0.113
    0.0   0.877  1.300  1.127  1.263  1.335  1.347  1.348  1.336  1.264  1.128  1.301  0.878  0.0
    0.0   0.106  1.185  0.0   1.219  0.0   1.362  1.357  1.362  0.0   1.221  0.0   1.188  0.106
    0.0   0.818  1.279  1.141  1.253  1.311  1.362  1.362  1.311  1.264  1.142  1.281  0.818  0.0
    0.0   0.093  1.127  1.362  1.218  1.264  1.331  1.336  1.332  1.264  1.219  1.353  1.128  0.093
    0.0   0.702  1.324  1.209  1.220  1.268  1.311  1.312  1.269  1.221  1.211  1.325  0.702  0.0
    0.0   0.067  1.000  1.423  1.142  1.218  1.269  0.0   1.269  1.218  1.143  1.425  1.001  0.067
    0.0   0.0   0.128  1.225  1.353  1.129  0.0   1.265  1.265  0.0   1.129  1.354  1.226  0.128  0.0
    0.0   0.779  1.325  0.0   1.190  1.218  1.255  1.219  1.190  0.0   1.327  0.780  0.0
    0.0   0.077  1.001  1.282  1.132  1.190  1.222  1.222  1.190  1.133  1.243  1.002  0.077
    0.0   0.0   0.129  1.129  1.303  1.208  1.130  1.221  1.130  1.209  1.305  1.130  0.129  0.0
    0.0   0.0   0.704  1.190  1.416  1.133  1.144  1.144  1.133  1.416  1.191  0.705  0.0
    0.0   0.067  0.822  1.247  1.416  0.0   1.212  0.0   1.416  1.248  0.822  0.068
    0.0   0.0   0.094  0.881  1.278  1.305  1.356  1.356  1.305  1.279  0.882  0.094  0.0
    0.0   0.0   0.107  0.913  1.248  1.284  1.427  1.427  1.284  1.248  0.914  0.108  0.0
    0.0   0.0   0.114  0.913  1.192  1.328  1.328  1.328  1.192  0.914  0.114  0.0
    0.0   0.0   0.116  0.882  1.131  1.228  1.132  0.883  0.116  0.0
    0.0   0.0   0.114  0.823  1.003  1.003  0.823  0.114  0.0
    0.0   0.0   0.108  0.705  0.781  0.705  0.705  0.108  0.0
    0.0   0.0   0.094  0.129  0.129  0.094  0.094  0.0
    0.0   0.0   0.068  0.077  0.068  0.068  0.0
    0.0   0.0   0.0   0.0   0.0
    0.0   0.0   0.0   0.0
  
```

## POWER DISTRIBUTION FOR THERMAL CALC.

## CHANNEL NO.

NODE	1	2	3	4
1	7.36327E-04	6.89898E-04	5.44676E-04	3.47030E-04
2	1.23048E-03	1.18553E-03	9.39750E-04	5.53406E-04
3	2.22256E-03	2.20113E-03	1.77405E-03	9.11576E-04
4	1.84561E-02	1.87215E-02	1.70999E-02	1.40714E-03
5	2.51657E-02	2.57867E-02	2.35692E-02	1.92097E-03
6	3.11248E-02	3.19455E-02	2.92340E-02	2.36093E-03
7	3.57219E-02	3.64939E-02	3.31600E-02	2.68767E-03
8	3.92236E-02	3.95460E-02	3.60203E-02	2.88218E-03
9	4.12154E-02	4.65983E-02	3.71822E-02	2.92880E-03
10	4.07953E-02	3.96155E-02	3.62707E-02	2.81743E-03
11	3.78059E-02	3.63661E-02	3.38341E-02	2.54620E-03
12	3.21110E-02	3.07326E-02	2.81554E-02	2.12349E-03
13	2.47062E-02	2.36639E-02	2.11999E-02	1.58814E-03
14	3.05914E-03	2.92025E-03	2.25882E-03	1.04804E-03
15	1.81275E-03	1.72342E-03	1.25169E-03	6.48617E-04
16	1.17167E-03	1.11370E-03	7.65324E-04	4.15828E-04

## CHANNEL VOLUME RATIO OF EACH FUEL TYPE

## CHANNEL NO.

NODE	1	2	3	4
1	2.82678E-03	7.91495E-02	8.48031E-02	1.58779E-01
2	2.82677E-03	7.91492E-02	8.48029E-02	1.58779E-01
3	2.82678E-03	7.91495E-02	8.48031E-02	1.58779E-01
4	3.44829E-03	9.65518E-02	1.00000E-01	1.00000E-01
5	3.44830E-03	9.65521E-02	1.00000E-01	1.00000E-01
6	3.44829E-03	9.65518E-02	1.00000E-01	1.00000E-01
7	3.44829E-03	9.65518E-02	1.00000E-01	1.00000E-01
8	3.44829E-03	9.65518E-02	1.00000E-01	1.00000E-01
9	3.44829E-03	9.65518E-02	1.00000E-01	1.00000E-01
10	3.44829E-03	9.65518E-02	1.00000E-01	1.00000E-01
11	3.44829E-03	9.65518E-02	1.00000E-01	1.00000E-01
12	3.44830E-03	9.65521E-02	1.00000E-01	1.00000E-01
13	3.44829E-03	9.65518E-02	1.00000E-01	1.00000E-01
14	2.82296E-03	7.90427E-02	8.45887E-02	1.58554E-01
15	2.82296E-03	7.90427E-02	8.45887E-02	1.58554E-01
16	2.82296E-03	7.90427E-02	8.45887E-02	1.58554E-01

PAGE 5

## TRANSIENT OUTPUT

## TIME STEP NUMBER 0

ELAPSED REACTOR TIME	(SEC)	0.0	REACTOR POWER	(MW)	2.6000E+03
TIME INCREMENT	(SEC)	0.0100	EXCURSION POWER	(MW*SEC)	0.0
DOPPLER REACTIVITY	(DOLLARS)	0.0	COOLANT TEMP. REAC.	(DOLLARS)	0.0
CLAD EXPANSION REAC.	(DOLLARS)	0.0	FUEL TEMP. REACTIVITY	(DOLLARS)	0.0
WRAPPER TUBE REACTIVITY	(DOLLARS)	0.0	FEED BACK REACTIVITY	(DOLLARS)	0.0
TOTAL REACTIVITY	(DOLLARS)	0.0	SCRAM REACTIVITY	(DOLLARS)	0.0
INVERSE PERIOD	(1/SEC)	0.0	AVERAGE FUEL TEMP.	(DEG. C)	758.5515
AVERAGE CLAD TEMP.	(DEG. C)	441.7976	AVERAGE COOLANT TEMP.	(DEG. C)	429.2034

## PRESSURE DROP INFORMATION

CHANNEL NO.	1	2	3	4	
INLET VELOCITY	(M/SEC)	344.236	346.895	299.387	55.970
INLET VELOCITY CHANGE	(M/SEC**2)	0.0	0.0	0.0	0.0
CHAN. AVE. FUEL TEMP.	(DEG. C)	846.829	841.795	805.395	439.801
CHAN. MAX FUEL TEMP.	(DEG. C)	1772.848	1747.360	1629.243	517.260
CHAN. AVE. COOLANT TEMP.	(DEG. C)	433.898	433.293	427.283	399.049













付録. 3 動特性方程式の数値解法  
燃料体内温度分布計算についての  
EUREKAマニュアル<sup>(1)</sup> よりの抜粋

## 2.4.3 動特性方程式

サブルーチン A I R E K A で取りあつかう微分方程式の基本型は

$$\left\{ \begin{array}{l} \frac{dN(t)}{dt} = \frac{\rho(t) - \beta}{\ell} N(t) + \sum_i \lambda_i O_i(t) + S_0 \\ \frac{dO_i(t)}{dt} = \frac{\beta f_i}{\ell} N(t) - \lambda_i O_i(t) \quad (i=1, \dots, 6) \end{array} \right. \quad (24-1)$$

$$\left\{ \begin{array}{l} \frac{dE(t)}{dt} = N(t) \end{array} \right. \quad (24-2)$$

$$\left\{ \begin{array}{l} \frac{dE(t)}{dt} = N(t) \end{array} \right. \quad (24-3)$$

$t$  : 時刻

$N(t)$  : 中性子密度

$O_i(t)$  : 第  $i$  組の遅発中性子先行核密度

$\rho(t)$  : 反応度

$\beta$  : 遅発中性子割合

$f_i$  :  $\beta_i / \beta$

$\beta_i$  : 第  $i$  組の遅発中性子割合

$\ell$  : 中性子寿命

$\lambda_i$  : 第  $i$  組の遅発中性子先行核の崩壊定数

$S_0$  : 中性子源密度

$E(t)$  :  $\int_0^t N(t) dt$

(24-1) および (24-2) 式を次の関係を用いて書きかえる。

$$\left\{ \begin{array}{l} \frac{\rho(t)}{\beta} = r(t) \\ \frac{\ell \lambda_i}{\beta f_i} O_i(t) = W_i(t) \\ \frac{\ell}{\beta} S_0 = S^* \end{array} \right. \quad (24-4)$$

$$\left\{ \begin{array}{l} \frac{dN(t)}{dt} = \frac{\beta}{\ell} [ \{r(t)-1.0\} N(t) + \sum_i f_i W_i(t) + S^* ] \end{array} \right. \quad (24-5)$$

$$\left\{ \begin{array}{l} \frac{dW_i(t)}{dt} = \lambda_i N(t) - \lambda_i W_i(t) \end{array} \right. \quad (24-6)$$

(24-3) および (24-6) 式をまとめて次の形にする。

$$\frac{dF_i(t)}{dt} = A_i N(t) + B_i F_i(t) \quad (24-7)$$

したがつてこのコードでは(24-5)および(24-7)式の連立微分方程式を解けばよいことになる。

#### 2.4.4 数値計算法

係数が独立変数の函数となつている次の微分方程式を解くことを考える。

$$\frac{dV(t)}{dt} + p(t)V(t) = q(t) \quad (24-8)$$

形式的に(24-8)式の解を求める

$$V(t_1+u) = e^{-\int_{t_1}^{t_1+u} p(t') dt'} \left[ \int_{t_1}^{t_1+u} e^{\int_{t_1}^{t'} p(t'') dt''} q(s) ds + V(t_1) \right].$$

$$= V(t_1) e^{-\int_{t_1}^{t_1+u} p(t') dt'} + \int_{t_1}^{t_1+u} e^{\int_{t_1}^{t'+u} p(t'') dt''} q(s) ds$$

$s = t_1 + \xi$  とおき上式を変形すると

$$V(t_1+u) = V(t_1) e^{Q(0)} + \int_0^u e^{Q(\xi)} q(t_1+\xi) d\xi \quad (24-9)$$

ここで

$$Q(\xi) = e^{-\int_{t_1+\xi}^{t_1+u} p(t') dt'}$$

したがつて(24-9)式の右辺を計算することにより(24-8)式の解を求めることが、この場合  $p(t)$  が定数でない場合には、 $Q(\xi)$  およびこれを含んだ積分の逆行に困難がある。そこで(24-8)式を次式の形に変える。

$$\frac{dV(t)}{dt} = \alpha \cdot V(t) + R(V, t) \quad (24-10)$$

ここで  $\alpha$  は  $p(t)$  の定数部分である。

(24-10)式の解は形式的に

$$\begin{aligned} V(t_1+u) &= V(t_1) e^{au} + \int_0^u R(V, t_1+\xi) e^{a(u-\xi)} d\xi \\ &= V(t_1) + \int_0^u [\alpha \cdot V(t_1) + R(V, t_1+\xi)] e^{a(u-\xi)} d\xi \end{aligned}$$

$\xi = u\eta$  とおき上式を変形すると

$$V(t_1+u) = V(t_1) + u \int_0^1 [\alpha \cdot V(t_1) + R(V, t_1+u\eta)] e^{a(u(1-\eta))} d\eta \quad (24-11)$$

したがつて(24-11)式の右辺を計算することにより(24-8)式の解を求めることが

できる。

次に(24-11)式の右辺の数値計算の手順を述べる。

$$\textcircled{1} \quad u = \frac{1}{2} h$$

$$V^{(0)} = V(t_1)$$

$$R^{(0)} = R(V^{(0)}, t_1)$$

とおき  $R$  は区間  $(t_1, t_1 + \frac{1}{2}h)$  では  $R^{(0)}$  に等しくとり、 $V(t_1 + \frac{1}{2}h)$  の第1近似値  $V^{(1)}$  を求め  
る。

$$R(V, t_1 + u\eta) = R^{(0)}$$

$$\begin{aligned} V^{(1)} &= V^{(0)} + \frac{1}{2}h \int_0^1 (\alpha \cdot V^{(0)} + R^{(0)}) e^{\frac{1}{2}\alpha h(1-\eta)} d\eta \\ &= V^{(0)} + \delta_1 \end{aligned}$$

ここで

$$\delta_1 = \frac{1}{2} h C_1 \left( \frac{1}{2} \alpha h \right) (\alpha \cdot V^{(0)} + R^{(0)})$$

$$C_1(x) = \int_0^1 e^{x(1-\eta)} d\eta$$

$$\textcircled{2} \quad R^{(1)} = R(V^{(1)}, t_1 + \frac{1}{2}h)$$

$$u = \frac{1}{2} h$$

とおき、 $R$  は区間  $(t_1, t_1 + \frac{1}{2}h)$  で2点  $(t_1, R^{(0)})$ ,  $(t_1 + \frac{1}{2}h, R^{(1)})$  を通る直線にそつて  
変化するとし  $V(t_1 + \frac{1}{2}h)$  の第2近似値  $V^{(2)}$  を求める。

$$R(V, t_1 + u\eta) = R^{(0)} + (R^{(1)} - R^{(0)})\eta$$

$$\begin{aligned} V^{(2)} &= V^{(0)} + \frac{1}{2}h \int_0^1 (\alpha \cdot V^{(0)} + R^{(0)} + (R^{(1)} - R^{(0)})\eta) e^{\frac{1}{2}\alpha h(1-\eta)} d\eta \\ &= V^{(0)} + \delta_1 + \delta_2 \\ &= V^{(1)} + \delta_2 \end{aligned}$$

ここで

$$\delta_2 = \frac{1}{2} h C_2 \left( \frac{1}{2} \alpha h \right) (R^{(1)} - R^{(0)})$$

$$C_2(x) = \int_0^1 \eta e^{x(1-\eta)} d\eta$$

$$\textcircled{3} \quad R^{(2)} = R(V^{(2)}, t_1 + \frac{1}{2}h)$$

$$u = h$$

とおき、Rは区間 $(t_1, t_1+h)$ で2点 $(t_1, R^{(0)})$ ,  $(t_1 + \frac{1}{2}h, R^{(2)})$ を通る直線にそつて変化するとし、 $V(t_1+h)$ の第1近似値 $V^{(3)}$ を求める。

$$\begin{aligned} R(V, t_1 + u\eta) &= R^{(0)} + 2(R^{(2)} - R^{(0)})\eta \\ V^{(3)} &= V^{(0)} + h \int_0^1 (\alpha V^{(0)} + R^{(0)} + 2(R^{(2)} - R^{(0)})\eta) e^{\alpha h(1-\eta)} d\eta \\ &= V^{(0)} + \delta_3 \end{aligned}$$

ここで

$$\delta_3 = h C_1(\alpha h) (\alpha V^{(0)} + R^{(0)}) + 2h C_2(\alpha h) (R^{(2)} - R^{(0)})$$

$$\textcircled{4} \quad R^{(3)} = R(V^{(3)}, t_1 + h)$$

$$u = h$$

とおき、Rは区間 $(t_1, t_1+h)$ で3点 $(t_1, R^{(0)})$ ,  $(t_1 + \frac{1}{2}h, R^{(2)})$ ,  $(t_1 + h, R^{(3)})$ を通る2次曲線にそつて変化するとし、 $V(t_1+h)$ の第2近似値 $V^{(4)}$ を求める。

$$\begin{aligned} R(V, t_1 + u\eta) &= R^{(0)} + 2(R^{(2)} - R^{(0)})\eta + (R^{(0)} - 2R^{(2)} + R^{(3)}) (2\eta^2 - \eta) \\ V^{(4)} &= V^{(0)} + h \int_0^1 (\alpha V^{(0)} + R^{(0)} + 2(R^{(2)} - R^{(0)})\eta + (R^{(0)} - 2R^{(2)} + R^{(3)}) \\ &\quad (2\eta^2 - \eta)) e^{\alpha h(1-\eta)} d\eta \\ &= V^{(0)} + \delta_3 + \delta_4 \\ &= V^{(3)} + \delta_4 \end{aligned}$$

ここで

$$\delta_4 = h [2C_3(\alpha h) - C_2(\alpha h)] (R^{(0)} - 2R^{(2)} + R^{(3)})$$

$$C_3(x) = \int_0^1 \eta^2 e^{x(1-\eta)} d\eta$$

以上①②③④の手順をたどることにより、(24-10)式の解を求めることができます。

次に前述の2.4.3に示した動特性方程式(24-5)および(24-6)式と数値計算の基本型(24-10)式との対応について述べる。

(24-5)式を変形すると

$$\begin{aligned} \frac{dN(t)}{dt} &= \frac{\beta}{\ell} [r(t_1) - 1.0] N(t) + \frac{\beta}{\ell} [(r(t) - r(t_1)) N(t) + \sum f_i W_i(t) + S^*] \\ &= \alpha \cdot N(t) + R \end{aligned} \quad (24-12)$$

ここに

$$\alpha = \frac{\beta}{\ell} (r(t_1) - 1.0)$$

$$R = \frac{\beta}{\ell} (\{r(t) - r(t_1)\} N(t) + \sum_i f_i W_i(t) + S^*)$$

(24-5)式を(24-12)式の様に変形すると $N(t)$ の係数 $\alpha$ は定数となり、数値計算が可能となる。(24-6)式はもともとフィードバック係数が定数なので数値計算は可能である。

## 2.2.2 燃料体内温度分布計算

定常状態における燃料体内温度分布計算は次のように行なう。

$$Z_{jk} \int_0^{r_1} 2\pi r \cdot q(r) \cdot dr = -(2\pi r_1 Z_{jk}) \cdot K_1(T) \cdot \frac{dT}{dr} \quad (22-5)$$

また、

$$Z_{jk} \int_0^{r_c} 2\pi r \cdot q(r) \cdot dr = \frac{P_{jk} \cdot (\pi r_c^2 Z_{jk})}{\Delta V_{jk}} \times \left( \frac{r_{cell}^2}{r_c^2} \right) = Q_{jk} \quad (22-6)$$

$Z$  ; 領域 J, K における燃料長さ

$r$  ; 燃料体内の任意半径

$r_{cell}$  ; 燃料棒ユニットセル半径

$r_o$  ; 燃料棒クラッド外径

$q(r)$  ; 半径  $r$  の点における単位体積当りの発熱量

$K$  ; 熱伝導度

$T$  ; 温度

$Q$  ; J, K 領域における燃料棒 1 本当りの発熱量

$$\text{いま, } q(r) = \bar{q} \cdot \eta(r) \quad (22-7)$$

$\bar{q}$  ; 燃料体内平均発熱量

$\eta(r)$  ; 半径  $r$  の点における発熱比率

として (22-5) 式を解くと

$$\begin{aligned} 2\pi q \int_0^{r_1} r \cdot \eta(r) dr &= 2\pi q \left[ \int_0^{r_c} r \cdot \eta(r) dr - \int_{r_1}^{r_c} r \cdot \eta(r) dr \right] \\ &= \frac{Q}{Z} - 2\pi q \int_{r_1}^{r_c} r \cdot \eta(r) dr \\ &= -(2\pi r_1) \cdot K_1(T) \cdot \frac{dT}{dr} \end{aligned} \quad (22-8)$$

$$\frac{dT}{dr} = \frac{1}{2\pi r_1 K_1(T)} \left[ 2\pi q \int_{r_1}^{r_c} \eta(r) dr - \frac{Q}{Z} \right] \quad (22-9)$$

(22-9) 式を階差式にすれば、

$$T_{i+1} = T_i + \left\{ \frac{(r_i - r_{i-1})}{2\pi r_i k_1(T)} \cdot \frac{Q}{Z} - \frac{q \sum_{\ell=1}^{\ell_{max}} (r_\ell - r_{\ell-1}) r_\ell \eta(r_\ell)}{r_i k_1(T)} \right\} \quad (22-10)$$

したがつて、初期条件として、前節で得られたクラッド表面温度  $T_0$  ( $r = r_0$ において) を与えれば、燃料体温度は順次計算し得る。

なお、ペレットとクラッドの間の、ギャップ熱伝達係数は、ギャップ平均温度とギャップ巾の函数としてコード内で計算し(2.2.5 参照)，ペレット外壁とクラッド内壁の温度を(22-11)式で計算して求めた。

$$T_0 = T_{0+1} + Q' / (2\pi r_0 \cdot Z \cdot H_0) \quad (22-11)$$

ここで

- $T_0$  ; ペレット外壁温度
- $T_{0+1}$  ; クラッド内壁温度
- $r_0$  ; ペレット半径
- $Z$  ; 領域長さ
- $H_0$  ; ギャップ熱伝達率
- $Q'$  ; ペレット内発熱量

## 2.8 非定常状態の燃料体内温度分布計算

### 2.8.1 サブルーチン FFTTEMP の特徴

このサブルーチンは、過渡的状態における燃料体内の温度分布を計算するために、過渡的温度分布計算コード ARGUS<sup>23)</sup> の手法を用いて作成されたものである。

基本式は、一般に使用されている熱伝導方程式を円筒形状一次元熱伝導式に置換したものである。したがつて、熱伝導は、半径方向にのみ考え、軸方向については冷却材の流れによる熱移動のみを考えている。このような仮定のもとに、燃料体内の領域について若干異なった差分式を導入している。すなわち、領域が大きく2つに区分され、それぞれ厚い領域に対する差分式、薄い領域に対する差分式が導入されている。これらの差分式の違いは、厚い領域に対する差分式の場合は半径方向のメッシュ点が3点以上とれるのに対し、薄い領域に対する差分式の場合は3点に限定される。しかし、薄い領域に対する差分式で得られる数値解は、厚い領域に対する差分式で得られるそれに比べて精度が高いという利点がある。また、それぞれについて、領域内に発熱がある場合とない場合とに分けられ若干計算時間の短縮をはかつている。

過渡状態の計算は、まずサブルーチン STEADY で得られた温度分布を初期条件として始められる。この場合、冷却材の軸方向温度分布、ギャップ熱伝達係数、冷却材-クラッド間熱伝達係数等については、このサブルーチンに入る前に計算された値が使用される。

燃料体の材料に関する物性値は、サブルーチン STEADY で用いた方法と同様、温度の函数として、各メッシュ点について求めている。(2.7参照)ただし、使用する温度は時間巾  $\Delta t$  前の温度を用いている。

### 2.8.2 基本式

燃料体において、半径方向の長さに比較して、軸方向の長さが非常に長いものであると仮定した場合、軸方向の熱伝導は無視してさしつかえない。このような仮定を与えると、燃料体内の温度分布は次の熱伝導方程式で取扱うことができる。

$$\rho C_p \frac{\partial T}{\partial r} = \text{div}(K \text{ grad } T) + Q(\bar{R}, r) \quad (28-1)$$

ここでは

$T(\bar{R}, r)$  :  $\bar{R}$  点の温度

$K(T)$  : 热伝導係数

$\rho C_p$  : 体積熱容量

$Q(\bar{R}, r)$  : 発熱密度

熱伝導が半径方向のみに生じ、熱源が角度に依存しないと仮定すると、(28-1)式は次式で与えられる。

$$\rho C_p \frac{\partial T}{\partial r} = \frac{1}{r} \left( \frac{\partial}{\partial r} (K_r \frac{\partial T}{\partial r}) \right) + q_1(r, z, r) \quad (28-2)$$

(28-2)式を近似的に解くと次式が得られる。

$$\rho C_p \frac{\partial T}{\partial r} = K \left( \frac{\partial^2 T}{\partial r^2} + \frac{1}{r} \frac{\partial T}{\partial r} \right) + q_1(r, z, r) \quad (28-3)$$

燃料体内をいくつかの領域に分割した場合、それぞれの領域の境界面で使用される境界条件

は、次の関係式で与えられる。

$$q' = U (T_1 - T_2) \quad (28-4)$$

ここで、

$q'$  ; 単位面積あたりの熱流速

$U$  ; 境界面の熱伝達係数

$T_1, T_2$ ; 境界面の温度

### 2.8.3 厚い領域に対する差分式

すでに述べたように、この型の差分式は、メッシュ点が3点か、それ以上ある場合に適用できる。境界に接するメッシュ点については、L.H.Back<sup>25)</sup>によつて開発された方法が取り入れられている。したがつて、境界に接するメッシュ点と内部メッシュ点とは別々の差分式で取扱われている。

#### (1) 中心領域の最初のメッシュ点に対する差分式

中心領域の最初のメッシュ点に対する差分式は、D.F.Schoeberle や Dusinberre<sup>23)</sup> によつて考えられた手法によつて与えられる。 $(28-3)$ 式をこの手法を用いて変換すると次のようになる。

$$T_1(\tau + \Delta\tau) = \left(1 - \frac{4}{M}\right) T_1(\tau) + \frac{4}{M} T_2(\tau) + \frac{Q(r, z)}{\rho C_p} N(\tau, \Delta\tau) \quad (28-5)$$

ここで、

$N(\tau, \Delta\tau)$  ;  $\tau$  と  $\tau + \Delta\tau$  の間の発热量

$\rho C_p$  ; 材料の体積熱容量

$\Delta\tau$  ; 時間巾

$Q(r, z)$  ; 热発生率の空間分布

$$M = \frac{(\Delta r)^2}{\alpha \Delta \tau}; \text{ 材料の熱拡散率}$$

$K$  ; 材料の熱伝導率  $\Rightarrow CAX$

ここで、一般的差分式が次の形をとるなら、

$$\textcircled{(1)} \quad T_{i,j}(\tau + \Delta\tau) = B_{i,j} T_{i-1,j}(\tau) + C_{i,j} T_{i,j}(\tau) + D_{i,j} T_{i+1,j}(\tau) + G_{i,j} N(\tau, \Delta\tau) \quad (28-6)$$

(6)式の係数は、

$$B_{i,j} = 0$$

$$C_{i,j} = \left(1 - \frac{4}{M}\right)$$

$$D_{i,j} = \frac{4}{M}$$

付録.4 EUREKA-FBRプログラムツリー

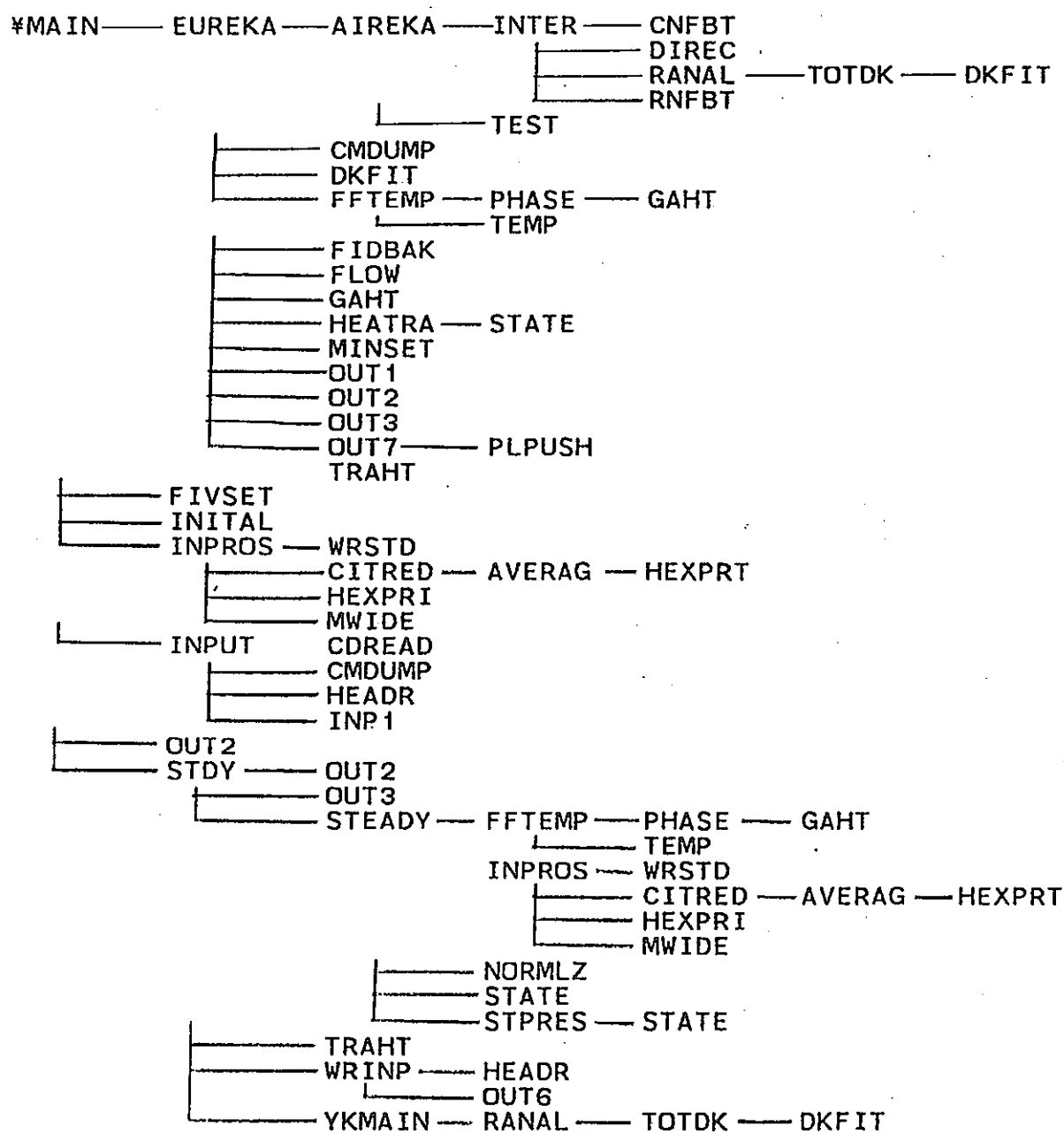


図 EUREKA-FBRプログラムツリー

## 付録.5 EUREKA-FBRコードのサブルーチンの機能説明

MAIN	時間進行制御
EUREKA	過渡時の核計算と熱計算との制御および経過情報出力制御
AIREKA	動特性計算（AIREK）のメインプログラム
INTER	原子炉動特性計算（数値計算）
CNFBT	積分計算（INTERの補助ルーチン）
RNFBT	数値計算（INTERの補助ルーチン）
DIREC	時間間隔不適當時の警告と計算中止
RANAL	時刻を進めて反応度計算
TOTDK	全反応度計算及びスクラム反応度計算
DKFIT	時間外挿によりフィードバック反応度を計算する。
TEST	計算終了判定
CMDUMP	ダミールーチン
FFTEMP	燃料温度分布計算（ペレットの平均値）
TEMP	燃料温度分布計算（ペレット内の分割ごとに計算）
PHASE	物性値( $\rho C_p$ , $\lambda$ )を求める。（燃料、被覆管、エアギャップ）
GAHT	ダミールーチン
FIDBAK	各種フィードバック反応度を計算する。
FLOW	冷却材の流量・流速計算
HEATRA	過渡時の熱水力特性計算
STATE	冷却材の物性値計算
TRAHT	チャンネル平均温度の計算
MINSET	Minor Editプリント情報編集
OUT1	動特性情報プリント
OUT2	Major Edit情報プリント
OUT3	温度分布プリント
OUT6	Minor Edit項目指示パラメータ及びTimeStep情報チェックプリント
OUT7	Minor Edit情報プリント
PLPUSH	時系列プロットデータのファイル出力
FIVSET	物性値等の計算式の係数値セット
INITIAL	COMMON領域のクリア
INPROS	炉出力分布を更新する。
WRSTD	チャンネル情報プリント
CITRED	CITATIONコードで計算した炉出力分布データ読み込み
AVERAG	熱計算領域分割による炉出力分布計算

H E X P R T	炉出力分布情報プリント
H E X P R I	チャンネルマッププリント
M W I D E	CITATIONコードの座標をEUREKA-FBRコードの座標に変換
I N P U T	パラメータ入力と解読
C D R E A D	キーワード付きパラメータ入力
H E A D R	改頁およびタイトル一行プリント
I N P 1	Minor Edit項目指示パラメータ入力
S T D Y	初期値設定と定常計算制御
S T E A D Y	熱水力特性および燃料温度の定常計算
N O R M L Z	セル内メッシュ分割およびメッシュ面積計算
S T P R E S	定常状態における冷却材圧力損失の計算
W R I N P	共通情報プリント
Y K M A I N	動特性初期値設定